

**UNIVERSIDADE FEDERAL DO RIO GRANDE – FURG
INSTITUTO DE OCEANOGRAFIA
PROGRAMA DE PÓS-GRADUAÇÃO EM AQUICULTURA**

**DESCRIÇÃO MORFOLÓGICA DO SANGUE, DA ONTOGENIA DOS
ÓRGÃOS LINFÓIDES E ANÁLISE DA EXPRESSÃO DE GENES
RELACIONADOS AO SISTEMA IMUNE DO LINGUADO *Paralichthys
orbignyanus***

EMELINE PEREIRA GUSMÃO

Rio Grande - Brasil

Maio - 2014

**UNIVERSIDADE FEDERAL DO RIO GRANDE
PROGRAMA DE PÓS-GRADUAÇÃO EM AQUICULTURA
TESE DE DOUTORADO**

**DESCRIÇÃO MORFOLÓGICA DO SANGUE E DA ONTOGENIA DOS
ÓRGÃOS LINFÓIDES E ANÁLISE DA EXPRESSÃO DE GENES
RELACIONADOS AO SISTEMA IMUNE DO LINGUADO *Paralichthys
orbignyanus***

Emeline Pereira Gusmão

Tese apresentada ao Programa de Pós-Graduação em Aquicultura da Universidade Federal do Rio Grande como parte dos requisitos para obtenção do título de Doutora.

Orientador: Prof. Dr. Luis Alberto Romano

Co-orientador: Prof. Dr. Luís André Sampaio

Rio Grande - Brasil

Maio - 2014

ATA

FICHA CATALOGRÁFICA

SUMÁRIO

Dedicatória	vii
Agradecimentos	viii
Resumo geral	ix
General abstract	ix
Introdução geral	1
1. Linguado <i>Paralichthys orbignyanus</i>	1
2. Sistema imune	3
2.1. Sistema imune inato ou inespecífico	5
2.2. Sistema imune adaptativo ou específico	8
2.2.1. Imunidade específica humoral	10
2.2.2. Imunidade específica celular	10
2.3. Órgãos linfóides	14
2.4. Ontogenia do sistema imune	16
3. Sistema circulatório	17
3.1. Sangue	17
3.1.1. Células sanguíneas	17
3.1.2. Hematopoiese	19
Objetivos	20
Objetivo geral	20
Objetivos específicos	20
Referências bibliográficas	21
Capítulo 1. Development of the lymphoid organs of larvae and juvenile of the Brazilian flounder <i>Paralichthys orbignyanus</i> (Teleostei: Paralichthyidae).	25
Abstract	26
Materials and Methods	28
Results	28
Discussion	29
Acknowledgements	32
References	32

Capítulo 2. Expression of immune-related genes during the early stages of Brazilian flounder (<i>Paralichthys orbignyanus</i>) development.	38
Abstract	39
1. Introduction	40
2. Materials and methods	43
2.1. Larval rearing	43
2.2. Gene expression analysis	43
2.2.1. Synthesis of the complementary DNA (cDNA)	43
2.2.2. Isolation of immune-related genes	44
2.2.3. Gene expressions	45
2.2.4. Statistical analysis	45
3. Results	45
4. Discussion	46
References	50
Capítulo 3. Morphological characterization of blood cells in adults of the Brazilian flounder <i>Paralichthys orbignyanus</i> (Teleostei: Paralichthyidae).	59
Abstract	60
1. Introduction	60
2. Materials and Methods	61
3. Results	62
3.1. Erythrocytic series	62
3.2. Leucocytes	63
3.2.1. Granulocytic series	63
3.2.2. Agranulocytic series	63
3.3. Thrombocytic series	63
4. Discussion	64
Acknowledgements	68
Literature Cited	68
Discussão geral	73
Conclusão geral	79
Referências	80

Aos meus pais, Luiz e Mara.

AGRADECIMENTOS

Ao meu orientador, Prof. Dr. Luis Romano, com quem tive oportunidade de aprender muito, tanto como profissional quanto como pessoa, e que me fez conhecer os incríveis desafios da patologia com grande entusiasmo.

Ao meu co-orientador, Prof. Dr. Luís André Sampaio, sem o qual eu não estaria concludendo esta etapa, e a quem serei eternamente grata pela grande ajuda, orientação, paciência e perseverança dedicadas a mim durante todos esses anos de FURG, especialmente nos últimos anos e neste doutorado. Obrigada por tudo!

Ao Prof. Dr. Luis Fernandes Marins, o Luf, a quem eu tenho profunda admiração, e me fez novamente descobrir a paixão pelos desafios na ciência através da biologia molecular. Obrigada por toda a paciência, boa vontade e disposição em me ajudar durante este doutorado!

A todos os membros da banca, incluindo o Prof. Danilo Streit e o Dr. Ricardo Rodrigues, pelas críticas e sugestões que vierem a apresentar e por dedicarem seu tempo para contribuir com seus conhecimentos para esta tese.

Agradeço aos meus pais Luiz e Mara, que sempre foram meu apoio mesmo diante de todas as dificuldades. Obrigada pelo exemplo de vida e amor incondicional!

Ao Jacques, que foi grandemente responsável pela minha motivação para terminar este doutorado, e que com seu amor e carinho tornaram essa etapa final muito mais agradável, alegre e possível.

Aos colegas do LIPOA, do LAPEM e do Laboratório de BIOMOL que ajudaram de alguma forma a realizar este trabalho. Sem a incansável ajuda de vocês, essa tese não seria possível! Especialmente à Marta, Bianca, Okamoto e Márcio!

A todos os meus colegas e amigos da Estação Marinha de Aquacultura. São muitos nomes para serem citados, mas todos de alguma forma contribuíram muito na minha caminhada durante todos esses anos de graduação, mestrado e doutorado. Aos que já foram embora, e aos que ainda estão por lá, agradeço de coração por toda a alegria e companheirismo!

Agradeço a todos os meus amigos que estiveram presentes (ou nem tanto quanto gostaríamos, mas sempre presentes de coração!) durante esses últimos anos da minha vida, apoiando ou apenas ajudando com alegrias e conversas durante a fase mais difícil pela qual passei. É nessas horas que se percebe o valor da amizade. Muito obrigada a vocês!

1 **RESUMO GERAL**

2 Este estudo descreve a ontogenia do sistema imune inato e adaptativo do linguado
3 *Paralichthys orbignyanus* e analisa a expressão de genes RAG1, CD3, CD4-2 e IL-1 β ,
4 relacionados ao desenvolvimento do sistema imune em larvas e juvenis de *P. orbignyanus*,
5 e a morfologia do sangue periférico. A larvicultura foi realizada no Laboratório de
6 Piscicultura Estuarina e Marinha da Universidade Federal do Rio Grande (EMA – FURG).
7 O rim apareceu 1 dia após a eclosão (dae), o timo aos 5 dae e o baço aos 10 dae, com
8 células linfóides observadas em torno dos 25 dae. A expressão do gene RAG1 seguiu o
9 aparecimento do timo, e os níveis de mRNA de CD3 e CD4-2 aumentaram após 30 dae.
10 Um aumento nos níveis da citocina IL-1 β foi observado aos 30 dae. O sangue de *P.*
11 *orbignyanus* segue basicamente o mesmo padrão de outros vertebrados (eritrócitos,
12 leucócitos e trombócitos). Estes resultados sugerem que, a partir dos 25-30 dae, o sistema
13 imune do linguado pode apresentar memória imunológica, podendo-se utilizar
14 imunoestimulantes e vacinação para melhorar as taxas de sobrevivência durante a
15 larvicultura, bem como o perfil normal das células sanguíneas pode servir de base para a
16 futura análise de condições patológicas.

17

18 **GENERAL ABSTRACT**

19 This study aimed to describe the ontogeny of the innate and adaptative immune
20 systems and analyze the expression of immune-related genes during the development of
21 larvae and juvenile *Paralichthys orbignyanus*, as well as the morphological features of
22 the blood, to improve the cultivation of this species in captivity. Larvae provenient from
23 artifical fertiliation were obtained at the Laboratory of Estuarine and Marine Fish Culture
24 of the Federal University of Rio Grande (EMA – FURG). The kidney was observed at 1
25 day after hatching (dah), the thymus at 5 dah and the spleen at 10 dah, with lymphoid
26 cells being observed in the animals after 25 dah. The expression of RAG1 proteins
27 followed the appearance of the thymus, and CD3 and CD4-2 mRNA levels increased after
28 30 dah. An increase in the levels of the cytokine IL-1 β was observed at 30 dah. The blood
29 of *P. orbignyanus* follows the hematological pattern of other vertebrates, with
30 erythrocytes, leucocytes and thrombocytes Theshe results suggest that after 25-30 dah the
31 immune system of this species may present immunological memory and larvae and/or
32 juvenile can be immunostimulated or vaccinated to increase survival in early stages of
33 development, as well as the blood profile being used as a basic information for further
34 pathological analysis.

35 **INTRODUÇÃO GERAL**

36

37 **1. LINGUADO *Paralichthys orbignyanus***

38

39 Os linguados pertencentes à ordem dos Pleuronectiformes são um grupo
40 taxonômico amplo, compreendendo 11 famílias e cerca de 500 espécies em todo o mundo,
41 algumas das quais são de alto interesse comercial tanto na pesca quanto na aquicultura.
42 A família Paralichthyidae possui pouco mais de cem espécies em 14 gêneros. Estas
43 espécies assentam-se no substrato sobre seu lado direito, possuindo os dois olhos do lado
44 esquerdo do corpo. São predadores de fundo, normalmente cobrindo seus corpos quase
45 totalmente na areia ou lama. São capazes de mudanças rápidas na coloração, que permite
46 combinar com o ambiente quase perfeitamente (Munroe 2006).

47 O interesse no gênero *Paralichthys* (Girard, 1858) nas últimas décadas foi
48 impulsionado pelo sucesso do cultivo do hirame (*P. olivaceus*) no Japão, e este gênero
49 está presente na Lagoa dos Patos (RS, Brasil) e região costeira adjacente, ocorrendo três
50 espécies das 21 que fazem parte deste gênero: *P. orbignyanus*, *P. patagonicus* e *P.*
51 *isosceles*. Somente *P. orbignyanus* utiliza o ambiente estuarino e águas costeiras de
52 profundidade de até 30m, enquanto as demais são encontradas em águas mais profundas
53 (Figueiredo & Menezes 2000).

54 O linguado *P. orbignyanus* pode atingir mais de 1 m de comprimento e 10 kg de
55 peso, sendo a espécie de maior porte no sul do Brasil, cujo valor comercial é alto na região.
56 Encontra-se distribuída desde o litoral do estado do Rio de Janeiro, no Brasil, até Mar del
57 Plata, na Argentina (Figueiredo & Menezes 2000), sendo considerada estuarino-
58 dependente por utilizar as regiões estuarinas durante as fases juvenil e subadulto. Esta
59 espécie é capturada através da pesca industrial e também por pesca artesanal, sendo fácil
60 obter reprodutores junto à costa. Estes fatores reforçam seu potencial para aquicultura,
61 incluindo o cultivo em águas estuarinas, podendo tornar-se uma fonte de renda alternativa
62 na região, especialmente para os pescadores artesanais (Bianchini et al. 2010).

63 Estudos relacionados à biologia e à viabilidade da espécie para aquicultura têm sido
64 conduzidos nas últimas décadas por pesquisadores da Universidade Federal do Rio
65 Grande na Estação Marinha de Aquicultura (EMA – FURG). Tais estudos avaliaram,
66 entre outros fatores, a tolerância a compostos nitrogenados (Bianchini et al. 1996), pH
67 (Wasielesky et al. 1997), temperatura (Wasielesky et al. 1998) e salinidade (Sampaio &
68 Bianchini 2002; Sampaio et al 2001, 2007). Além disso, protocolos bem definidos para

69 reprodução e larvicultura do linguado em cativeiro já foram estabelecidos e melhorados
70 (Cerqueira 2005; Rocha et al. 2008; Sampaio et al. 2008; Bianchini et al. 2010). Da
71 mesma forma que outras espécies de grande importância econômica na aquicultura
72 mundial, o gênero *Paralichthys*, em geral, possuem algumas dificuldades para a
73 reprodução espontânea em cativeiro. Assim, como alternativas, realizam-se induções
74 hormonais da ovulação e fertilizações *in vitro* (Bianchini et al. 2010).

75 As larvas de linguado não apresentam desenvolvimento completo na eclosão,
76 possuindo um comprimento total de 2 mm, olhos não pigmentados e trato digestório
77 fechado. Portanto, a sua sobrevivência depende exclusivamente de suas reservas
78 endógenas. Após o 3º a 4º dia após a eclosão (dae) as larvas apresentam suas reservas
79 quase extintas e o trato digestório encontra-se aberto, sendo este o momento da primeira
80 alimentação exógena. A presa oferecida durante a larvicultura é o rotífero *Brachionus*
81 *plicatilis*, utilizando o sistema de água verde com microalgas *Nannochloropsis ocellata*
82 e *Tetraselmis tetrathale* (Sampaio et al. 2007; Sampaio et al. 2008). A troca do alimento
83 para náuplios de *Artemia* é realizada quando as larvas atingem entre 5 a 7 mm, sendo uma
84 substituição gradual para que possam se acostumar com a nova presa. Ao completarem a
85 metamorfose (10-15 mm), os linguados podem ser alimentados com adultos de *Artemia*,
86 larvas de peixes, e também alimento inerte, embora ainda seja desconhecido o momento
87 mais adequado para esta transição alimentar (Bianchini et al. 2010).

88 Ainda que *P. orbignyanus* seja uma espécie com grande potencial para aquicultura,
89 falta conhecimento sobre alguns aspectos biológicos da espécie, como o sistema
90 circulatório e a ontogenia do seu sistema imune. Estas informações seriam importantes
91 para melhorar a sobrevivência e o crescimento nos estágios iniciais do desenvolvimento
92 do linguado. Uma larva pobemente desenvolvida na eclosão e um estágio relativamente
93 longo de alimentação com alimento vivo podem tornar as larvas vulneráveis a doenças
94 bacterianas e virais associadas com altas mortalidades. Um melhor entendimento sobre o
95 sistema imune é importante para facilitar o estabelecimento de medidas profiláticas
96 adequadas tais como vacinas e uso de estimulantes.

97

98

99

100

101 2. SISTEMA IMUNE

102

103 A imunologia tem sido estudada por mais de duzentos anos, desde a descoberta da
104 varíola em 1796. Entretanto, a maior parte do que conhecemos hoje sobre a composição,
105 função e modulação dos sistemas imunes é derivada de estudos em mamíferos (Zhu et al.
106 2013). A principal função do sistema imune é proteger o organismo contra agentes
107 estranhos (microorganismos invasores, agentes químicos e outras substâncias exógenas),
108 ou seja, distinguir entre o que é próprio do organismo e o não próprio. Este sistema é
109 constituído de uma série de moléculas, células, tecidos e órgãos capazes de realizar estas
110 funções e gerar a classe certa de resposta imune. Para eliminar agentes não próprios, uma
111 variedade de mecanismos foi evoluindo, incluindo: a inativação dos agentes biológicos;
112 lise de células exógenas; fagocitose de material estranho; aglutinação ou precipitação de
113 moléculas e células (Prabhakar 2010).

114 O sistema imune dos vertebrados é historicamente dividido em celular e humorai,
115 e em sistema imune inato ou inespecífico e sistema adaptativo ou específico. A primeira
116 linha de defesa contra organismos invasores é o sistema imune inato, enquanto o sistema
117 imune adaptativo atua como segunda linha de defesa e também oferece proteção contra
118 novas exposições ao mesmo patógeno. Cada um possui tanto componentes celulares
119 quanto humorais pelos quais exercem sua função protetora. Ainda que possuam diferentes
120 funções, estes componentes não podem existir e agir independentemente. Células do
121 sistema imune inato interagem com aquelas do sistema imune adaptativo, bem como
122 células imunes interagem com células não imunes (Prabhakar 2010; Fischer et al. 2013).

123 O sistema imune adaptativo requer algum tempo para reagir contra um organismo
124 invasor, enquanto o sistema imune inato inclui defesas que, em sua maioria, são
125 constitutivamente presentes e prontas para serem mobilizadas frente à infecção. O sistema
126 imune adaptativo é antígeno-específico e reage somente com o agente que induziu a
127 resposta. Em contraste, o sistema inato não é antígeno-específico e reage da mesma
128 maneira diante de uma variedade de organismos. Por fim, o sistema imune adaptativo
129 demonstra memória imunológica, ou seja, “lembra” o encontro com o organismo invasor
130 e reage mais rapidamente na exposição subsequente ao mesmo organismo,
131 diferentemente do sistema inato que não apresenta memória imunológica (Prabhakar
132 2010).

133 Como em todos os vertebrados, os peixes podem sofrer com uma ampla variedade
134 de doenças e parasitos, utilizando-se de suas defesas inespecíficas e específicas para
135 protegerem-se, além de possuírem respostas imunes celulares e humorais. Quando
136 comparado ao sistema imune de vertebrados superiores, o sistema imune dos peixes é

137 eficaz e produz reações inespecíficas semelhantes, como, por exemplo, as reações
138 granulomatosas (Klosterhoff & Romano, 2012).

139 Peixes e mamíferos possuem muitas semelhanças na função imune (Romano, 2010).
140 Levando em conta as diferenças de compartimentos do corpo e organização celular, a
141 maioria dos órgãos linfóides primários e secundários presentes nos mamíferos também
142 estão nos peixes, exceto pelos linfonodos e a medula óssea. A presença de vasos linfáticos
143 em peixes ainda é questão de debate (Fischer et al. 2013). As células imunes de peixes
144 mostram as mesmas características principais que as de outros vertebrados. Os peixes são
145 os primeiros vertebrados na árvore evolutiva a possuir todas as características primárias
146 de um sistema imune adaptativo, incluindo a presença de linfócitos, imunoglobulinas (Ig)
147 produzidas por células B, complexo principal de histocompatibilidade (MHC) e
148 receptores de células T (TCR) expressos pelos linfócitos T (Willett et al. 1997).

149 Os peixes estão na base da irradiação dos vertebrados, o chamado “Big Bang” da
150 resposta imune combinatorial. A persistência dos peixes no ambiente aquático é
151 certamente relacionada ao sucesso do seu sistema imune (Prabhakar 2010). Além disso,
152 algumas características de peixes antecipam a sofisticação em mamíferos. Por exemplo,
153 os centros melanomacrocágicos em peixes antecipam a função dos linfonodos de
154 mamíferos. A função hematopoiética do rim anterior também é encontrada em alguns
155 anfíbios. Do ponto de vista evolucionário, a pesquisa sobre sistemas imunes de
156 vertebrados inferiores se tornará indispensável para um melhor entendimento da história
157 evolutiva dos sistemas imunes dos vertebrados. Peixes são considerados um modelo
158 importante em estudos de imunologia comparada por ser uma população representativa
159 dos vertebrados inferiores servindo como um elo essencial para a evolução inicial dos
160 vertebrados (Zhu et al. 2013).

161 Uma das principais características do sistema imune de peixes é a sua profunda
162 relação com a temperatura ambiente. A temperatura limita a imunocompotência, já que,
163 abaixo de certas temperaturas ou em choque térmico, a produção de Ig e as respostas das
164 células T são reduzidas. De acordo com Prabhakar (2010), ainda que peixes possuam uma
165 maior tolerância a baixas temperaturas, uma redução severa da temperatura resultará em
166 imunossupressão, mesmo para o sistema do complemento e as proteínas da fase aguda.

167

168 **2.1. SISTEMA IMUNE INATO OU INESPECÍFICO**

169

170 Geralmente, existem três linhas da defesa imune inata que podem prevenir uma
171 infecção ou pará-la no começo, antes do sistema imune adaptativo ser ativado. A primeira
172 delas são as barreiras físicas e químicas que previnem o fácil acesso de micro-organismos
173 ao interior do corpo (Alberts et al. 2009). Em peixes, essas barreiras incluem a pele e as
174 escamas, bem como a camada de muco secretada pela epiderme que aprisiona
175 microrganismos e inibe seu crescimento. Se os patógenos ultrapassam essas defesas, os
176 peixes podem desenvolver uma resposta inflamatória que aumenta o fluxo sanguíneo para
177 a região infectada e leva as células brancas que irão tentar destruir os patógenos
178 (Prabhakar 2010). A flora normal também tem um papel protetor nas superfícies corporais
179 contra invasores por competir pelo mesmo nicho ecológico, e assim limitar a colonização.

180 A segunda linha de defesa inata compreende as respostas intrínsecas da célula pelas
181 quais uma célula individual reconhece que está sendo infectada e toma medidas para
182 danificar ou matar o invasor, entre elas a fagocitose, expondo o organismo invasor a uma
183 barragem de enzimas digestivas. Por fim, a terceira linha de defesa imune inata depende
184 de um conjunto de proteínas e células fagocíticas que reconhecem características
185 conservadas do patógeno e se ativam rapidamente para ajudar a destruir o invasor. Entre
186 elas estão as células fagocíticas profissionais, como os neutrófilos e macrófagos, as
187 células natural killer e o sistema do complemento.

188 Entre os macrófagos, nos peixes, existem células que possuem diferentes pigmentos,
189 ferro, lipofucsina, pigmento ceróide e melanina. Estas células são denominadas
190 melanomacrófagos (MMs) e são um tipo de células apresentadoras de抗ígenos e
191 conectam o sistema imune inato ou inespecífico com a resposta imune específica. Os
192 MMs também são considerados bioindicadores imunológicos do estado de saúde dos
193 peixes (Macchi et al. 1992).

194 Microorganismos algumas vezes conseguem ultrapassar as barreiras epiteliais.
195 Depende então dos sistemas imunes inato e adaptativo entrarem em ação para reconhecê-
196 los e destruí-los sem afetar o hospedeiro. O sistema imune inato é baseado no
197 reconhecimento de tipos particulares de moléculas que são comuns a muitos patógenos,
198 mas ausentes no hospedeiro, chamadas de moléculas associadas a patógenos, e que podem
199 engatilhar dois tipos de resposta imune inata – a resposta inflamatória e a fagocitose por
200 fagócitos profissionais (neutrófilos e macrófagos) e por células dendríticas, que ativam
201 as células T do sistema adaptativo. Ambas podem ocorrer rapidamente, mesmo que o
202 hospedeiro nunca tenha sido previamente exposto a um patógeno em particular (Alberts
203 et al. 2009).

204 Fatores humorais são produzidos por células para engatilhar, modificar ou suprimir
205 outras células. Moléculas humorais não específicas em peixes incluem lisozimas,
206 citocinas, lectinas (reconhecimento de carboidratos), enzimas líticas, transferrinas
207 (proteínas que se ligam ao ferro) e componentes do sistema do complemento
208 (Magnadóttir et al. 2005; Fischer et al. 2013).

209 O sistema do complemento em mamíferos consiste de aproximadamente 20
210 proteínas solúveis interativas, produzidas principalmente pelo fígado, que circulam no
211 sangue e nos fluidos extracelulares. A maior parte destas proteínas é inativa até o
212 momento inicial de uma infecção. Elas foram inicialmente identificadas pela capacidade
213 de amplificar e complementar a ação dos anticorpos, mas alguns dos componentes do
214 complemento são receptores de reconhecimento de padrões que podem ser ativados
215 diretamente por imunoestimulantes associados aos patógenos (Alberts et al. 2009).

216 Citocinas são moduladoras da resposta imune e tem sido pouco estudadas em peixes.
217 Um número significativo de citocinas é funcionalmente ativo em teleósteos, mas poucos
218 dados estão disponíveis se comparados com mamíferos. As citocinas, proteínas secretadas
219 por células tanto da imunidade inata quanto da adquirida, são agrupadas em três
220 categorias de acordo com a função exercida: mediadoras e reguladoras da imunidade inata,
221 mediadoras e reguladoras da imunidade adaptativa e as estimuladoras da hematopoiese.

222 A interleucina-1, a primeira interleucina a ser identificada, possui muitas atividades
223 biológicas, e tem sido estudada por muitos anos sob vários nomes, tais como mediador
224 endógeno de leucócitos, hematopoietina 1, pirógeno endógeno, catabolina e fator de
225 ativação de osteoclastos (Lu et al. 2003). A família de genes IL-1 é composta, entre outros
226 membros, de IL-1 α , IL-1 β e o receptor antagonista a IL-1 (IL-1ra). Estas moléculas
227 tendem a ser tanto pró-inflamatórias como agir como antagonistas para inibir as
228 atividades de membros particulares da família, como o IL-1ra que se liga ao receptor IL-
229 1 para bloquear a ligação tanto da IL-1 α quanto da IL-1 β (Secombes et al. 2011). O cDNA
230 de IL-1 β foi primeiramente clonado do rato em 1984 e subsequentemente outros
231 homólogos em mamíferos foram encontrados (Fujiki et al. 2000). Em peixes, o primeiro
232 homólogo da IL-1 β clonado foi na truta arco-íris (Secombes et al. 1998). Até o momento,
233 somente dois homólogos da superfamília interleucina-1 foram claramente identificados
234 em peixes, que são a IL-1 β e a IL-18 (Secombes et al. 2011).

235 Em mamíferos, a IL-1 β possui um papel fundamental como uma citocina
236 proinflamatória. É produzida principalmente por monócitos e macrófagos e secretada no

237 sistema circulatório. Sabe-se que a IL-1 β aumenta a produção de citocinas e a fagocitose
238 em macrófagos e é crucial para organismos responderem prontamente a uma infecção,
239 sendo expressada antes de outras citocinas proinflamatórias e promovendo uma cascata
240 de reações levando à inflamação (Lu et al. 2003). IL-1 α e IL-1 β dividem o mesmo
241 receptor nas células alvo e exercem funções biológicas semelhantes, ainda que a IL-1 β
242 mostre uma função mais potente na resposta imune humoral (Zhu et al. 2013).

243 Em todos os animais, o reconhecimento de invasores microbianos normalmente é
244 seguido por seu rápido englobamento pelas células fagocíticas. Nos vertebrados, os
245 macrófagos são fagócitos profissionais que residem em todos os tecidos do corpo e são
246 especialmente abundantes em áreas que apresentam alto potencial de sofrer infecção,
247 como os tratos respiratório e intestinal, por exemplo. Também estão presentes em grande
248 número nos tecidos conectivos, no fígado e no baço. Estas células de longa duração
249 patrulham os tecidos do organismo e estão entre as primeiras células a estabelecer contato
250 com os micróbios invasores (Alberts et al. 2009). As células não específicas do sistema
251 imune de peixes incluem monócitos ou macrófagos nos tecidos, granulócitos (neutrófilos)
252 e células citotóxicas. A linhagem celular monócito/macrófago é a mais estudada em
253 peixes, ainda que não haja marcadores celulares específicos disponíveis.

254 Pertencentes à segunda maior família de células fagocíticas nos vertebrados, os
255 neutrófilos são células de curta duração, abundantes no sangue, mas normalmente
256 ausentes em tecidos saudáveis normais. Eles são rapidamente recrutados para a região de
257 infecção tanto por macrófagos ativados quanto por moléculas liberadas pelos patógenos
258 e por fragmentos de peptídeos de componentes do complemento. Os macrófagos e os
259 neutrófilos apresentam uma grande diversidade de receptores de superfície celular que
260 permitem a estas células reconhecer e englobar os patógenos. Uma vez que o patógeno
261 tenha sido fagocitado, estas células utilizam uma diversidade de “armas” para matá-lo.

262

263 **2.2. SISTEMA IMUNE ADAPTATIVO OU ESPECÍFICO**

264

265 Nos vertebrados, a resposta imune inata recruta a resposta adaptativa, e ambas
266 atuam em conjunto para eliminar os patógenos. A resposta imune adaptativa elimina ou
267 destrói os patógenos invasores e quaisquer moléculas tóxicas que eles produzem, e usa
268 múltiplos mecanismos para evitar o dano contra as próprias moléculas. Qualquer
269 substância capaz de estimular a resposta imune adaptativa é denominada antígeno

270 (gerador de anticorpo). O sistema imune pode distinguir entre抗ígenos que são muito
271 semelhantes (Alberts et al. 2009).

272 Ao passo que a aquicultura se expande, problemas de saúde irão inevitavelmente
273 aparecer tornando o conhecimento sobre o sistema imune vital (Covello et al. 2013). A
274 presença de um sistema imune adaptativo e consequentemente da memória imune permite
275 a vacinação dos peixes, o que tem sido feito com sucesso para algumas espécies
276 economicamente importantes (Fischer et al. 2013). Há uma necessidade urgente por
277 ferramentas para melhorar as respostas imunes celulares à vacinação, que é o método
278 mais apropriado para o controle de doenças, tanto do ponto de vista econômico como
279 ético. A disponibilidade dessas ferramentas irá ajudar a desenhar novas vacinas para
280 induzir mecanismos de resposta imune efetivos.

281 O conhecimento da ontogenia da resposta imune adaptativa é importante para
282 ajudar a indicar o momento mais apropriado para a vacinação. Entretanto, se os peixes
283 são vacinados antes de tornarem-se imunologicamente competentes, um fenômeno
284 conhecido como tolerância imunológica pode ocorrer, levando a uma diminuição da
285 resposta secundária subsequente e da eficácia da vacinação (Covello et al. 2013).

286 Peixes ósseos são um dos primeiros grupos a possuir imunoglobulinas (Ig),
287 receptores de células T (TCR) e recombinação V(D)J, pontos chave para a resposta imune
288 adaptativa. Uma característica principal do sistema imune adaptativo é a habilidade de
289 gerar um grande repertório de sítios de ligação a抗ígenos, tanto na forma de Ig quanto
290 de TCRs (Covello et al. 2013). O repertório de Ig e TCR é produzido através da reunião
291 de segmentos gênicos separados durante o desenvolvimento dos linfócitos.

292 Nas imunoglobulinas, cada região V de cadeia leve é codificada por uma sequência
293 de DNA que é reunida a partir de dois segmentos gênicos – um segmento gênico V longo
294 e um pequeno segmento de ligação, ou segmento gênico J. Cada região V de cadeia
295 pesada das imunoglobulinas é construída de maneira similar por meio da combinação de
296 segmentos gênicos, mas há um segmento de diversidade adicional, ou segmento gênico
297 D, que também é necessário. O grande número de segmentos gênicos V, D e J herdados
298 disponíveis para codificar as cadeias de anticorpos contribui substancialmente para a
299 diversidade de anticorpos, e a ligação combinatória desses genes (denominada
300 diversidade combinatória) aumenta bastante esta contribuição. Um arranjo similar de
301 combinação V(D)J é necessário para a formação de TCR de membrana funcional (Alberts
302 et al. 2009).

303 No processo de recombinação V(D)J, dois genes associados denominados Rag1 e
304 Rag2 (genes de ativação da recombinação) codificam proteínas específicas de linfócitos
305 da recombinase V(D)J, RAG1 e RAG2. Para mediar a união V(D)J, as duas proteínas
306 associam-se para formar um complexo (denominado RAG), que atua como uma
307 endonuclease, introduzindo quebras na fita dupla de DNA precisamente entre os
308 segmentos gênicos a serem unidos e suas sequências-sinal de recombinação. A RAG
309 então inicia o processo de reunião recrutando as enzimas envolvidas no reparo da fita
310 dupla de DNA em todas as células (Alberts et al. 2009).

311 Rag1 é altamente regulado, com sua expressão limitada não somente a células
312 específicas linfóides, mas também a estágios específicos do desenvolvimento dessas
313 células. Os níveis mais altos de expressão do RAG são observados durante os estágios
314 iniciais do desenvolvimento de células B e declinam assim que elas amadurecem, com o
315 nível de mRNA inversamente proporcional ao nível de Ig de superfície, até que o RAG
316 não seja mais expresso em células B maduras. Uma vez que a expressão do RAG foi
317 parada, não é re-induzida (Covello et al. 2013). Isso torna o Rag1 um excelente marcador
318 para acompanhar a maturação do sistema linfóide e a consequente localização das células
319 envolvidas neste processo (Corripio-Miyar et al. 2007).

320 Existem duas grandes classes de respostas imunes adaptativas – respostas mediadas
321 por anticorpos e respostas imunes mediadas por células T, ambas presentes nos peixes.
322 Imunoglobulinas específicas em peixes funcionam na opsonização de bactérias,
323 neutralização de toxinas ou vírus e são um potente ativador do complemento. Os
324 patógenos intracelulares são controlados pela imunidade mediada por células. A resposta
325 mediada por células em peixes é semelhante à de mamíferos e baseia-se na presença de
326 células acessórias (macrófagos) para apresentar os抗ígenos às células T (Prabhakar
327 2010). A correta apresentação do antígeno resulta em uma cascata de eventos que inclui
328 a produção de citocinas que regula ou aumenta a resposta celular.

329

330 **2.2.1. IMUNIDADE ESPECÍFICA HUMORAL**

331

332 A imunidade específica humoral é mediada por anticorpos (Ig), proteínas secretadas
333 pelas células B, que circulam na corrente sanguínea e permeiam os outros fluidos
334 corporais, onde se ligam especificamente ao antígeno que estimulou sua produção. A
335 ligação do anticorpo ao antígeno inativa vírus e toxinas microbianas, bloqueando sua
336 capacidade de se ligar a receptores na célula do hospedeiro, e também marca os patógenos

337 invasores para serem destruídos, principalmente facilitando o processo de fagocitose
338 pelas células do sistema imune inato (Alberts et al. 2009). Todos os vertebrados possuem
339 múltiplos isotipos de Ig e a IgM é a única Ig que está presente em todos os vertebrados
340 (Swain & Nayak 2009). A única imunoglobulina que os peixes possuem é a IgM,
341 caracterizada por ser um tetrâmero ou quatro monômeros de duas cadeias pesadas e duas
342 leves, enquanto nos mamíferos e humanos a IgM é um pentâmero ou cinco monômeros.

343

344 **2.2.2. IMUNIDADE ESPECÍFICA CELULAR**

345

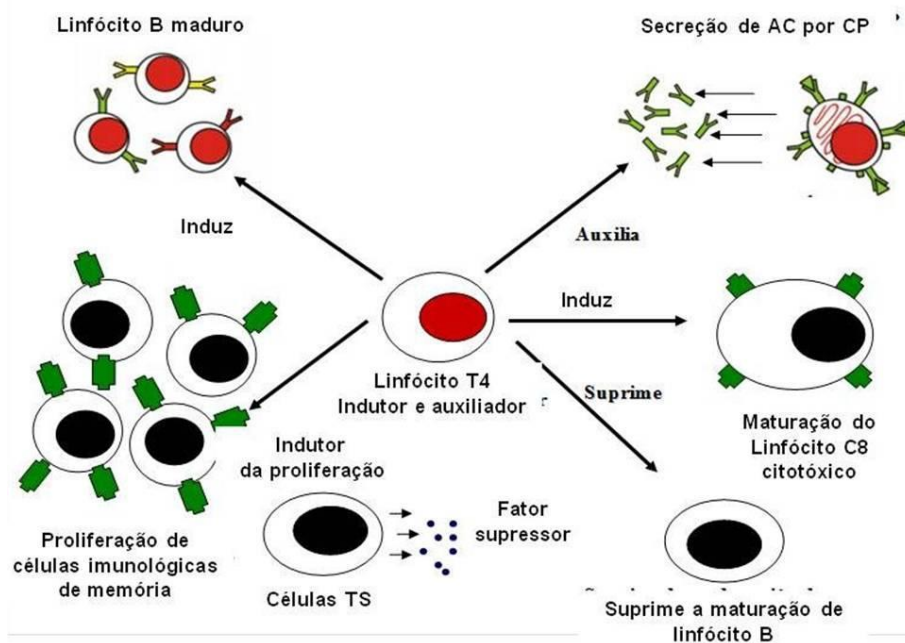
346 Os linfócitos são responsáveis pela extraordinária especificidade das respostas
347 imunes adaptativas. Eles estão presentes em grande número na corrente sanguínea e na
348 linfa, e também concentrados nos órgãos linfóides. Entretanto, respondem a抗ígenos
349 estranhos somente quando o sistema imune inato é ativado anteriormente. A resposta
350 imune celular, ou mediada por células T, é a segunda classe de respostas imunes
351 adaptativas, na qual ativa células T a reagirem diretamente contra抗ígenos estranhos que
352 são apresentados a elas na superfície de uma célula hospedeira, a célula apresentadora de
353抗ígeno. A célula T pode matar uma célula hospedeira infectada por vírus que apresente
354抗ígenos virais em sua superfície ou produzir moléculas sinalizadoras que tanto ativam
355 macrófagos a destruir os micróbios invasores que fagocitaram quanto auxiliam na
356 ativação das células B para produzirem anticorpos contra os micróbios (Alberts et al.
357 2009) (Figura 1).

358 As respostas mediadas pelas células T diferem das respostas mediadas pelas células
359 B em pelo menos duas maneiras essenciais. Primeiro, as células T são ativadas por
360抗ígenos estranhos a proliferarem e diferenciarem-se em células efetoras somente
361 quando os抗ígenos encontram-se na superfície de células apresentadoras de抗ígenos,
362 as quais processaram o抗ígeno e somente apresentam aos linfócitos T4 o epítopo ou
363 determinante antigenico. As células T necessitam dessas células para ativação porque a
364 forma do抗ígeno que elas reconhecem é diferente daquela reconhecida pelas células B,
365 que reconhecem抗ígenos intactos. As células T, no entanto, reconhecem fragmentos de
366抗ígenos protéicos que tenham sido parcialmente degradados dentro de uma célula
367 apresentadora de抗ígeno. Os fragmentos do peptídeo são então transportados para a
368 superfície da APC e associados a moléculas especiais denominadas proteínas do MHC.
369 A segunda diferença é que, quando ativada, a célula T efetora atua apenas localmente,
370 tanto dentro dos órgãos linfoideos secundários, quanto após terem migrado para o local de

infecção. As células B, ao contrário, secretam anticorpos que podem agir em regiões distantes. Ainda assim, a maioria das respostas imunes adaptativas, incluindo as respostas mediadas por anticorpos, necessita das células T auxiliares para sua ativação (Alberts et al. 2009; Romano 2010).

375

376



377

378

379

380

381

382

383

384

385

386

387

388

389

Figura 1. Funções do linfócito T4 na resposta imune de vertebrados (Romano, 2010).

392

393 Cada linfócito desenvolve-se em um órgão linfóide central e se torna comprometido
394 a reagir com um determinado antígeno antes mesmo de ser exposto a ele. A expressão
395 desse comprometimento ocorre na forma de receptores que se ligam especificamente ao
396 antígeno, os receptores de células T (TCRs). Quando um linfócito encontra seu antígeno
397 específico em um órgão linfóide periférico, a ligação do antígeno ao receptor ativa o
398 linfócito induzindo-o a proliferar, e produzindo mais células para o mesmo receptor,
399 processo denominado expansão clonal. A resposta imune primária ocorre quando um
400 animal tem o primeiro contato com o antígeno, aumentando rápida e exponencialmente e,
401 após, diminuindo gradualmente. Se o mesmo animal for apresentado novamente a esse
402 antígeno, mesmo depois de anos, ele geralmente produzirá uma resposta imune
403 secundária, cujo intervalo de tempo é menor que a anterior, e a resposta é mais intensa e
404 mais eficiente. A resposta secundária, portanto, reflete a memória imunológica antígeno-
405 específica (Alberts et al. 2009).

406 As células B e T podem ser distinguidas morfológicamente uma da outra somente
407 após terem sido ativadas pelo antígeno. Após a ativação pelo antígeno, proliferam e
408 maturam em células efetoras. As células B efetoras secretam anticorpos e, na sua forma
409 mais diferenciada, são chamadas de células plasmáticas eativamente produzem
410 anticorpos. As células T efetoras não secretam anticorpos, e sim uma variedade de
411 proteínas sinalizadoras denominadas citocinas.

412 A proliferação contínua de células B e T requer interações com células do estroma
413 dos órgãos nos quais amadurecem. As células T, por exemplo, precisam adquirir a
414 habilidade de distinguir o próprio do não próprio, processo chamado “educação” e que
415 requer interações entre as células T em amadurecimento e as células não linfóides do
416 estroma do timo. Os genes que direcionam esse processo são desconhecidos (Swain and
417 Nayak 2009). Existem três classes principais de células T: as células T citotóxicas, as
418 células T auxiliares e as células T reguladoras (supressoras). As células T citotóxicas
419 matam as células infectadas. As células T auxiliares ativam os macrófagos, as células
420 dendríticas, as células B e as células T citotóxicas através das citocinas e da apresentação
421 de proteínas coestimuladoras em sua superfície. As células T reguladoras inibem a função
422 das células T auxiliares, das células T citotóxicas e das células dendríticas (Alberts et al.
423 2009).

424 As moléculas mais importantes no reconhecimento de células apresentadoras de
425 antígenos infectadas são CD3, TCR, CD4 e CD8 (nas células T) e MHC classe I e II (nas
426 células apresentadoras de antígenos). CD3 e TCR juntas formam o complexo receptor da

427 célula T pelo qual as células T reconhecem os peptídeos associados ao MHC que são
428 expressos sobre células alvo infectadas. O CD3 é indispensável para a expressão dos
429 genes TCR. MHCs são altamente polimórficos entre indivíduos da mesma espécie e assim
430 as células apresentadoras de抗ígenos são apenas reconhecidas pelas células T se tanto o
431 MHC quanto o peptídeo se encaixarem em um dado TCR. Assim, o reconhecimento das
432 células infectadas pelas células T é altamente específico e somente algumas espécies de
433 TCR reconhecem certos peptídeos necessitando de TCRs altamente diversificados. Esta
434 diversificação, como nas imunoglobulinas, é baseada no gene de rearranjo V(D)J (Fischer
435 et al. 2013).

436 Em mamíferos e aves, células T citotóxicas e células T auxiliares são os principais
437 tipos de células T que carregam CD8 e CD4, respectivamente. CD8 e CD4 são ambos
438 correceptores em linfócitos T, estabilizando os complexos TCR/antígeno-MHC. CD4 é
439 associado com o TCR das células T auxiliares durante a interação com células
440 apresentando peptídeos de origem extracelular (p. ex. bactérias) através de MHC classe
441 II, enquanto o CD8 é um correceptor de células T citotóxicas que interagem com MHC
442 classe I durante a apresentação dos peptídeos antigenicos de origem intracelular (p. ex.,
443 vírus). Enquanto o MHC classe II é somente expresso pelas células apresentadoras de
444 antígeno profissionais como as células B, células dendríticas e macrófagos, MHC classe
445 I é expresso por todas as células nucleadas, o que inclui eritrócitos e trombócitos em
446 peixes. Todas as células T carregam o complexo CD3 junto com o TCR, e a identificação
447 do CD3 provou ser um método confiável para identificar células T em várias espécies
448 (Øvergård et al. 2009; Fischer et al. 2013). Devido à falta de marcadores para linfócitos
449 T em peixes, as caracterizações das populações de células T e suas funcionalidades ainda
450 precisam ser definidas em teleósteos (Toda et al. 2011).

451 A expressão de CD4 e CD8 é crítica para a defesa imune mediada por células e o
452 desenvolvimento de células T no timo. O processo de seleção induz apoptose em
453 timócitos que não interagem com moléculas próprias do MHC (seleção positiva), e
454 aqueles que possuem receptores de alta afinidade para MHC próprio e MHC próprio que
455 apresenta peptídeos próprios (seleção negativa). Células unicamente positivas são geradas
456 pelo comprometimento de linhagem, um processo em que ou o CD4 ou o CD8 são infra-
457 regulados (Øvergård et al. 2011). A proteína CD4 é composta de quatro domínios
458 extracelulares semelhantes a imunoglobulinas, uma região transmembrana e uma cauda
459 citoplasmática que se associa com uma proteína tirosina quinase, p56, envolvida na
460 ativação da célula T (Sun et al. 2007).

461 O primeiro CD4 homólogo em animal ectotérmico foi identificado no fugu
462 (*Takifugu rubripes*) e foi designado como CD4L-1. Até o momento, em teleósteos, dois
463 tipos de CD4 foram encontrados: uma versão longa (CD4L-1 – quatro domínios Ig) e uma
464 versão curta (CD4L-2 – dois ou três domínios Ig) (Sun et al. 2007). Comparado com o
465 CD4L-1, o padrão de expressão do CD4L-2 se encaixa melhor com a identidade CD4.
466 Aparentemente, diferentes espécies de peixes possuem apenas duas das três formas
467 divergentes de CD4, a clássica e ou a forma de três domínios ou a forma de dois domínios
468 (Øvergård et al. 2010). É de grande interesse saber as diferenças funcionais entre as duas
469 células CD4L positivas e seu envolvimento no desenvolvimento da célula T e imunidade
470 mediada por células, já que somente teleósteos possuem dois CD4s (Toda et al. 2011).

471 A determinação das populações de linfócitos T com receptores CD3 e
472 especialmente CD4 são críticas para que a vacina seja eficiente. Estes receptores podem
473 ser avaliados com imunohistoquímica. Os anticorpos monoclonais anti-CD3 e anti-CD4
474 de humanos podem ser utilizados para avaliar a expressão destes receptores já que
475 possuem reação cruzada em situações de normalidade (Romano et al., 2004), ou em
476 modificações que alteram o funcionamento do sistema imune (Romano, 2008; Batista et
477 al. 2014).

478

479 2.3. ÓRGÃOS LINFÓIDES

480

481 Os principais órgãos imunes dos teleósteos incluem o rim anterior, timo e baço,
482 além de áreas imunes espalhadas pelas mucosas (pele, brânquias, intestino e gônadas).
483 Entretanto, não há tecidos linfóides associados a mucosas organizados como em
484 mamíferos. Teleósteos também não possuem linfonodos, e o baço, juntamente com o rim,
485 formam os dois órgãos filtradores principais (Genten et al. 2009; Fischer et al. 2013).

486 O baço é normalmente um órgão solitário, vermelho escuro na cavidade peritoneal
487 adjacente à parede do intestino. Os mesmos elementos básicos em vertebrados superiores
488 estão tipicamente presentes: vasos sanguíneos, polpas branca e vermelha, e elipsóides. O
489 baço é coberto por uma fina cápsula fibrosa com pouca evidência de habilidade contrátil.
490 A polpa vermelha é um sistema extensivo interconectado de cordões esplênicos e
491 capilares sinusóides, consistindo basicamente de células eritróides e trombócitos, e
492 normalmente compreende a maior parte do parênquima esplênico. A polpa branca,
493 consistindo principalmente de células linfóides, tipicamente circunda vasos arteriais,

494 centros melanomacrfágicos e elipsóides, ou formam pequenos pacotes no parênquima
495 (Genten et al. 2009).

496 O melanomacrófago é um fagócito contendo quantidades variáveis de pigmento,
497 incluindo melanina, hemosiderina, ceróide ou lipofucsina, localizado nos vacúolos. Os
498 melanomacrófagos e centros melanomacrfágicos também são encontrados no rim e no
499 fígado. A filtração do sangue e a destruição eritrocitária é realizada pelos centros
500 melanomacrfágicos, formados pela acumulação de macrófagos associados aos capilares
501 elipsóides. Estes centros podem reter antígenos como complexos imunes por longos
502 períodos (Prabhakar 2010). Peixes cronicamente estressados, incluindo aqueles que não
503 estão saudáveis, tendem a possuir mais e mais largos centros melanomacrfágicos. O
504 tamanho e número dos centros melanomacrfágicos também aumenta com a idade do
505 peixe (Genten et al. 2009).

506 O rim anterior ou cefálico contém uma variedade de tecidos que não possuem
507 função no sistema urinário, sendo exclusivamente hemopoietico. Os blastócitos estão
508 situados dentro de um estroma do tecido (fibras e células endoteliais) semelhantemente
509 ao da medula óssea de mamíferos. As células endoteliais alinharam-se com numerosos
510 capilares descontínuos, através dos quais o sangue da veia porta renal passa por filtração
511 (Genten et al. 2009). Em peixes, o rim anterior também é um importante órgão endócrino,
512 homólogo às glândulas adrenais de mamíferos, liberando corticosteróides e outros
513 hormônios. Também é um órgão bastante inervado, possuindo funções reguladoras chave,
514 além de ser um órgão central para interações imunoendócrinas e conexões
515 neuroimunoendócrina. (Prabhakar 2010).

516 O timo de peixes é um órgão linfóide pareado situado na região dorsal de cada
517 cavidade branquial. É normalmente coberto por uma fina cápsula. Células epiteliais
518 formam, no parênquima tímico, uma rede tridimensional que suporta os timócitos. O timo
519 funciona como um sítio de diferenciação de linfócitos (timócitos) envolvidos na
520 imunidade mediada por células, antes da sua migração para tecidos linfóides periféricos
521 (Genten et al. 2009). O timo é definido como um órgão linfóide primário devido ao seu
522 papel inimitável no desenvolvimento das células T. A involução do timo em peixes
523 depende mais de ciclos hormonais e variações sazonais do que da idade (Prabhakar 2010).
524 Em peixes sexualmente maduros, o tecido do timo é bastante mudado, sem sinais de
525 medula. A região cortical restante parece conter somente células maduras e corpúsculos
526 de Hassal (Fischer et al. 2013).

527 O timo em mamíferos provê microambientes especializados que suportam e
528 direcionam a diferenciação e seleção das células T. Os linfócitos em desenvolvimento no
529 córtex e medula tímicos são engajados nas interações extensivas com ligantes de
530 peptídeos próprios apresentados pelo MHC expresso na rede tridimensional. Assim, o
531 timo pode ser visto como um filtro eficiente, através do qual as células T em
532 desenvolvimento positivamente selecionadas passam assim que amadurecem. Em
533 teleósteos ainda não há informação precisa disponível sobre a diferenciação e seleção das
534 células T, passos cruciais para estabelecer um sistema imune funcional. Todas as espécies
535 de vertebrados gnatostomados possuem glândulas tímicas que podem variar em posição
536 anatômica, mas conservam uma histologia muito semelhante que reflete a importância da
537 função (Picchietti et al. 2009).

538

539 **2.4. ONTOGENIA DO SISTEMA IMUNE**

540

541 Nas duas décadas passadas, o aumento massivo da aquicultura colocou uma grande
542 ênfase em estudos do sistema imune e mecanismos de defesa contra doenças associadas
543 com peixes. Mortalidades significativas são rotineiramente registradas em estágios larvais
544 e pós-larvais de peixes ao longo do mundo, e há uma grande necessidade de melhora da
545 taxa de sobrevivência de larvas de peixes. Além disso, as larvas de peixes possuem
546 nenhuma ou limitada habilidade de resposta imune antes da maturação do sistema imune,
547 assim a imunização direta pode não melhorar a imunidade (Zhang et al. 2013). Entretanto,
548 a imunogênese permanece incompletamente caracterizada principalmente porque não há
549 consenso nos índices histológicos e funcionais para definir os estádios de
550 desenvolvimento larval em relação à maturação dos órgãos linfóides.

551 A ontogenia dos órgãos imunes em teleósteos tem sido amplamente estudada em
552 diferentes espécies, e a maioria desses estudos morfológicos tem sido realizados
553 utilizando a histologia como técnica principal para investigar o desenvolvimento dos
554 órgãos imunes em peixes (Corripi-Miyar et al. 2007). Entretanto, genes imunes são
555 também bons marcadores no estudo da maturidade fisiológica do sistema imune e
556 potencialmente dão uma medida mais precisa do desenvolvimento inicial da
557 imunocompetência como, por exemplo, o aparecimento dos linfócitos num órgão linfóide
558 (Swain & Nayak 2009).

559 A ontogênese dos órgãos linfomieloides começa poucas horas após a fertilização,
560 mas a sequência de desenvolvimento pode diferir entre as espécies. Geralmente, o timo é

561 o primeiro órgão a tornar-se linfóide, seguido pelo rim e pelo baço. Ainda que os órgãos
562 linfóides e os linfócitos B e T apareçam cedo durante a embriogênese, a aquisição de
563 imunocompetência leva de poucas a muitas semanas dependendo da espécie de peixe
564 (Swain & Nayak 2009). Ovos de peixes são dependentes da provisão materna de
565 moléculas imunorrellevantes para a proteção contra patógenos invasores antes da
566 maturação total de sistemas imunológicos. O desenvolvimento dos órgãos imunes em
567 peixes marinhos depende de uma variedade de fatores incluindo temperatura da água,
568 tamanho dos ovos e duração do período do saco vitelínico. Inúmeras espécies de peixes
569 marinhos, como o linguado *P. orbignyanus*, eclodem em um estágio precoce do
570 desenvolvimento, ainda com o saco vitelínico.

571

3. SISTEMA CIRCULATÓRIO

573

3.1. SANGUE

575

576 O sangue de peixes é semelhante ao de qualquer outro vertebrado. Consiste de
577 plasma e componentes celulares. Os componentes celulares são os eritrócitos (células
578 vermelhas), leucócitos (células brancas) e trombócitos. O plasma é a porção líquida que
579 funciona como um solvente para uma variedade de solutos incluindo proteínas, gases
580 dissolvidos, eletrólitos, nutrientes, material descartado e substâncias regulatórias. A linfa
581 é a parte do plasma que sai pelos capilares para banhar os tecidos (Genten et al 2009;
582 Prabhakar 2010).

583

3.1.1. CÉLULAS SANGUÍNEAS

585

586 Em peixes, os eritrócitos são ovais e nucleados e o citoplasma é saturado com
587 hemoglobina. Os eritrócitos estão presentes no sangue de peixes em um número variável
588 de acordo com a espécie e com a idade do indivíduo, estação e condições ambientais. O
589 tamanho dos eritrócitos é maior em elasmobrânquios do que em teleósteos, ligeiramente
590 menor em espécies ativas que em espécies não ativas, e maior em teleósteos de altas
591 profundidades (Prabhakar 2010).

592 Os leucócitos presentes no sangue periférico de peixes podem ser de dois tipos:
593 granulócitos ou agranulócitos. A nomenclatura é baseada na afinidade de colorações
594 ácidas e básicas e depende da hematologia humana (Prabhakar 2010). A classificação dos

595 leucócitos em peixes está repleta de problemas não resolvidos, em parte porque os
596 métodos usados na hematologia de mamíferos por vezes não dão bons resultados quando
597 aplicados a esfregaços de sangue de peixes (Genten et al. 2009).

598 Agranulócitos não possuem grânulos no citoplasma e possuem o núcleo não lobado,
599 podendo ser de dois tipos: linfócitos e monócitos. Os linfócitos são o tipo mais numeroso
600 de leucócitos, constituindo de 70 a 90% do total de leucócitos. A função principal dos
601 linfócitos é produzir mecanismos para a geração da resposta imune e a produção de
602 anticorpos. Os monócitos constituem uma proporção muito menor de leucócitos, e por
603 vezes estão ausentes em algumas espécies de peixes. Os monócitos possuem função
604 fagocítica e sugere-se que sejam originados no rim e tornem-se aparentes no sangue
605 apenas quando substâncias estranhas estejam presentes nos tecidos ou na corrente
606 sanguínea.

607 Granulócitos possuem grânulos no citoplasma em grande quantidade e núcleo
608 multilobado. Podem ser de três tipos: neutrófilos, eosinófilos e basófilos, sendo os
609 neutrófilos são os mais numerosos. O número de neutrófilos circulantes observados em
610 peixes varia consideravelmente (1-25% dos leucócitos). Os eosinófilos não foram
611 observados em algumas espécies de peixes, mas tipicamente estas células tem sido
612 identificadas pela presença de grandes grânulos citoplasmáticos avermelhados (eosina).
613 Assim como os eosinófilos, a ocorrência de basófilos no sangue de peixes pode variar.
614 Quando presentes possuem um núcleo grande e excêntrico com grandes inclusões
615 citoplasmáticas roxo-azuladas.

616 Os trombócitos são células redondas, ovais ou fusiformes, com citoplasma granular,
617 que auxiliam na coagulação sanguínea. Já foi reportado que os trombócitos de peixes são
618 macrófagos sanguíneos que formam uma das barreiras protetoras contra agentes estranhos
619 e podem ser consideradas células verdadeiramente digestivas, porque podem remover
620 fragmentos celulares da circulação diretamente por fagocitose (Genten et al. 2009).

621

622

623 **3.1.2. HEMATOPOIESE**

624

625 A formação de células e fluidos do sangue é conhecida como hematopoiese. Tanto
626 os eritrócitos quanto os leucócitos são originados de hemoblastos linfóides ou
627 hemocitoblastos e normalmente amadurecem depois que entram na corrente sanguínea.
628 Em peixes, além do baço, os eritrócitos e granulócitos são produzidos no rim (pronefros).

629 A partir de células tronco comuns, três linhagens de células sanguíneas diferentes são
630 geradas: eritróide, mielóide e linfóide. A linhagem mielóide inclui os monócitos
631 (macrófagos) e os granulócitos, a eritróide inclui os eritrócitos e trombócitos, e a linfóide
632 inclui os linfócitos B e T.

633

634

635 Considerando-se o que foi abordado, esta tese foi desenvolvida de modo a avaliar
636 o desenvolvimento do sistema imune do linguado *P. orbignyanus* sob as perspectivas
637 histológica e molecular, além das características morfológicas das células sanguíneas
638 desta espécie, de modo a ampliar o conhecimento biológico que vem sendo obtido e
639 melhorar o pacote tecnológico para o cultivo do linguado, reduzindo as taxas de
640 mortalidade no início do desenvolvimento e possibilitando melhora no crescimento e
641 engorda. Este trabalho também visa oferecer conhecimento básico sobre a maturação do
642 sistema imune para que seja possível desenvolver e utilizar ferramentas que diminuam a
643 susceptibilidade dos animais a patógenos e doenças, como vacinas e imunoestimulantes,
644 além de facilitar o diagnóstico de condições patológicas através do conhecimento da
645 histologia normal dos órgãos relacionados ao sistema imune e do perfil sanguíneo da
646 espécie.

647

648

649 **OBJETIVOS**

650

651 **OBJETIVO GERAL**

652 Este trabalho teve como objetivo estudar características do sistema imune do
653 linguado *Paralichthys orbignyanus* através de histologia e análise da expressão gênica e
654 avaliar a formação do sistema imune inato e adaptativo, bem como as características
655 morfológicas do sangue de adultos, obtendo informações relevantes para melhorar o
656 cultivo desta espécie em cativeiro.

657

658 **OBJETIVOS ESPECÍFICOS**

659 - Descrever o desenvolvimento dos órgãos linfóides em larvas e juvenis do linguado
660 através de histologia;

661 - Isolar, identificar e quantificar a expressão de genes relacionados ao
662 desenvolvimento sistema imune de larvas e juvenis do linguado;

663 - Analisar as características morfológicas do sangue de adultos do linguado.

- 666 **REFERÊNCIAS BIBLIOGRÁFICAS**
- 667
- 668 ALBERTS, B, A JOHNSON, J LEWIS, M RAFF, K ROBERTHS & P WALTER. 2009.
669 Biologia molecular da célula. 5^a edição. Ed. Artmed. 1268 p.
- 670 BATISTA, CR, MA FIGUEIREDO, DV ALMEIDA, LA ROMANO & LF MARINS.
671 2014. Impairment of the Immune System in Gh-Overexpressing Transgenic
672 Zebrafish (*Danio rerio*). Fish Shellfish Immunol., 36: 519-524.
- 673 BIANCHINI, A, W WASIELESKY JR & KC MIRANDA-FILHO. 1996. Toxicity of
674 nitrogenous compounds to juveniles of flatfish *Paralichthys orbignyanus*. Bull. of
675 Environ. Contam. Toxicol., 56: 453-459.
- 676 BIANCHINI, A, RB ROBALDO & LA SAMPAIO. 2010. Cultivo do linguado
677 (*Paralichthys orbignyanus*). In: BALDISSEROTTO, B & LC GOMES. (eds.).
678 Espécies nativas para piscicultura no Brasil. 2 ed. Santa Maria: UFSM.
- 679 CERQUEIRA, VR. 2005. Egg development of *Paralichthys orbignyanus* (Valenciennes,
680 1839). Braz. Arch. Biol. Technol., 48(3): 459-465.
- 681 CORRIPIO-MIYAR, Y, S BIRD, JW TREASURER & CJ SECOMBES. 2007. RAG-1
682 and IgM genes, markers for early development of the immune system in the gadoid
683 haddock, *Melanogrammus aeglefinus*, L. Fish Shellfish Immunol., 23: 71-85.
- 684 COVELLO, JM, S BIRD, RN MORRISON, AR BRIDLE, SC BATTAGLENE, CJ
685 SECOMBES & BF NOWAK. 2013. Isolation of RAG-1 and IgM transcripts from
686 the striped trumper (*Latris lineata*), and their expression as markers for
687 developmental of the adaptive immune response. Fish Shellfish Immunol., 34: 778-
688 788.
- 689 FIGUEIREDO, JL & NA MENEZES. 2000. Manual de peixes marinhos do Sudeste do
690 Brasil. Volume VI. São Paulo: Museu de Zoologia: Universidade de São Paulo.
691 116p.
- 692 FISCHER, U, EO KOPPANG & T NAKANISHI. 2013. Teleost T and NK cell immunity.
693 Fish Shellfish Immunol., 35: 197-206.
- 694 FUJIKI, K, D-H SHIN, M NAKAO & T YANO. 2000. Molecular cloning and expression
695 analysis of carp (*Cyprinus carpio*) interleukin-1 β , high affinity immunoglobulin E
696 Fc receptor γ subunit and serum amyloid A. Fish Shellfish Immunol., 10: 229-242.
- 697 GENTEN, F, E TERWINGHE & A DANGUY. 2009. Atlas of fish histology. USA:
698 Science Publishers. 215p.

- 699 KLOSTERHOFF, MC & LA ROMANO. 2012. Pulse granulomas detected in
700 peritoneum of a wild rainbow trout, *Oncorhynchus mykiss* with acanthocephalan
701 infections. Bull. Eur. Ass. Fish Pathol., 32(2): 63-67.
- 702 LU, X-J, J CHEN, Y-Q HE & Y-H SHI. 2013. Molecular characterization of an IL-1 β
703 gene from ayu, *Plecoglossus altivelus*. Fish Shellfish Immunol., 34: 1253-1259.
- 704 MACCHI, JG, LA ROMANO & HE CHRISTIANSEN. 1992. Melano-Macrophage
705 Centres as Biological Indicators of Environmental Change in Whitemouth Croaker,
706 *Micropogonias furnieri*. J. Fish. Biol., 40: 971-973
- 707 MAGNADÓTTIR, B, S LANGE, S GUDMUNSDOTTIR, J BOGWALD & RA
708 DALMO. 2005. Ontogeny of humoral immune parameters in fish. Fish Shellfish
709 Immunol., 19: 429-439.
- 710 MUNROE, TA. 2006. Family Paralichthyidae. The Living Marine Resources of the
711 Eastern Central Atlantic. FAO Species Identification Guide for Fishery
712 Purposes. Carpenter, K.E. Rome, FAO.
- 713 ØVERGÅRD, A-C, IU FIKSDAL, AH NERLAND & S PATEL. 2011. Expression of T-
714 cell markers during Atlantic halibut (*Hippoglossus hippoglossus* L.) ontogenesis.
715 Dev. Comp. Immunol., 35: 203-213.
- 716 PRABHAKAR, A. 2010. Fish immunology and biotechnology. India: Swastik
717 Publications. 321 p.
- 718 PICCHIETTI, S, L GUERRA, F BUONOCORE, E RANDELLI, AM FAUSTO & L
719 ABELLI. 2009. Lymphocyte differentiation in sea bass thymus: CD4 and CD8-a
720 gene expression studies. Fish Shellfish Immunol., 27(1):50-56.
- 721 ROCHA, AF, CVA CARVALHO & LA SAMPAIO. 2008. Produção de juvenis do
722 linguado *Paralichthys orbignyanus*: efeito da duração do período de co-alimentação
723 durante o desmame. Ciênc. Rural, 38(8): 2334-2338.
- 724 ROMANO, LA. 2008. La inmunohistoquímica como herramienta diagnóstica de
725 enfermedades de los peces. Anales Soc. Cient. Argent., 417: 379-386.
- 726 ROMANO, LA. 2010. El sistema Inmune Inespecífico de los Peces. In: SILVA-SOUZA,
727 AT, MAP LIZAMA & RM TAKEMOTO (eds.) Patología e Sanidad de
728 organismos Aquáticos. ABRAPOA.
- 729 ROMANO LA, V MAROZZI & C ZENOBI. 2004. Utilización de anticuerpos humanos
730 en la marcación de receptores CD3 y CD4 de linfocitos en *Xiphophorus hellerii*.
731 Rev. Soc. Cient. Argent., 43:123-127.

- 732 SAMPAIO, LA, A BIANCHINI & VR CERQUEIRA. 2001. Growth of juvenile
733 Brazilian flounder, *Paralichthys orbignyanus*, cultured at different salinities. J.
734 Appl. Aquac., 11: 67-75.
- 735 SAMPAIO, LA & A BIANCHINI. 2002. Salinity effects on osmoregulation and growth
736 of the euryhaline flounder *Paralichthys orbignyanus*. J. Exp. Mar. Biol. Ecol., 269:
737 187-196.
- 738 SAMPAIO, LA, LS FREITAS, MH OKAMOTO, LR LOUZADA, RV RODRIGUES &
739 RB ROBALDO. 2007. Effects of salinity on Brazilian flounder *Paralichthys*
740 *orbignyanus* from fertilization to juvenile settlement. Aquac., 262: 340-346.
- 741 SAMPAIO, LA, RB ROBALDO & A BIANCHINI. 2008. Hormone-induced ovulation,
742 natural spawning and larviculture of Brazilian flounder *Paralichthys orbignyanus*
743 (Valenciennes, 1839). Aquac. Res., 39: 712-717.
- 744 SECOMBES, CJ, J ZOU, DG DANIELS, C CUNNINGHAM, A KOUSSOUNADIS &
745 G KEMP. 1998. Rainbow trout cytokine and cytokine genes. Immunol. Rev., 166:
746 333-340.
- 747 SECOMBES, CJ, T WANG & S BIRD. 2011. The interleukins of fish. Dev. Comp.
748 Immunol., 35: 1336-1345.
- 749 SUN, X-F, N SHANG, W HU, Y-P WANG & Q-L GUO. 2007. Molecular
750 characterization of carp (*Cyprinus carpio* L.) CD8 β and CD4-like genes. Fish
751 Shellfish Immunol., 23: 1242-1255.
- 752 SWAIN, P & SK NAYAK. 2009. Role of maternally derived immunity in fish. Fish
753 Shellfish Immunol., 27:89-99.
- 754 TODA, H, Y SAITO, T KOIKE, F TAKIZAWA, K ARAKI, T YABU, T SOMAMOTO,
755 H SUETAKE, Y SUZUKI, M OTOTAKE, T MORITOMO & T NAKANISHI.
756 2011. Conservation of characteristics and functions of CD4 positive lymphocytes
757 in a teleost fish. Dev. Comp. Immunol., 35: 650-660.
- 758 WASIELESKY JR, W, A BIANCHINI, MH SANTOS & LH POERSCH. 1997.
759 Tolerance of juvenile flatfish *Paralichthys orbignyanus* to acid stress. J. World
760 Aquac. Soc., 28: 202-204.
- 761 WASIELESKY JR, W, KC MIRANDA-FILHO & A BIANCHINI. 1998. Tolerancia a la
762 temperatura de juveniles de lenguado *Paralichthys orbignyanus*. Frente Marít., 17:
763 43-48.
- 764 WILLETT, CE, AG ZAPATA, N HOPKINS & STEINER. 1997. Expression of zebrafish
765 rag genes during early development identifies the thymus. Dev. Biol., 182: 331-341.

- 766 ZHANG, S, Z WANG & H WANG. 2013. Maternal immunity in fish. Dev. Comp.
767 Immunol., 39:72-78.
- 768 ZHU, L, L NIE, G ZHU, L XIANG & J-Z SHAO. 2013. Advances in research of fish
769 immune-relevant genes: A comparative overview of innate and adaptive immunity
770 in teleosts. Dev. Comp. Immunol., 39: 39-62.
- 771

772

CAPÍTULO 1

773

774

775

776

777

778

779

780

781

782

783

784 **Development of the Lymphoid Organs of Larvae and Juvenile of the Brazilian
785 Flounder Paralichthys orbignyanus (Teleostei: Paralichthyidae)**

786

787 Emeline P. Gusmão, Martin Bessonart, Luis A. Romano, Luís A. Sampaio

788

789

790

791

792 Artigo submetido a Journal of the World Aquaculture Society

793

794

Development of the Lymphoid Organs of Larvae and Juvenile of the Brazilian Flounder *Paralichthys orbignyanus* (Teleostei: Paralichthyidae)

Abstract

The Brazilian flounder *Paralichthys orbignyanus* (Valenciennes, 1839) has a great commercial value and potential for aquaculture activities in southern Brazil. Protocols for reproduction and larviculture in captivity have already been well defined for this species, though the larval rearing is still marked by high and variable mortality rates. This paper examines the development of lymphoid organs in larvae and juveniles of *P. orbignyanus* in order to improve the technological package that is being developed for the species. Larvae provenient from artificial fertilization of wild broodstock were obtained in laboratory and the hatchery was held with constant aeration, illumination and temperature of 24 C. Larvae and juvenile were fed with rotifers and *Artemia*, which were gradually replaced by dry feed. Samples of larvae and juvenile from 0 to 50 days after hatching (dah) were fixed in Bouin's liquid, parafin embedded, sectioned and stained with hematoxylin-eosin. The analysis under light microscopy showed that the lymphoid organs of *P. orbignyanus* appeared in the following sequence: kidney (1 dah), thymus (5 dah) and spleen (10 dah). The thymus was initially composed of lymphoblasts and thymocytes were observed at 20-25 dah, with a distinction between cortex and medulla being observed after 35 dah. Lymphohemopoietic tissue was not observed in the head kidney until 25 dah, when the spleen also became erythroid. Melanomacrophage centers were observed in both kidney and spleen after 50 dah. Knowledge about the immune system of larvae and juvenile of *P. orbignyanus* will help enhance the production and survival rates through the use of vaccines and immunostimulants.

828 The Brazilian flounder Paralichthys orbignyanus belongs to the family
829 Paralichthyidae (order Pleuronectiformes) and usually occurs near estuarine regions.
830 This species is distributed from the coast of the State of Rio de Janeiro, Brazil, to Mar
831 del Plata, Argentina (Figueiredo and Menezes 2000) and is the largest flatfish species in
832 southern Brazil, which reinforces its commercial value and, therefore, its potential for
833 aquaculture. Several studies have been conducted on the biology and the viability of the
834 species for aquaculture, with already defined protocols for reproduction and larviculture
835 in captivity (Cerdeira 2005; Bianchini et al. 2010).

836 The major lymphoid organs in fish – thymus, spleen and kidney – are important to
837 the development of innate and acquired immune responses during the life cycle of
838 organisms (Bowden et al. 2005; Magnadóttir et al. 2005). Extensive investigations have
839 been conducted on the ontogeny of lymphoid organs of important commercial species –
840 e.g. Salmo salar (Ellis 1977), Sparus aurata (Josefsson and Tatner 1993), Danio rerio
841 (Danilova et al. 2004), Thunnus orientalis (Watts et al. 2003), Dicentrarchus labrax
842 (Santos et al. 2000), Ictalurus punctatus (Petrie-Hanson and Ainsworth 2001), among
843 others. However, the identification of early hematopoietic lymphoepithelial sites, the
844 origin of B and T lymphocytes and the acquisition of complete immune capabilities
845 remain unclear (Zapata et al. 2006).

846 Fish diseases are a constant problem in aquaculture and may be caused by viruses,
847 bacteria, protozoa, parasites, nutritional deficiencies or stress and lead to several
848 economic losses around the world, especially in intensive farming systems (Hetch and
849 Endemann 1998; Bondad-Reantaso et al. 2005; Subasinghe 2005; Nowak 2007). The
850 treatment of fish diseases presents several difficulties, as the use of antibiotics is
851 emergency only and may be harmful for the environment and for humans (Hair 1998;
852 Alderman and Hastings 2006).

853 No reports in the literature can be found about the ontogeny of the lymphoid
854 organs of the Brazilian flounder. In order to improve therapeutic and prophylactic
855 measures in the rearing systems, an understanding of the larval fish immune system is
856 an essential pre-requisite to the use of disease-specific vaccines (Chantanachookhin et
857 al. 1991). Though the knowledge about the species mentioned above is of great
858 importance to their possible use in aquaculture, their larval rearing is still marked by
859 high and variable mortality rates, which makes final survival results rather
860 unpredictable. Therefore, this paper examines the development of lymphoid in larvae

861 and juveniles of the Brazilian flounder P. orbignyanus in order to improve the
862 technological package that is being developed in the region.

863

864

865 **Material and Methods**

866

867 Wild broodstock of Brazilian flounder were caught by artisanal fisheries at
868 Cassino Beach ($32^{\circ}30'S$, $52^{\circ}30'W$, Rio Grande, RS, Brazil) and maintained in the
869 Laboratory of Estuarine and Marine Fish Culture of the Federal University of Rio
870 Grande (FURG). All adults in the fertilization trials were acclimated to salinity 35 and
871 were used only once. Females with oocyte diameter larger than 400 μm were induced to
872 spawn with carp pituitary extract (3 mg/kg) and they were maintained individually in
873 tanks with 180 L of seawater at 23 C. They were ready for stripping 24 to 36 h after the
874 hormone was injected. Artificial fertilization was performed with a dry method
875 according to Sampaio et al. (2008). The hatchery was held in 15 L tanks with constant
876 aeration, temperature of 24 C, salinity between 25 and 30 and constant illumination.
877 The larvae were fed with rotifers (Brachionus plicatilis) and Artemia nauplii during the
878 first 30 days after hatching (dah), which were gradually replaced by artificial diet from
879 30 dah onwards (Rocha et al. 2008).

880 Larvae and juvenile of P. orbignyanus provenient from two artificial fertilizations
881 (0 to 10, 15, 20, 25, 30, 40 and 50 dah; n = 10 per age) were euthanized with benzocaine
882 (30 ppm) and fixed in Bouin's liquid. Whole larvae were embedded sagitally in paraffin
883 through routine histological processing, sectioned (3-5 μm) and stained with
884 hematoxylin-eosin. Lymphoid tissues were analyzed under optic microscopy (Olympus
885 BH-2) and photographed with a digital camera.

886

887

888 **Results**

889

890 The mean length of the larvae and juvenile of P. orbignyanus are shown in Table
891 1. The length of newly-hatched larvae was xxx and xxx when they were 50 days old.
892 The lymphoid organs appeared in the following sequence: kidney, thymus and spleen in
the flounder (1, 5 and 10 dah) (Table 2).

893 The thymus is a paired organ located dorso-posteriorly in the pharyngeal cavity.
894 This organ seems to face the anterior kidney and no cell “barriers” were observed
895 between these organs in all fish examined. In the Brazilian flounder (Fig. 1A), the
896 thymus is surrounded by the pharyngeal epithelial monolayer. Later, the pharyngeal
897 epithelium encapsulates the thymus (Fig. 1B), with few mucous cells and more layers of
898 epithelial cells.

899 The thymus is initially composed of large basophilic cells, the lymphoblasts,
900 which were strongly stained undifferentiated cells in all fish examined. Thymocytes
901 were observed between 20 and 25 dah in the flounder. Zones were distinguishable in the
902 thymus of flounder by 20 dah. These zones were differentiated into an outer cortex with
903 small packed lymphocytes, and an inner medulla with epithelioid-type cells. After 50
904 dah, Hassal-like corpuscles and myoid cells were occasionally observed in the
905 medullary zone of the thymus of the flounder. This organ showed an increase in size
906 and volume through the development, becoming an elongated organ across the dorsal
907 posterior branchial cavity.

908 The kidney initially consisted of a simple tube, running along the notochord and
909 opening to the anus, with no lymphohemopoietic tissue present. Few undifferentiated
910 stem cells (larger cells with prominent nucleus) began to appear among the tubules and
911 at 25 dah in the flounder (Fig. 1C). These cells were clearly visible and became darker
912 and smaller, probably indicating the occurrence of lymphopoiesis. The proportion of
913 lymphohemopoietic tissue increased, particularly at the pronephros or anterior kidney.
914 The mesophros or trunk kidney became mainly excretory, occupied by tubules and
915 erythrocytes (Fig. 1D). Melano-macrophages could be seen in the kidney of flounder
916 around 35 dah.

917 The spleen initially consisted of a small cluster of mesenchymal cells and blood
918 capillaries adjacent to the gut and pancreas (Fig. 1E). The spleen of flounder became
919 erythroid by 25 dah. Melano-macrophage centers (MMCs) were observed at 50 dah
920 (Fig. 1F). The spleen increased rapidly in size and volume, acquiring an elliptical shape,
921 and no obvious white pulp and red pulp could be observed.

922

923 Discussion

924

925 The sequence of development of lymphoid organs (kidney, spleen and thymus) is
926 similar to most marine teleost fish reported in the literature (Table 1)

927 (Chantanachookhin et al. 1991; Josefsson and Tatner 1993; Padrós and Crespo 1996;
928 Watts et al. 2003). However, in the Brazilian flounder, the thymus was formed prior to
929 the appearance of the spleen, which was also observed in *Hippoglossus hippoglossus*
930 (Patel et al. 2009) and some freshwater fish (Padrós and Crespo, 1996). In contrast,
931 some marine species have been reported to have a different order of organ development
932 (Patel et al. 2009). The differences in the embryonic and larval stages during the
933 development of these species could explain the variation observed in the ontogenetic
934 sequence of lymphoid organ development.

935 The maturation of the thymus and kidney may be associated with the timing of
936 first feeding, which can be also the first exposure to potential pathogens
937 (Chantanachookhin et al. 1991). The embryonic stage of the flounder is not long when
938 compared to the other species, so that larvae systems are not fully developed at the
939 moment of the hatching. The digestive tract of flounder larvae is only opened by 3 or 4
940 dah. A few days after the first feeding stage, the thymus can be observed in a strategic
941 localization at the dorso-posterior region of the pharyngeal cavity. For this species, the
942 exposure to environmental antigens occurs too early in development for the adaptive
943 immune system to be functional. Therefore, the larvae must rely on non-specific and
944 maternal transfer of antibodies (Patel et al. 2009).

945 The maturity of the immune system is marked by the presence of mature T- and
946 B-cells and antigen-presenting cells. However, histological studies are indirect
947 assessments, as appearance does not necessarily correlate with maturity (Zapata et al.
948 1997). It is difficult to differentiate T- and B-cells through classical histology, because
949 specific monoclonal antibodies are required for their identification. However, it is likely
950 that the thymus is the primary lymphoid organ for T-cells and the anterior kidney is the
951 primary lymphoid organ for B-cells, as suggested for most other species (Grontvedt and
952 Espelid 2003). It is not possible to tell from these studies in which of these organs (or
953 both) the stem cells originate (Watts et al. 2003). Due to variations in the methods
954 employed to study development, direct comparison between different species is
955 difficult. These variations can also be caused by several biological factors, especially
956 those affecting development during the early life stages (Patel et al. 2009).

957 In terms of lymphoid development, the thymus became lymphoid before the
958 kidney, though more research with immunohistochemistry and gene expression are
959 being developed to effectively determine when the thymic lymphocytes become
960 immunocompetent. The development and maturation of the thymus and its

961 differentiation into cortex and medulla varies among fish species. Differentiation of the
962 thymus into distinct zones has been observed in species such as Atlantic cod (Schroeder
963 et al. 1998), turbot (Padrós and Crespo 1996) and sea bass (Santos et al. 2000). Watts et
964 al. (2003) stated that lymphocytes require stromal epithelial and dendritic cells in the
965 thymus to become immunocompetent. As epithelioid cells appeared and distinct zones
966 began to differentiate by 25 dah in the flounder, the microenvironment necessary for the
967 ativation of lymphocytes might be present and these results are in agreement with those
968 mentioned above.

969 The thin covering of pharingeal epithelium in the early thymus of flounder may
970 directly expose this organ to antigens, as observed by other researchers (Watts et al.
971 2003). However, the thymic epithelium observed in juveniles may function as an
972 effective antigen barrier, as observed by Castillo et al. (1998) in the rainbow trout. This
973 epithelium may have an antibody-secreting role, though more studies are necessary to
974 be developed about its origin and role in the thymus development.

975 The thymus did not involute along the study period in all fish examined. Liu et al.
976 (2004) reported, in the Japanese flounder *P. olivaceus*, an early involution of the thymus
977 by seven months after hatching, though the flounder matures at about three years old.
978 Factors such as age, season, environmental stress and hormonal cycles could affect the
979 thymus involution (Liu et al. 2004). Thus, a longer study would be necessary to
980 determine the period of thymic involution of the species in this study and the factors
981 that influence this involution.

982 The excretory kidney was the first organ to appear in this study. Lympho-
983 hemopoietic cells were only observed later in the development of flounder. This would
984 give support to the hypothesis that pronephritic stem cells colonize the thymic
985 primordium and then undergo differentiation (Ellis 1977; Padrós and Crespo 1996). In
986 contrast, the appearance of lympho-hemopoietic tissue in the pronephros after the
987 thymus is observed is controversial and the reasons for this variation remain unclear.
988 The head kidney is an important hemopoietic and lymphoid organ in fish, and a major
989 source of antibody producing cells, which is corroborated by the increase in size and
990 volume of the pronephros in all fish examined, and a clear distinction between
991 pronephros and mesonephros, which is essentially excretory.

992 The spleen acts processing, storing and maturing erythrocytes, neutrophils and
993 granulocytes (Cunha et al. 2008). This organ remained mainly erythroid throughout the
994 period studied. The antigen-trapping function, evidenced by the high degree of

995 vascularization, was noted in this study. According to Chantanachookhin et al. (1991),
996 an earlier development of the spleen suggests that this organ may possibly have a
997 phagocytic function before immunocompetence is attained. The fish spleen can be
998 divided into red and white pulp, however this division was not observed in this study. In
999 addition, melanomacrophage centers and lymphocytes in association with blood vessels
1000 were observed at the later stages in all fish examined, suggesting a fully operational
1001 immune system (Press and Evensen 1999).

1002 For aquaculture activities, it is important to estimate the correct age for the use of
1003 vaccines, and the emergence of acquired immunity is evidenced by the appearance of B
1004 lymphocytes (Heppel and Davis 2000). Before this time, the innate defense offer better
1005 protection for fish (Rombout et al. 2005). It is necessary to know when the fish begin to
1006 have acquired immune response, so that the vaccines may be effective (Heppel and
1007 Davis 2000; Mulero et al. 2008; Tonheim et al. 2008). As tolerance to certain antigens
1008 can occur, an early vaccination is not advisable (Padrós and Crespo, 1996). In this
1009 study, the lymphoid organs of *P. orbignyanus* started to appear at 5 dah, and lymphoid
1010 cells were observed in these organs after 25 dah, which suggests that after this period it
1011 may be possible to vaccinate juvenile without the risk of acquiring tolerance. Taking
1012 into account that immunocompetence during the early life of the larvae relies mainly on
1013 non-specific defense mechanisms, the correct age when the immune system is fully
1014 functional and the possibility of enhancing innate mechanisms before this moment in
1015 this species through immunostimulants should be investigated.

1016

1017 Acknowledgments

1018 L. Romano and L.A. Sampaio received productivity and research fellowships
1019 from the Brazilian Council of Research, CNPq (Process number PQ 301002/2012-6 and
1020 308014/2009-3).

1021

1022 References

1023

1024 Alderman, D. J. and T. S. Hastings. 1998. Antibiotic use in aquaculture: development of
1025 antibiotic resistance – potential for consumer health risks. International Journal of
1026 Food Science and Technology, 33:139-155.

- 1027 Bianchini, A., R. B. Robaldo and L. A. Sampaio. 2010. Cultivo do linguado
1028 (Paralichthys orbignyanus). In B. Baldisserotto and L.C. Gomes, editors. Espécies
1029 nativas para piscicultura no Brasil. 2 ed. Santa Maria: UFSM.
- 1030 Bondad-Reantaso, M. G., R. P. Subasinghe, J. R. Arthur, K. Ogawa, S. Chinabut, R.
1031 Adlard, Z. Tan and M. Shariff. 2005. Disease and health management in Asian
1032 aquaculture. Veterinary Parasitology 132:249-272.
- 1033 Bowden, T. J., P. Cook and J. H. W. M. Rombout. 2005. Development and function of
1034 the thymus in teleosts. Fish & Shellfish Immunology 19:413-27.
- 1035 Castillo, A., B. Razquin, A. J. Villena, A. G. Zapata and P. Lopez-Fierro. 1998. Thymic
1036 barriers to antigen entry during the post-hatching development of the thymus of
1037 rainbow trout, Oncorhynchus mykiss. Fish & Shellfish Immunology 8:157-170.
- 1038 Cerqueira, V. R. 2005. Egg development of Paralichthys orbignyanus (Valenciennes,
1039 1839). Brazilian Archives of Biology and Technology 48(3):459-465.
- 1040 Chantanachookhin, C., T. Seikai and M. Tanaka. 1991. Comparative study of the
1041 ontogeny of the lymphoid organs in three species of marine fish. Aquaculture
1042 99:143-155.
- 1043 Cunha, M. C.; Makridis, P.; Soares, F.; Rodrigues P.; Dinis, M. T. 2008. Timing of
1044 appearance of lymphoid cells during early development of Senegalese sole, Solea
1045 senegalensis Kaup. Journal of the World Aquaculture Society 39: 436-439.
- 1046 Danilova, N., V. S. Hohman, F. Sacher, T. Ota, C. E. Willett and L. A. Steiner. 2004. T
1047 cells and the thymus in developing zebrafish. Developmental and Comparative
1048 Immunology 28:755-767.
- 1049 Ellis, A. E. 1977. Ontogeny of the immune response in Salmo salar. Histogenesis of the
1050 lymphoid organs and appearance of membrane immunoglobulin and mixed
1051 leucocyte reactivity. Pages 225-232 in J.B. Soloman and J.B. Horton, editors.
1052 Developmental immunobiology. Proceedings of the symposium on developmental
1053 immunobiology held in Aberdeen 5–9 Sept. Amsterdam: Elsevier/North-holland
1054 Biochemical Press.
- 1055 Figueiredo, J. L. and N. A. Menezes. 2000. Manual de peixes marinhos do Sudeste do
1056 Brasil. Volume VI. São Paulo: Museu de Zoologia: Universidade de São Paulo.
- 1057 Grøntvedt, R. N. and S. Espelid. 2003. Immunoglobulin producing cells in the spotted
1058 wolffish (Anarhichas minor Olafsen): localization in adults. Developmental and
1059 Comparative Immunology 27:569-578.

- 1060 Hachero-Cruzado, I., J. B. Ortiz-Delgado, B. Borrega, M. Herrera, J. I. Navas and C.
1061 Sarasquete. 2009. Larval organogenesis of flatfish brill *Scophthalmus rhombus* L:
1062 Histological and histochemical aspects. Aquaculture 286:138-149.
- 1063 Hecht, T. and F. Endemann. 1998. The impact of parasites, infections and diseases on
1064 the development of aquaculture in sub-Saharan Africa. Journal of Applied
1065 Ichthyology 14:213-221.
- 1066 Heppel, J. and J. L. Davis. 2000. Application of DNA vaccine technology to
1067 aquaculture. Advanced Drug Delivery Reviews 43:29-43.
- 1068 Josefsson, S. and M. F. Tatner. 1993. Histogenesis of the lymphoid organs in sea bream
1069 (*Sparus aurata* L.). Fish & Shellfish Immunology 3:35-49.
- 1070 Kato, K., K. Ishimaru, Y. Sawada, J. Mutsuro, S. Miyashita, O. Murata and H. Kumai.
1071 2004. Ontogeny of digestive and immune system organs of larval and juvenile
1072 kelp grouper *Epinephelus bruneus* reared in the laboratory. Fisheries Science
1073 70:1061-1069.
- 1074 Liu, Y., S. Zhang, G. Jiang, D. Yang, J. Lian and Y. Yang. 2004. The development of
1075 lymphoid organs of flounder, *Paralichthys olivaceus*, from hatching to 13 months.
1076 Fish & Shellfish Immunology 16:621-632.
- 1077 Magnadóttir, B., S. Lange, S. Guðmundsdóttir, J. Bogwald and R. A. Dalmo. 2005.
1078 Ontogeny of humoral immune parameters in fish. Fish & Shellfish Immunology
1079 19:429-439.
- 1080 Mulero, I., M. P. Sepulcre, I. Fuentes, I. García-Alcázar, J. Meseguer, A. García-Ayala
1081 and V. Mulero. 2008. Vaccination of larvae of the bony fish gilthead seabream
1082 reveals a lack of correlation between lymphocyte development and adaptive
1083 immunocompetence. Molecular Immunology 45:2981-2989.
- 1084 O'Neill, J. G. 1989. Ontogeny of the lymphoid organ in an Antarctic teleost, *Harpagifer*
1085 *antarcticus* (Notothenioidei: Perciformes). Developmental and Comparative
1086 Immunology 13:25-33.
- 1087 Padrós, F. and S. Crespo. 1996. Ontogeny of lymphoid organs in the turbot
1088 *Scophthalmus maximus*: a light and electron microscope study. Aquaculture
1089 144:1-16.
- 1090 Patel, S., E. Sorhus, I. U. Fiksdal, P. G. Espedal, O. Bergh, O. M. Rodseth, H. C.
1091 Morton and A. H. Nerland. 2009. Ontogeny of lymphoid organs and development
1092 of IgM-bearing cells in Atlantic halibut (*Hippoglossus hippoglossus* L.). Fish &
1093 Shellfish Immunology 26:385-395.

- 1094 Petrie-Hanson, L. and A. J. Ainsworth. 2001. Ontogeny of channel catfish lymphoid
1095 organs. Veterinary Immunology and Immunopathology 81:113-127.
- 1096 Press, C. and O. Evensen. 1999. The morphology of the immune system in teleost
1097 fishes. Fish & Shellfish Immunology 9:309-318.
- 1098 Rocha, A. F., C. V. A. Carvalho and L. A. Sampaio. 2008. Produção de juvenis do
1099 linguado Paralichthys orbignyanus: efeito da duração do período de co-
1100 alimentação durante o desmame. Ciência Rural 38(8):2334-2338.
- 1101 Romano, N., M. Fanelli, G. M. Papa, G. Scapigliati and L. Mastrolia. 1999. Histological
1102 and cytological studies on the developing thymus of sharpsnout seabream,
1103 Diplodus puntazzo. Journal of Anatomy 194:39-50.
- 1104 Rombout, J. H. W. M., H. B. T. Huttenhuis, S. Picchietti and G. Scapigliati. 2005.
1105 Phylogeny and ontogeny of fish leucocytes. Fish & Shellfish Immunology
1106 19:441-455.
- 1107 Sampaio, L. A., R. B. Robaldo and A. Bianchini. 2008. Hormone-induced ovulation,
1108 natural spawning and larviculture of Brazilian flounder Paralichthys orbignyanus
1109 (Valenciennes, 1839). Aquaculture Research, 39:712-717.
- 1110 Santos, N. M. S., N. Romano, M. Sousa, A. E. Ellis and J. H. W. M. Rombout. 2000.
1111 Ontogeny of B and T cells in sea bass (Dicentrarchus labrax L.). Fish & Shellfish
1112 Immunology 10:583-596.
- 1113 Schroeder, M. B., A. J. Villena and T. O. Jorgensen. 1998. Ontogeny of lymphoid
1114 organs and immunoglobulin producing cells in Atlantic cod (Gadus morhua L.).
1115 Developmental and Comparative Immunology 22(5-6):507-517.
- 1116 Tonheim, T. C., J. Bogwald and R. A. Dalmo. 2008. What happens to DNA vaccine in
1117 fish? A review of current knowledge. Fish & Shellfish Immunology 25:1-18.
- 1118 Watts, M., K. Kato, B. L. Munday and C. M. Burke. 2003. Ontogeny of immune system
1119 organs in northern bluefin tuna (Thunnus orientalis, Temminck nd Schlegel 1844).
1120 Aquaculture Research 34:13-21.
- 1121 Zapata, A. G., M. Torroba, A. Varas and E. Jiminez. 1997. Immunity in fish larvae.
1122 Pages 23-32 in R. Gudding, A. Lillehaug, P. J. Midtlyng and P. J. Brown. Fish
1123 Vaccinology KArger, Basle.
- 1124 Zapata, A., B. Diez, T. Cejalvo, C. Gutiérrez-De Frías and A. Cortés. 2006. Ontogeny
1125 of the immune system of fish. Fish & Shellfish Immunology 20:126-136.
- 1126

1127 Table 1. Mean length of *Paralichthys orbignyanus* larvae and juvenile from 0 (newly-
1128 hatched larvae) to 50 days after hatching (dah). Data are presented as mean \pm standard
1129 error.

Age (dah)	Length (mm)
0	1,671 \pm 0,014
2	2,556 \pm 0,015
3	2,725 \pm 0,014
4	2,841 \pm 0,033
5	2,797 \pm 0,069
6	3,041 \pm 0,105
7	3,241 \pm 0,032
8	3,606 \pm 0,074
9	3,880 \pm 0,077
10	4,092 \pm 0,083
15	4,839 \pm 0,113
20	6,762 \pm 0,260
25	7,982 \pm 0,119
30	8,247 \pm 0,188
35	8,397 \pm 0,310
40	10,079 \pm 0,363
45	12,098 \pm 0,679
50	16,333 \pm 0,929

1130
1131
1132
1133
1134
1135
1136
1137
1138

1139 Table 2. Development in days after hatching of the immune organs of some marine
 1140 teleost fish. A = appearance, L = lymphocytes distinguished.

Species	Kidney		Spleen		Thymus		Reference
	A	L	A	L	A	L	
<u>Seriola quinqueradiata</u>	1	26	3	30	11	20	Chantanachookhin et al. (1991)
<u>Pagrus major</u>	0	31	3	36	11	22	Chantanachookhin et al. (1991)
<u>Paralichthys olivaceus</u>	7	28	8	30	10	21	Chantanachookhin et al. (1991) Liu et al. (2004)
<u>Scophthalmus maximus</u>	0	-	9-	-	16	-	Padrós & Crespo (1996)
				10			
<u>Sparus aurata</u>	1	45-	12	-	22-29	29-	Josefsson & Tatner (1993)
		47				47	
<u>Solea senegalensis</u>	3	6	6	121	9	-	Cunha et al (2008)
<u>Hippoglossus</u>	0	40-	59	-	27	41	Patel et al. (2009)
<u>hippoglossus</u>		45					
<u>Scophthalmus rhombus</u>	1	10-	2	-	-	-	Hachero-Cruzado et al. (2009)
		12					
<u>Gadus morhua</u>	-	5	6-	-	28	-	Schroeder et al. (1998)
			21				
<u>Diplodus puntazzo</u>	-	-	-	-	20	51	Romano et al. (1999)
<u>Harpagifer antarcticus</u>	1	-	21-	-	21-28	-	O'Neill (1989)
			28				
<u>Thunnus orientalis</u>	1	7	2	30	5	7	Watts et al. (2003)
<u>Epinephelus bruneus</u>	1	30	6	33	12	21	Kato et al. (2004)
<u>Paralichthys orbignyanus</u>	1	25	10	-	5	15-	This study
					20		

1141

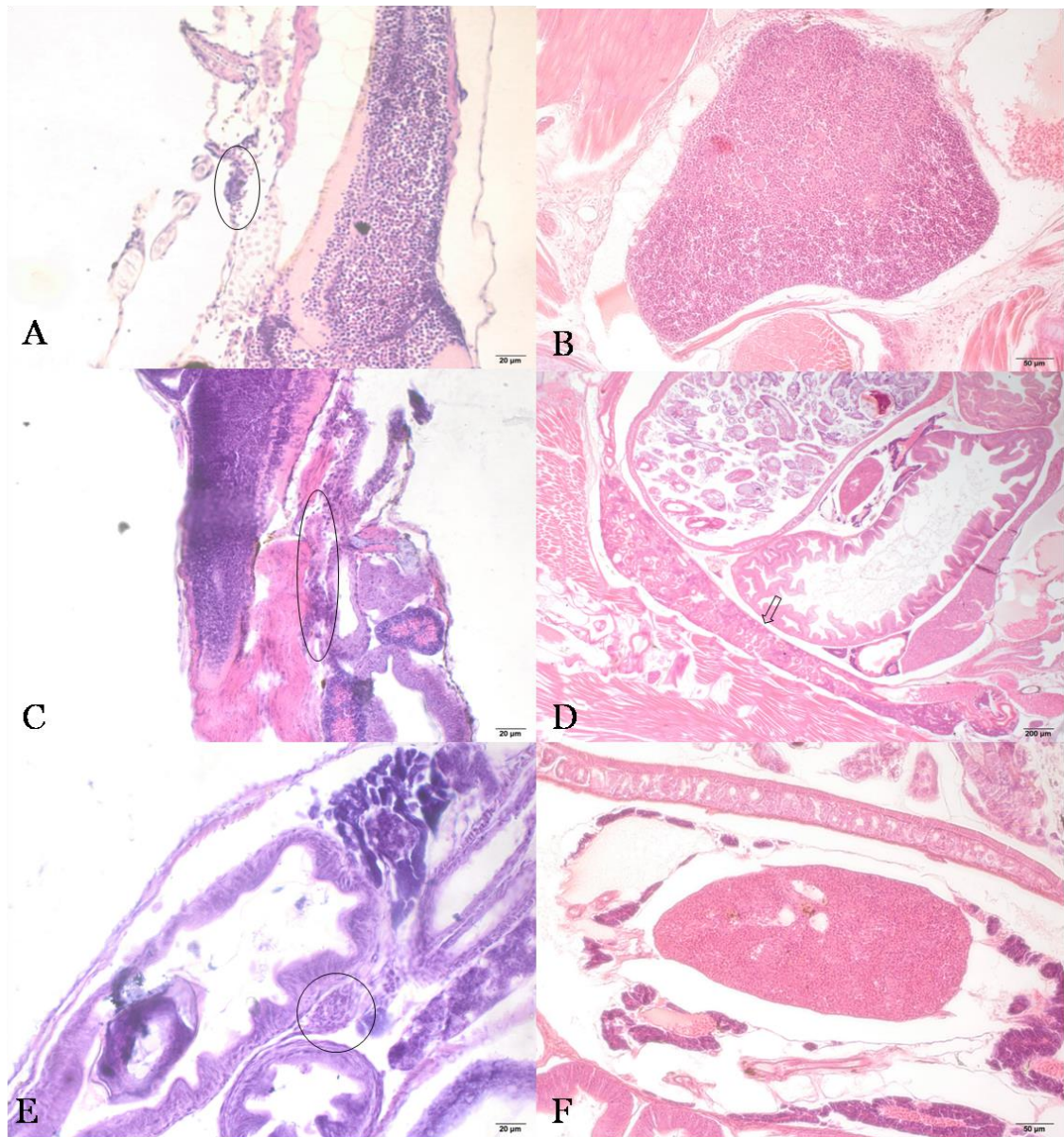
1142

1143

1144

1145

1146



1147

1148

1149 Figure 1. Lymphoid organs of larvae and juvenile of Paralichthys orbignyanus. A.
 1150 Primordial thymus at 5 dah. (Scale bar: 20 μ m). B. Thymus at 50 dah, with distinct
 1151 inner (with myoid eosinophilic cells) and outer (more basophilic) zones (Scale bar: 50
 1152 μ m). C. Kidney at 4 dah, with only a renal tubule (Scale bar: 20 μ m). D. Kdney at 50
 1153 dah, remarkably differentiated into pronephros (anterior kidney) and mesonephros
 1154 (trunk kidney) (Scale bar: 200 μ m). E. Spleen at 10 dah (Scale bar: 20 μ m). F. Spleen at
 1155 50 dah, with MMCs and sinusoid capillaries (Scale bar: 50 μ m).

1156

1157

1158

1159

1160

1161

1162

CAPÍTULO 2

1163

1164

1165

1166

1167

1168

1169

1170

11/1

1172

1173

Expression of immune-related genes during the early stages of Brazilian flounder (*Paralichthys orbignyanus*) development

1176

1177 Emeline P. Gusmão, Márcio A. Figueiredo, Marcelo H. Okamoto, Luís A. Sampaio,
1178 Luis F. Marins

1179

1180

1181

1182

1183

1184

1185

1186

1187

1188

1189

1190

1191

1192 **Expression of immune-related genes during the early stages of Brazilian flounder**
1193 (*Paralichthys orbignyanus*) development

1194

1195

1196 **Abstract**

1197 Although the Brazilian flounder *Paralichthys orbignyanus* has great potential for
1198 aquaculture activities, knowledge on the ontogeny of its immune system would be
1199 important to improve the survival and growth in the early stages of development of this
1200 species. If fish are immunized before they are immunocompetent, there is a risk of
1201 inducing immunological tolerance instead of improving their immunity. This study
1202 examines the expression of immune-related genes in larvae and juveniles of the
1203 Brazilian flounder *P. orbignyanus* in order to improve the technological package that is
1204 being developed in the region for this candidate species for aquaculture activities. The
1205 real-time PCR studies and previous histological studies show that the immune system of
1206 the Brazilian flounder starts to develop around 5 days after hatching (dah) with the
1207 appearance of thymus, with the subsequent expression of RAG1 proteins that lead to the
1208 process of V(D)J recombination of the TCR on T cells. TCR, together with CD3, form
1209 the TCR complex that is able to interact with MHC molecules, process that is stabilized
1210 by the CD4 co-receptor on the surface of helper T cells, which interact specifically with
1211 MHC class II molecules. CD3 and CD4-2 mRNA levels are increased at around 30 dah,
1212 suggesting that T lymphocytes, especially helper T cells, are mature and able to
1213 recognize antigens carried by the antigen presenting cells. An increase in the expression
1214 levels of the cytokine IL-1 β at 30 dah also suggests that juveniles at this age can
1215 possibly respond to infection with an inflammatory condition.

1216

1217 **Keywords:** Brazilian flounder; *Paralichthys orbignyanus*; T cell markers; IL-
1218 1 β ; RAG1; development.

1219

1220 **1. Introduction**

1221

1222 The Brazilian flounder *Paralichthys orbignyanus* (Valenciennes, 1842)
1223 (Pleuronectiformes: Paralichthyidae) is distributed from Rio de Janeiro, Brazil, to Mar
1224 del Plata, Argentina (Figueiredo and Menezes, 2000) and usually occurs near estuarine
1225 regions. This is the largest flatfish species in southern Brazil, with a great commercial

1226 value and potential for aquaculture. Studies on the biology and viability of the species
1227 for aquaculture have been conducted in the last decades, such as tolerance to nitrogen
1228 compounds (Bianchini et al., 1996), pH (Wasielesky et al., 1997), temperature
1229 (Wasielesky et al., 1998) and salinity (Sampaio and Bianchini 2002; Sampaio et al.,
1230 2007, 2001). In addition, well-defined protocols for reproduction and larviculture of the
1231 flounder in captivity have been established and improved (Cerqueira, 2005; Rocha et
1232 al., 2008; Sampaio et al., 2008; Bianchini et al., 2010). However, significant mortality
1233 has continuously been recorded at the early stages of development of Brazilian flounder.
1234 Poorly developed larvae at hatching, relatively long live feed stage with inadequate
1235 nutritional quality of prey, metamorphosis and weaning are considered critical factors
1236 for the survival of larvae and juveniles. Nonetheless, although the Brazilian flounder
1237 has great potential for aquaculture activities, knowledge on the ontogeny of its immune
1238 system would be important to improve the survival and growth in the early stages of
1239 development of this species.

1240 The immune organs in teleosts and their development have been widely studied
1241 in different important teleost species for aquaculture (Chantanachookhin et al., 1991;
1242 Josefsson and Tatner, 1993; Padrós and Crespo, 1996; Patel et al., 2009; Romano et al.,
1243 1999; Schroder et al., 1998; Zapata et al., 2006). Fish larvae lack a fully-developed
1244 immune response before their immune system is mature. Most studies on the
1245 development of immune organs in fish have been carried out using histology as the
1246 main technique, showing, for example, the appearance of lymphocytes in a lymphoid
1247 organ. Recently, immune genes were demonstrated to be good markers in the study of
1248 maturity of the immune system and potentially give a more accurate measure of the
1249 initial development of immunocompetence (Corripio-Miyar et al., 2007). Functional
1250 immune activities of teleosts are poorly investigated, or deduced by the close similarity
1251 between immune genes of fish and mammals (Randelli et al., 2008). Immunological
1252 competence of fish leucocytes should be determined on both histological observation of
1253 organ development together with observations on lymphocyte functionality (Zapata et
1254 al., 2006).

1255 In the process of recognizing infected cells, antigen presenting cells and T cells
1256 play important roles in the development of an adequate immune response. The major
1257 histocompatibility complex (MHC) molecules are expressed on the surface of antigen
1258 presenting cells, which interact with T-cell receptors (TCR) on the surface of T
1259 lymphocytes. These molecules, together with CD3 co-receptor, comprise the TCR

1260 complex. The CD3 molecule is found on the membranes of all mature T cells, and in
1261 virtually no other cell type, which makes it a useful immunohistochemical marker for T
1262 cells in tissue sections (Fischer et al., 2013; Øvergård et al., 2009; Park et al., 2001).

1263 T cells can be divided in two major subsets based on the expression of other two
1264 co-receptors that stabilize the TCR/antigen-MHC complex: CD4, carried by the helper
1265 T cells (T4 cells or CD4+ cells), and CD8, carried by cytotoxic T cells (T8 cells or
1266 CD8+ cells) (Øvergård et al., 2011). CD4 binds to the MHC class II molecule to
1267 establish specific immunity, whereas CD8 binds to MHC class I molecule, mediating
1268 the destruction of infected or malignant host cells. The expression of CD4 and CD8 co-
1269 receptors is critical for cell-mediated immune defense and T cell development in the
1270 thymus (Sun et al., 2007). Helper T cells send signals to other types of immune cells,
1271 including cytotoxic T cells (Patel et al., 2009). T cell populations in fish have not been
1272 fully defined because of the lack of suitable markers for T lymphocytes in fish (Laing et
1273 al., 2006).

1274 Mammals possess an enormous repertoire of Ig and TCR proteins to match
1275 antigens from almost all natural pathogens, including bacteria, viruses, parasites, and
1276 also dysfunctional cells such as tumor cells. This repertoire is generated primarily
1277 through a process called V(D)J recombination. V(D)J recombination is a mechanism of
1278 genetic recombination in the early stages of Ig and TCR production, mediated by the
1279 recombination activating gene 1 (RAG1) and 2 (RAG2) (Zhu et al., 2013). RAG1 is
1280 highly regulated, with its expression limited not only to lymphoid-specific cells, but
1281 also to precise stages in the developmental cycle of these cells, and it has been
1282 extensively studied in fish due to its importance in the development of a functional
1283 immune system (Corripio-Miyar et al., 2007; Covello et al., 2013; Huttenhuis et al.,
1284 2005; Øvergård et al., 2011; Willett et al., 1997; Zhu et al., 2013).

1285 Cytokines are important modulators of the vertebrate immune system that helps
1286 both innate and adaptive responses. Interleukin-1 beta (IL-1 β) is a member of the
1287 interleukin 1 family of cytokines and an important mediator of the inflammatory
1288 response, promoting a cascade of reactions that lead to inflammation. IL-1 β is also
1289 involved in the regulation of immune relevant genes, lymphocyte activation, migration
1290 of leucocytes, phagocytosis and bactericidal activities, though it shows more potent
1291 function in humoral immune responses (Zhu et al., 2013). IL-1 β is mainly produced
1292 from monocytes and macrophages and secreted into the circulatory system, expressed at
1293 low levels under normal conditions (Lu et al., 2003). To date, IL-1 β has been cloned

1294 from many species of teleost fish (Corripio-Miyar et al., 2007; Covello et al., 2009;
1295 Fujiki et al., 2000; Secombes et al., 2011).

1296 This study examines the expression of immune-related genes in larvae and
1297 juveniles of the Brazilian flounder *P. orbignyanus* in order to improve the technological
1298 package that is being developed in the region for this candidate species for aquaculture
1299 activities.

1300

1301 **2. Material and methods**

1302

1303 **2.1. Larval rearing**

1304

1305 Wild broodstock of the Brazilian flounder were caught by artisanal fisheries in
1306 Cassino Beach ($32^{\circ}30'S$, $52^{\circ}30'W$, Rio Grande, RS, Brazil) and maintained into the
1307 Laboratory of Estuarine and Marine Fish Culture of the Federal University of Rio
1308 Grande (FURG). Females were induced to spawning using the hormone HCG (250
1309 UI.kg⁻¹), according to Sampaio et al. (2008). The hatchery was held in 15 L with
1310 constant aeration, temperature of 24°C, salinity between 25 and 30 g L⁻¹ and constant
1311 lighting. The larvae were fed with the rotifer *Brachionus plicatilis* during the first 15
1312 days after hatching (dah), along with microalgae (*Nannochloropsis oculata*) – technique
1313 of green water. The rotifer was replaced by *Artemia* sp., and 20 to 30 dah, the live food
1314 was gradually replaced by artificial diet (Rocha et al., 2008).

1315

1316 **2.2. Gene expression analysis**

1317

1318 **2.2.1. Synthesis of the complementary DNA (cDNA)**

1319

1320 Due to the small size of larvae in early development, it was not feasible to
1321 isolate separate organs. Therefore, 5-7 pools of whole larvae and juvenile were collected
1322 to extract total RNA at 3 days after hatching (dae), when the larvae started feeding
1323 exogenously (n = 70); at 10 dae, when the lymphoid organs were histologically
1324 observed (n = 60); at 15 and 30 dae, which corresponded to the beginning and the end
1325 of the metamorphosis (n = 50 and 6, respectively); at 45 dae, when the juvenile were
1326 weaned (n = 3); and at 60 dae (n = 3). Total RNA was extracted using Trizol
1327 (Invitrogen) method according to the manufacturer's instructions, and the integrity was

1328 verified through electrophoresis in agarose gel 1%. The cDNA was confectioned with
1329 High Capacity cDNA Reverse Transcription kit (Applied Biosystems), following the
1330 manufacturer's instructions.

1331

1332 **2.2.2. Isolation of immune-related genes**

1333

1334 Genomic DNA was extracted from back dorsal samples of muscle tissue through
1335 AxyPrep MultiSource Genomic DNA Miniprep kit (Axygen), according to the
1336 manufacturer's instructions. Quality of the DNA was verified through electrophoresis in
1337 agarose gel 1%. A polymerase chain reaction (PCR) using degenerate primers was
1338 performed from the sequences of other flatfish available in GenBank. The sequences of
1339 primers used in this stage are shown in Table 1. The size of the segments expected for
1340 CD3, CD4-2, RAG1 and IL-1 β were 900 bp, 2,000 bp, 600 bp and 1800 bp,
1341 respectively. All PCR reactions of this stage had the final volume of 12.5 μ L, containing
1342 1.25 μ L of 10X PCR buffer, 0.375 μ L MgCl₂ (50 mM), 0.25 μ L of dNTP (10mM), 0.25
1343 μ L of each primer (0.2 mM), 0.5 μ L DNA, 0.1 μ L of Platinum Taq polymerase (5
1344 U/ μ L) (Invitrogen) and 9.525 μ L of Ultra Pure Water (Invitrogen). The program used in
1345 the thermo cycler for the reaction was: 2 min at 94 °C, 30 s at 94 °C, 1 min at 60 °C, 1
1346 min at 72 °C for RAG1 and CD3 or 2.5 min at 72 °C for CD4-2 and IL-1 β , and final
1347 extension of 5 min at 72 °C for RAG-1 and CD3 or 10 min at 72 °C for CD4-2 and IL-
1348 1 β . The number of cycles was 35 for both genes. The product obtained in PCRs was
1349 analyzed by electrophoresis in 1.0% agarose gel with ethidium bromide 0.5 μ g/mL for
1350 confirmation of the expected size. After confirmation, the fragments of DNA were
1351 extracted from the gel and purified according to the protocol suggested by the
1352 manufacturer of the kit GFX PCR DNA and Gel Band Purification (GE Healthcare Life
1353 Sciences), and sequenced. The obtained sequence was submitted to GenBank to
1354 determine the levels of homology with available sequences, with exons/introns
1355 identification. Specific primers CD3, CD4-2, RAG-1 and IL-1 β were designed
1356 according to the obtained sequences and they were used in the analysis of gene
1357 expression by RT-PCR Quantitative Real-time technique. β -actin gene expression was
1358 used as an internal control for data normalization, since previous tests showed no
1359 variation among analyzed groups (data not shown). The sequences of primers used in
1360 that step were built in the software Primer Express 3.0 (Applied Biosystems) and are
1361 shown in Table 1.

1362 **2.2.3. Gene expressions**

1363

1364 The gene expressions of CD3, CD4-2, RAG1 and IL-1 β were quantitatively
1365 analyzed with Real-Time Polymerase Chain Reaction (qRT-PCR), with three repetitions
1366 per sample. The equipment used was 7500 Real-Time PCR System (Applied
1367 Biosystems) with the kit Platinum® SYBR® Green qPCR SuperMix-UDG (Invitrogen)
1368 following the manufacturer's instructions. The efficiency of the reactions was tested
1369 through qPCRs with serial dilutions of all primers (data not shown). The conditions of
1370 qPCR reactions were as follows: 2 min at 50 °C, 2 min at 95 °C, followed by 40 cycles
1371 of 15 s at 95 °C and 30 s at 60 °C. The expression of the genes was normalized using
1372 the housekeeping gene β -actin, which did not show significant differences through the
1373 samples.

1374

1375 **2.2.4. Statistical analysis**

1376

1377 A method of relative quantification was applied to analyze the gene expression
1378 of CD3, CD4-2, RAG1 and IL-1 β , using the software REST (Pfaffl et al., 2002), with
1379 pair comparisons between the ages (3x10, 3x15, 3x30, 3x45, 3x60). The adopted alpha
1380 was 0.05 and results were expressed as median \pm standard error (SE).

1381

1382 **3. Results**

1383

1384 The mean length of newly-hatched larvae of *P. orbignyanus* was 1.780 ± 0.069
1385 mm, reaching 13.111 ± 0.156 mm at 60 dah. The metamorphosis comprised the period
1386 between 15 and 30 dah (Figure 1). With regard to the isolation of genes, sequences were
1387 obtained with 757, 533, 1,446 and 529 pb for CD3, CD4-2, IL-1 β and RAG1 genes,
1388 respectively. Exons/introns were identified for the genes CD3, CD4-2 and IL-1 β ,
1389 whereas the sequence obtained for RAG1 corresponds only to the exon 3 of *P.*
1390 *olivaceus*. Comparisons made with the sequences obtained using the tool Blast from
1391 Genbank pointed to identity indices ranging from 81 to 96% with respect to the
1392 genomic sequences of *P. olivaceus*. Comparisons between exons/introns and sequences
1393 inferred from amino acids were also carried out. Additionally, conserved domains were
1394 identified for CD4-2, IL-1 β 1 and RAG1 (for details, see table 2).

1395 The expression of RAG1, CD3, CD4-2 and IL-1 β genes during early
1396 development was studied by RT-PCR and standardized using the housekeeping gene β -
1397 actin. Figure 2 shows that constitutively low levels (basal levels) of the mRNAs were
1398 detected during the early life stages of the Brazilian flounder, followed by an increase in
1399 mRNA transcripts of all genes observed at different points, from 30 dah and onwards.

1400 RAG1 expression was clearly detected early in the development, though there
1401 was no significant difference from 10 to 30 dah. At 45 dah, RAG-1 expression was
1402 down-regulated, though it increased again and was significantly higher at 60 dah. CD3
1403 and CD4-2 expression patterns were similar, though the levels of CD3 mRNA
1404 transcripts were twice as high as CD4-2 mRNA levels. CD4-2 was down-regulated at
1405 15 dah, however it showed a marked increase from 30 dah onwards. At 45 dah, the
1406 levels of the cytokine IL-1 β were significantly higher than all the other genes analyzed,
1407 with a significant reduction at 60 dah.

1408

1409 **4. Discussion**

1410

1411 In this study, the immune markers RAG1, CD3, CD4-2 and IL-1 β in the early
1412 stages of *P. orbignyanus* development were analyzed. The data obtained in this study
1413 are similar to the expression patterns observed in higher vertebrates and other fish
1414 species (Corripi-Miyar et al., 2007; Covello et al., 2013; Huttenhuis et al., 2005;
1415 Øvergård et al., 2011). In this study, the expression levels of all genes were related to 3
1416 dah mRNA levels, in order to avoid interference of maternally transferred material, as
1417 the larvae hatch with a yolk-sac and their first feeding is only at 3 dah.

1418 According to Corripi-Miyar et al. (2007), the development of immune organs in
1419 marine fish depends on a variety of factors, including water temperature, egg size and
1420 length of the yolk sac period. Previous histological studies on the lymphoid organs of
1421 the Brazilian flounder (data submitted for publication) showed that they appeared in the
1422 following sequence: kidney (1 dah), thymus (5 dah) and spleen (10 dah). The thymus
1423 was initially composed of lymphoblasts and thymocytes could be observed in the
1424 thymus at 20-25 dah. A distinction between cortex and medulla was not clear in the
1425 histological sections until 35 dah.

1426 The PCRs held from genomic DNA enabled the identification of exons and
1427 introns in three of the four genes analyzed. Two introns and two exons were identified
1428 for the gene CD3, with identities ranging from 73 to 96% when compared to the same

1429 regions of *P. olivaceus*. Although the identity of the inferred amino acid sequence is
1430 relatively low (52%), and a conserved domain has not been identified, the distribution
1431 and the identity between exons and introns suggest a correct identification of CD3 to *P.*
1432 *orbignyanus*. For CD4-2, three introns and three exons were identified, although the
1433 exon 3 corresponds to only one base. The identity indices ranged from 83 to 100%
1434 when compared with *P. olivaceus*. In the same way as CD3, the amino acid sequence
1435 deduced from CD4-2 showed a relatively low identity (65%). However, in this case, the
1436 extracellular immunoglobulin-like domain, which is a characteristic of these co-
1437 receptors, was identified. Three introns and four exons were identified for IL-1 β , with
1438 an identity ranging from 71 to 99% when compared to *P. olivaceus*. The sequence
1439 inferred from amino acids showed 90% of identity with *P. olivaceus* IL-1 β , with the
1440 identification of the IL-1 domain, which constitute these mediators of the inflammatory
1441 response. Unlike other genes isolated, the sequence obtained for RAG1 comprised only
1442 the exon 3 in comparison with the homologous gene of *P. olivaceus*, though a high
1443 identity was observed (96%). In this sense, the sequence inferred from amino acids had
1444 97% of identity and allowed the identification of RAG-1 domain, characteristic of
1445 recombination activating proteins.

1446 RAG1 expression was detected early in the development, and its levels remained
1447 similar between 10 and 30 dah. This expression of RAG1 transcripts is related to the
1448 histological detection of the first thymus anlage at 5 dah, showing that after that
1449 moment, V(D)J recombination has already started. This result can be correlated to the
1450 later increase in the expression of CD3 and CD4-2 transcripts at 30 dah, suggesting that
1451 mature T lymphocytes are being developed at this stage of development. At 45 dah,
1452 RAG1 expression decreased significantly, though it increased again and was
1453 significantly higher at 60 dah. This decrease may be due to the end of metamorphosis or
1454 to the weaning, when the live feed is replaced by dry feed. After this critical stage, the
1455 levels of RAG1 mRNA increased significantly, which may be related to a greater
1456 quantity of maturing lymphocytes, process that continues occurring after
1457 metamorphosis. Mao et al. (2011) suggest that mass mortality can be related to
1458 disorders in the process of V(D)J recombination, as RAG1 and 2 deficiency leads to
1459 complete blockage of B and T cell development.

1460 Other studies with RAG1 in teleosts show a similar pattern, with some timing
1461 variation in the expression levels. In zebrafish, a 10-fold increase in RAG1 mRNA
1462 levels was reported in samples taken between 3 and 17 days post-fertilization (dpf),

1463 with a maximum reached at 21-28 dpf. There was then a gradual decrease in
1464 expressions overtime until 105 dpf (Lam et al., 2004; Willett et al., 1997). RAG1 was
1465 detected at 10 dah in gadoid haddock *Melanogrammus aeglefinus* (Corripio-Miyar et
1466 al., 2007). These authors observed that RAG1 expression increased until B cells
1467 matured and decreased with the increased levels of the expression of cell surface IgM.
1468 Huppenhuis et al. (2005) detected RAG1 in the head kidney at 7 dpf, with an increase in
1469 IgM levels at 28 dpf. IgM levels were not analyzed in this study, however it can be
1470 suggested that the decrease in RAG1 levels at 45 dah might also be related to an
1471 increase in IgM levels and maturity of B cells in the juvenile of *P. orbignyanus*.

1472 The expression patterns of CD3 and CD4-2 were similar in this study, though
1473 the levels of CD3 were higher than CD4-2 levels. This result was also expected, as all T
1474 lymphocytes harbor the CD3 co-receptor on their membranes, whereas only helper T
1475 cells have CD4/CD4-2 receptors on their surfaces. Øvergård et al. (2011) reported that
1476 CD3 chains expression increased at 45-49 dah, CD4-2 at 49 dah and CD4 at 73-80 dah.
1477 Two CD4-like (CD4L) molecules have been identified in fish to date. One, CD4L-1, is
1478 similar to that of mammals and birds, having four extracellular Ig domains. The other,
1479 CD4L-2, shows homology with other vertebrate CD4 sequences but has two or three Ig
1480 domains. Different fish species are in the possession of only two of these three
1481 divergent forms of CD4, the classical CD4 (CD4L-1) and either the three-domain form
1482 or the two-domain form (Dijkstra et al., 2006; Edholm et al., 2007; Laing et al., 2006;
1483 Øvergård et al., 2010; Suetake et al., 2004). Expression analysis in tissues has suggested
1484 that both CD4L-1 and CD4L-2 may function as helper T cells, although the function of
1485 these two molecules is currently unknown, since only teleosts possess two CD4s (Toda
1486 et al., 2011). In this study, we did not analyze CD4 molecules, so that further
1487 investigations are needed to understand the difference in the expression of these two
1488 molecules.

1489 The expression of the cytokine IL-1 β at 45 dah was higher than all the other
1490 genes analyzed. However, at 15 and 60 dah, IL-1 β expression was down-regulated. This
1491 decrease may also be related to the critical periods of the development of Brazilian
1492 flounder. From 15 to 20 dah, some larvae became swollen and could not swim properly,
1493 which led them to death. The cause of this problem is still unknown, though it may
1494 indicate that the immune system of some larvae was debilitated due to an inadequate
1495 nutrition or stressful conditions of cultivation. All the physical and chemical parameters
1496 were desirable during the larviculture, following a well-defined protocol suggested by

1497 Sampaio et al. (2008). Thus, an inadequate nutrition is more likely to weaken the
1498 immune system of the larvae and increase the expression of IL-1 β due to its role in the
1499 proinflammatory condition.

1500 Metamorphosis occurs from 15 to 30 dah and *P. orbignyanus* larvae change their
1501 pelagic habit to a bentonic life, with eye migration to the left side of the body and
1502 subsequent settlement. When the metamorphosis is finished, they are weaned, although
1503 the adequate moment for the weaning has not yet been demonstrated (Bianchini et al.,
1504 2010). Øvergård et al. (2011) analyzed 12 immune-related genes of the Atlantic halibut
1505 *Hippoglossus hippoglossus*, and all of them declined between 108 and 128 dah (late
1506 metamorphosis), increasing again after 144 dah. These authors suggested that the diet
1507 with enriched *Artemia* sp. for 60 days could be responsible for this down-regulation of
1508 the mRNA levels, as an increase in these levels is seen between 9 and 20 days after
1509 weaning. Live feed with low levels of DHA/EPA, low digestibility of *Artemia* sp. and
1510 changes in its fatty acid composition might influence the levels of mRNA of immune
1511 markers, together with other factors acting during the metamorphosis of flatfish. In this
1512 study, RAG1 and IL-1b mRNA levels also declined at 45 and 60 dah, respectively. This
1513 decline could also be related to the nutritional conditions of *P. orbignyanus* juveniles
1514 after a long live feeding period and weaning.

1515 In this study, we analyzed the expression of immune markers in unfertilized
1516 oocytes from two different females (data not shown). IL-1 β and CD3 mRNAs were
1517 detected in both samples, in a greater quantity than in all larvae and juveniles analyzed
1518 in this study. However, when the samples were taken from the females, a small quantity
1519 of blood escaped with the oocytes. For this reason, these results were not included in the
1520 present work, but we wish to highlight the importance of maternally transferred
1521 material, especially for Brazilian flounder larvae that hatch with a small size and their
1522 systems are not fully functional until 3 dah. IL-1 β was detected mainly in germ cells of
1523 both the testicular and ovarian areas of the gonad during different stages of the
1524 reproductive cycles of the gilthead seabream *Sparus aurata* (Chaves-Pozo et al., 2008).
1525 This cytokine is important for an adequate innate and acquired immune response, and it
1526 may be an important maternally transferred molecule for the larvae that hatch with
1527 rudimentary systems, as the larvae of *P. orbignyanus*. More studies will be carried out
1528 in order to understand this process during the early stages of Brazilian flounder
1529 development.

1530 Flatfish metamorphosis has been the subject of gene expression studies using
1531 PCR-based methods. However, adequate and reliable reference genes for accurate
1532 quantification needed to be validated. Due to the role of β -actin in cytoskeleton
1533 structure, it is generally assumed that it is expressed at a constant level in different
1534 tissues, cells or experimental treatments (Infante et al., 2008). In this study, β -actin was
1535 used as a housekeeping gene, and its levels were constant throughout the period
1536 analyzed while the other genes were down- or up-regulated, indicating changes in the
1537 immune system.

1538 The investigation of immune system evolution, the development of vaccines,
1539 and the selection of disease-resistant breeds are limited by the lack of sufficient
1540 knowledge in fish immunity (Zhu et al., 2013). If fish are vaccinated as early as possible
1541 in the cultivation, the need for antibacterial drugs is reduced and the survival is
1542 increased (Covello et al., 2013). However, if they receive immune stimulation at an
1543 early stage, before the immune system is fully developed, they are induced to tolerance,
1544 with a decrease in the subsequent secondary response and efficacy of vaccination
1545 (Øvergård et al., 2011).

1546 The immune system of the Brazilian flounder starts to develop around 5 dah
1547 with the appearance of the thymus, with the subsequent expression of RAG1 proteins
1548 that lead to the process of V(D)J recombination of the TCR on T cells. TCR, together
1549 with CD3, form the TCR complex that is able to interact with MHC class II molecule,
1550 process that is stabilized by the CD4 co-receptor on the surface of helper T cells. CD3
1551 and CD4-2 mRNA levels are increased around 30 dah, suggesting that T lymphocytes,
1552 especially helper T cells, are mature and able to recognize antigens presented by the
1553 antigen presenting cells. An increase in the expression levels of the cytokine IL-1 β at 30
1554 dah also suggests that juveniles at this age can possibly respond to infection with an
1555 inflammatory condition. The results in this study show the direction for more complete
1556 studies with the expression of immune-related genes and the maternal transfer of
1557 immunity to determine when the immune system of *P. orbignyanus* is fully mature and
1558 when larvae and/or juvenile can be safely vaccinated to reduce the high mortalities
1559 observed during the early stages of development.

1560

1561 **References**

1562

- 1563 Bianchini, A., Wasielesky Jr., W., Miranda-Filho, K.C., 1996. Toxicity of nitrogenous
1564 compounds to juveniles of flatfish *Paralichthys orbignyanus*. Bull. of Environ.
1565 Contam. Toxicol. 56, 453-459.
- 1566 Bianchini, A., Robaldo, R.B., Sampaio, L.A., 2010. Cultivo do linguado (*Paralichthys*
1567 *orbignyanus*). In: Baldisserotto, B., Gomes, L.C. (Eds.), Espécies nativas para
1568 piscicultura no Brasil. 2 ed. UFSM, Santa Maria.
- 1569 Cerqueira, V.R., 2005. Egg development of *Paralichthys orbignyanus* (Valenciennes,
1570 1839). Braz. Arch. Biol. and Technol. 48(3), 459-465.
- 1571 Chantanachookhin, C., Seikai, T., Tanaka, M., 1991. Comparative study of the
1572 ontogeny of the lymphoid organs in three species of marine fish. Aquac. 99, 143-
1573 155.
- 1574 Chaves-Pozo, E., Liarte, S., Fernández-Alacid, L., Abellán, E., Meseguer, J., Mulero,
1575 V., García-Ayala, A., 2008. Pattern of expression of immune-relevant genes in the
1576 gonad of a teleost, the gilthead seabream (*Sparus aurata* L.). Mol. Immunol. 45,
1577 2998-3011.
- 1578 Corripio-Miyar, Y., Bird, S., Treasurer, J.W., Secombes, C.J., 2007. RAG-1 and IgM
1579 genes, markers for early development of the immune system in the gadoid
1580 haddock, *Melanogrammus aeglefinus*, L. Fish Shellfish Immunol. 23, 71-85.
- 1581 Covello, J.M., Bird, S., Morrison, R.N., Bridle, A.R., Battaglene, S.C., Secombes, C.J.,
1582 Nowak, B.F., 2013. Isolation of RAG-1 and IgM transcripts from the striped
1583 trumper (*Latris lineata*), and their expression as markers for developmental of the
1584 adaptive immune response. Fish Shellfish Immunol. 34, 778-788.
- 1585 Dijkstra, J.M., Somamoto, T., Moore, L., Hordvik, I., Ototake, M., Fischer, U., 2006.
1586 Identification and characterization of a second CD4-like gene in teleost fish. Mol.
1587 Immunol. 43, 410-419.
- 1588 Edholm, E.S., Stafford, J.L., Quiniou, S.M., Waldbieser, G., Miller, N.W., Bengten, E.,
1589 Wilson, M., 2007. Channel catfish, *Ictalurus punctatus*, CD4-like molecules. Dev.
1590 Comp. Immunol. 17, 523-554.
- 1591 Figueiredo, J. L., Menezes, N. A., 2000. Manual de peixes marinhos do Sudeste do
1592 Brasil. Volume VI. Museu de Zoologia, Universidade de São Paulo.
- 1593 Fischer, U., Koppang, E.O., Nakanishi, T., 2013. Teleost T and NK cell immunity. Fish
1594 Shellfish Immunol. 35, 197-206.

- 1595 Fujiki, K., Shin, D.-H., Nakao, M., Yano, T., 2000. Molecular cloning and expression
1596 analysis of carp (*Cyprinus carpio*) interleukin-1 β , high affinity immunoglobulin E
1597 Fc receptor γ subunit and serum amyloid A. Fish Shellfish Immunol. 10, 229-242.
- 1598 Huttenhuis, H.B.T., Huisings, M.O., Van der Meulen, T., Van Oosterhoud, C.N.,
1599 Sánchez, N.A., Taverne-Thiele, A.J., Stroband, H.W.J., Rombout, J.H.W.M.,
1600 2005. Rag expression identifies B and T cell lymphopoietic tissues during the
1601 development of common carp (*Cyprinus carpio*). Dev. Comp. Immunol. 29, 1033-
1602 1047.
- 1603 Infante, C., Matsuoka, M.P., Asensio, E., Cañavate, J.P., Reith, M., Manchado, M.,
1604 2008. Selection of housekeeping genes for gene expression studies in larvae from
1605 flatfish using real-time PCR. BMC Mol. Biol. 9, 28.
- 1606 Josefsson, S., Tatner, M.F., 1993. Histogenesis of the lymphoid organs in sea bream
1607 (*Sparus aurata* L.). Fish Shellfish Immunol. 3, 35-49.
- 1608 Laing, K.J., Zou, J.J., Purcell, M.K., Phillips, R., Seacombe, C.J., Hansen, J.D., 2006.
1609 Evolution of the CD4 family: teleost fish possess two divergent forms of CD4 in
1610 addition to lymphocyte activation gene-3. J. Immunol. 177, 3939-3951.
- 1611 Lam, S.H., Chua, H.L., Gong, Z., Lam, T.J., Sin, Y.M., 2004. Development and
1612 maturation of the immune system in zebrafish, *Danio rerio*: a gene expression
1613 profiling, in situ hybridization and immunological study. Dev. Comp. Immunol.
1614 28, 9-28.
- 1615 Lu, X.-J., Chen, J., He, Y.-Q., Shi, Y.-H., 2013. Molecular characterization of an IL-1 β
1616 gene from ayu, *Plecoglossus altivelus*. Fish Shellfish Immunol. 34, 1253-1259.
- 1617 Mao, M.-G., Lei, J.-L., Alex, P.-M., Hong, W.-S., Wang, K.-J., 2012. Characterization
1618 of RAG1 and IgM (mu chain) marking development of the immune system in
1619 red-spotted grouper (*Epinephelus akaara*). Fish Shellfish Immunol. 33, 725-735.
- 1620 Øvergård, A.-C., Hordvik, I., Nerland, A.H., Eikeland, G., Patel, S., 2009. Cloning and
1621 expression analysis of Atlantic halibut (*Hippoglossus hippoglossus*) CD3 genes.
1622 Fish Shellfish Immunol. 27, 707-713.
- 1623 Øvergård, A.-C., Fiksdal, I.U., Nerland, A.H., Patel, S., 2011. Expression of T-cell
1624 markers during Atlantic halibut (*Hippoglossus hippoglossus* L.) ontogenesis.
1625 Dev. Comp. Immunol. 35, 203-213.
- 1626 Padrós, F., Crespo, S., 1996. Ontogeny of lymphoid organs in the turbot *Scophthalmus*
1627 *maximus*: a light and electron microscope study. Aquac. 144, 1-16.

- 1628 Park, C.I., Hirono, I., Enomoto, J., Nam, B.-H., Aoki, T., 2001. Cloning of Japanese
1629 flounder *Paralichthys olivaceus* CD3 cDNA and gene, and analysis of its
1630 expression. Immunogen. 53, 130-135.
- 1631 Patel, S., Øvergård, A.-C., Nerland, A.H., 2009. A CD4 homologue in Atlantic halibut
1632 (*Hippoglossus hippoglossus*): molecular cloning and characterization. Fish
1633 Shellfish Immunol. 26, 377-384.
- 1634 Pfaffl, M.W., Horgan, G.W., Dempfle, L., 2002. Relative expression software tool
1635 (REST©) for group-wise comparison and statistical analysis of relative expression
1636 results in real-time PCR. Nucleic Acids Res. 30(9), e36.
- 1637 Randelli, E., Buonocore, F., Scapigliati, G., 2008. Cell markers and determinants in fish
1638 immunology. Fish Shellfish Immunol. 25, 326-340.
- 1639 Rocha, A.F., Carvalho, C.V.A.; Sampaio, L.A., 2008. Produção de juvenis do linguado
1640 *Paralichthys orbignyanus*: efeito da duração do período de co-alimentação
1641 durante o desmame. Ciênc. Rural 38(8), 2334-2338.
- 1642 Romano, N., Fanelli, M., Papa, G.M., Scapigliati, G., Mastrolia, L., 1999. Histological
1643 and cytological studies on the developing thymus of sharpsnout seabream,
1644 *Diplodus puntazzo*. J. Anat. 194, 39-50.
- 1645 Sampaio, L.A., Bianchini, A., Cerqueira, V.R., 2001. Growth of juvenile Brazilian
1646 flounder, *Paralichthys orbignyanus*, cultured at different salinities. J. Appl.
1647 Aquac. 11, 67-75.
- 1648 Sampaio, L.A., Bianchini, A., 2002. Salinity effects on osmoregulation and growth of
1649 the euryhaline flounder *Paralichthys orbignyanus*. J. Exp. Mar. Biol. Ecol. 269,
1650 187-196.
- 1651 Sampaio, L.A., Freitas, L.S., Okamoto, M.H., Louzada, L.R., Rodrigues, R.V., Robaldo,
1652 R.B., 2007. Effects of salinity on Brazilian flounder *Paralichthys orbignyanus*
1653 from fertilization to juvenile settlement. Aquac. 262, 340-346.
- 1654 Sampaio, L.A., Robaldo, R.B., Bianchini, A., 2008. Hormone-induced ovulation,
1655 natural spawning and larviculture of Brazilian flounder *Paralichthys*
1656 *orbignyanus* (Valenciennes, 1839). Aquac. Res., 39, 712-717.
- 1657 Schröder, M.B., Villena, A.J., Jorgensen, T.O., 1998. Ontogeny of lymphoid organs and
1658 immunoglobulin producing cells in Atlantic cod (*Gadus morhua* L.). Dev.
1659 Comp. Immunol. 22(5-6), 507-517.
- 1660 Secombes, C.J., Wang, T., Bird, S., 2011. The interleukins of fish. Dev. Comp.
1661 Immunol. 35, 1336-1345.

- 1662 Suetake, H., Araki, K., Suzuki, Y., 2004. Cloning, expression and characterization of
1663 fugu CD4, the first ectothermic animal CD4. Immunogen. 56, 368-374.
- 1664 Sun, X.-F., Shang, N., Hu, W., Wang, Y-P., Guo, Q.-L., 2007. Molecular
1665 characterization of carp (*Cyprinus carpio* L.) CD8 β and CD4-like genes. Fish
1666 Shellfish Immunol. 23, 1242-1255.
- 1667 Toda, H., Saito, Y., Koike, T., Takizawa, F., Araki, K., Yabu, T., Somamoto, T.,
1668 Suetake, H., Suzuki, Y., Ototake, M., Moritomo, T., Nakanishi, T., 2011.
1669 Conservation of characteristics and functions of CD4 positive lymphocytes in a
1670 teleost fish. Dev. Comp. Immunol. 35, 650-660.
- 1671 Wasielesky Jr., W., Bianchini, A., Santos, M.H., Poersch, L.H., 1997. Tolerance of
1672 juvenile flatfish *Paralichthys orbignyanus* to acid stress. J. World Aquac. Soc.
1673 28, 202-204.
- 1674 Wasielesky Jr., W., Miranda-Filho, K., Bianchini, A., 1998. Tolerancia a la temperatura
1675 de juveniles de lenguado *Paralichthys orbignyanus*. Frente Marít. 17, 43-48.
- 1676 Watanabe, T., Kitajima, C., Fujita, S., 1983. Nutritional values of live food organisms
1677 used in Japan for mass propagation of fish: a review. Aquac. 34, 115-143.
- 1678 Willett, C.E., Zapata, A.G., Hopkins, N., Steiner, L.A., 1997. Expression of zebrafish
1679 rag genes during early development identifies the thymus. Dev. Biol. 182, 331-
1680 341.
- 1681 Zapata, A., Diez, B., Cejalvo, T., Gutiérrez-De Frías, C., Cortés, A., 2006. Ontogeny of
1682 the immune system of fish. Fish Shellfish Immunol. 20, 126-136.
- 1683 Zhu, L., Nie, L., Zhu, G., Xiang, L., Shao, J.-Z., 2013. Advances in research of fish
1684 immune-relevant genes: A comparative overview of innate and adaptive
1685 immunity in teleosts. Dev. Comp. Immunol. 39, 39-62.
- 1686

1687 Table 1. Primer sequences for genes isolation and real-time PCR (qPCR).

Degenerate primers for gene isolation			
Gene	Forward (5'- 3')	Reverse (5'- 3')	Expected amplicon size
CD3	TGCTGCTGCTTGGACRCTGCCA	TGGACCAGCCTGAGACGCGAY	900 pb
CD4-2	GCTGGGTGCACTCTCTGCTGC	GCCCACAKCCACCAGYCGAGCK	2,000 pb
RAG1	YATGGGMGAYGTCAGYGAGAAGCACGGTGGCTGGGYTCCA	WGAAAGGGY	600 pb
IL-1β	YGTGGTCAACCTCATCATCGCCA	TACCAGTYGGGAAGCGGGCS	1,800 pb

Specific primers for qPCR			
Gene	Forward (5'- 3')	Reverse (5'- 3')	Genbank accession
CD3	CCTGTGAAAATGCATCGAGCTCAACA	CCGCATCTCCAACAATGAGGCCG	KJ551376
CD4-2	TACTGTTCACTGGACGGGGCCAG	TCACACTGCCATGTTCCCGCATC	KJ551377
RAG1	TCCGCTTCCACTTCAGAGGCACA	TGAGGCCTCTAGGCCCTCCATCT	KJ551379
IL-1β	TCCACCTATGTGCACCCCTCCCC	CCATGTGGCACGACAGGAAGAGG	KJ551378
β-actin	CCAAGCTGTGCTGTCCCTGTA	ACACCATCACCGGAGTCCAT	EU542580

1688

1689

1690

1691

1692

1693

1694

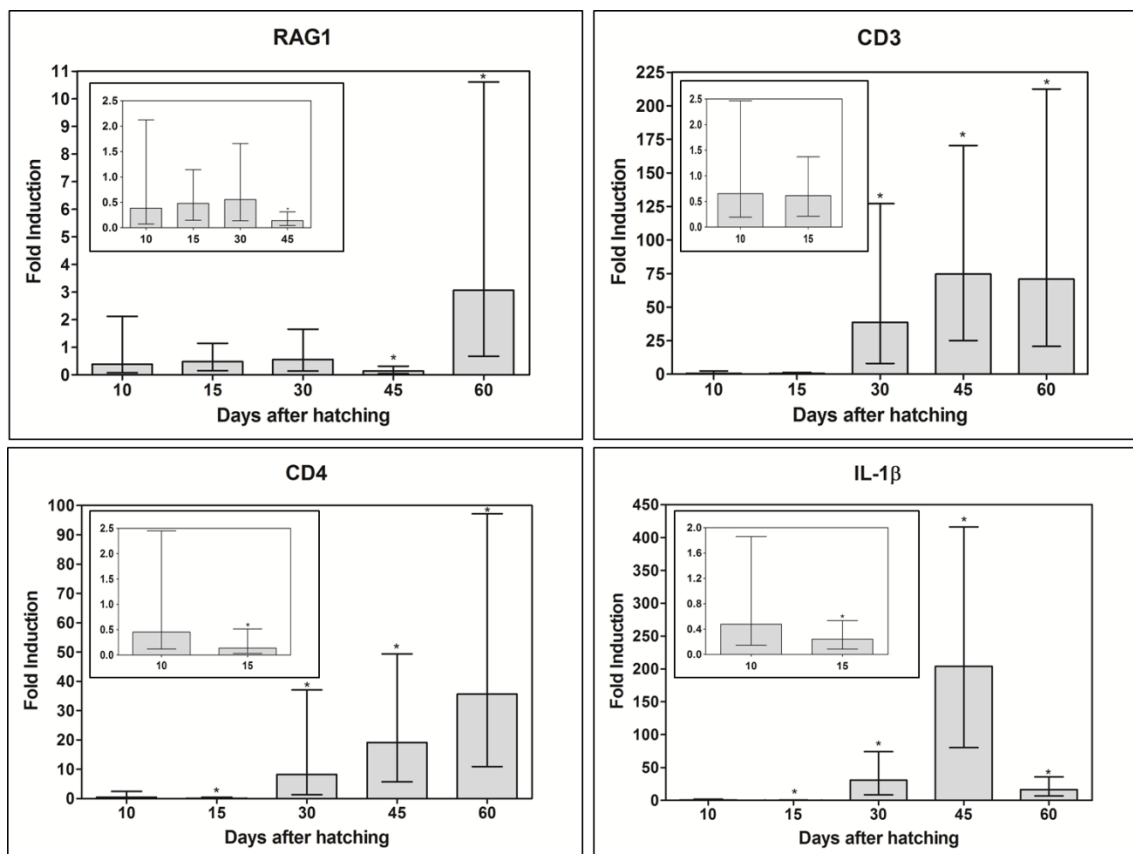
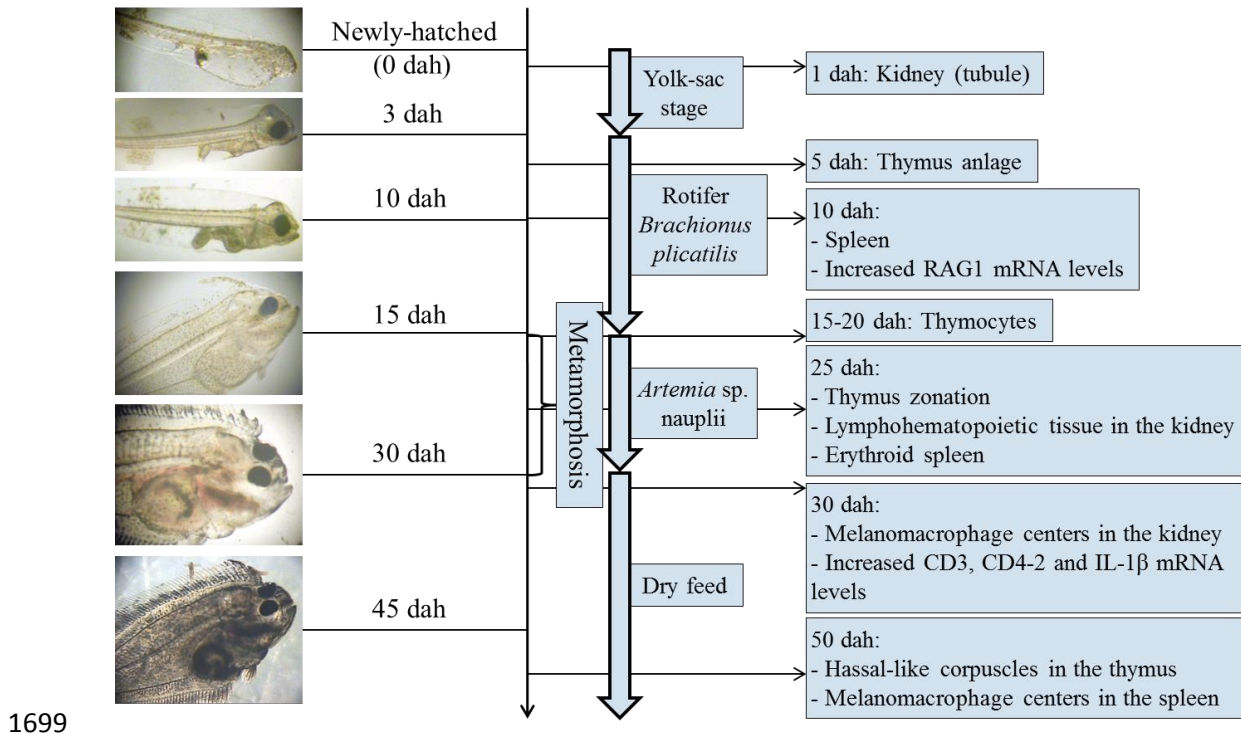
1695 Table 2. Blast comparisons of obtained gene sequences from *Paralichthys orbignyanus*.

1696 Id. = identity in comparison to *Paralichthys olivaceus*.

Blast comparison to <i>P. olivaceus</i>						
Gene	Sequence (nt)	Complete Id./cover	Intron (position) Id./cover	Exon (position) Id./cover	Amino acid Id./cover	Domain
CD3	757	81/100	I1 (1-272): 87/94	E2 (273-485): 73/75	93 aa	ND*
			I2 (486-687): 89/94	E3 (688-757): 96/100	52/100	
CD4- 2	533	85/100	I3 (1-33): 100/69	E4 (34-267): 83/100	99 aa	
			I4 (268-355): 90/100	E5 (356-421): 86/100	65/100	IG-like
IL-1β	1,446	86/97	I5 (422-532): 84/100	E6 (533)		
				E1 (1-67): 99/100	129 aa	IL1
RAG1	529	96/99	I1 (68-854): 81/93	E2 (855-1019): 96/100	90/99	
			I2 (1029-1189): 86/100	E3 (1190-1323): 92/100	71/100	
			I3 (1324-1425): 92/100	E4 (1426-1446): 175 aa	97/100	RAG1

1697 *ND = not detected.

1698



1705 Figure 2. Relative expression of RAG1, CD3, CD4-2 and IL-1 β during the development of the
1706 Brazilian flounder, *Paralichthys orbignyanus*, from 10 to 60 days after hatching. The
1707 expressions are related to 3 dah using β -actin as internal reference gene.

1708

1709

1710

1711

1712

1713

1714

1715

1716

1717

1718

1719

1720

1721

1722

1723

1724

1725

1726

1727

CAPÍTULO 3

1728

1729

1730

1731

1732

1733

1734

1735

1736

1737

1738 Morphological characterization of blood cells in adults of the Brazilian flounder
1739 *Paralichthys orbignyanus*

1741 Emeline Pereira Gusmão, Luís André Sampaio, Luis Alberto Romano

1742

1743

1744

1745

1746

1343

134

Artigo submetido a The Anatomical Record

1748

1749

1750

1751

1752

17E3

1754

1355

1756

10

Morphological characterization of blood cells in the Brazilian flounder

1758

Abstract

Several studies have been conducted on the biology and viability of the Brazilian flounder *Paralichthys orbignyanus* (Valenciennes, 1839) for aquaculture activities in southern Brazil. Well-defined protocols for reproduction and larviculture in captivity have already been established. However, data still lack about necessary basic biological knowledge, such as hematological aspects of this species, which can help improve its cultivation and resistance against diseases. This study aimed to obtain preliminary information about the morphological features of the blood of *P. orbignyanus* adults. Fish were obtained from a recirculating water system and anesthetized to collect peripheral blood through puncture of caudal vein. Blood smears were prepared and stained with May-Grünwald-Giemsa method. The blood of Brazilian flounder follows the

hematological pattern of other vertebrates, with the following main cellular components: erythrocytes, leucocytes and thrombocytes, with occasional immature stages. Erythrocytes were the dominant cell type in the blood ($5.14 \times 10^6/\text{mm}^3$), whereas lymphocytes are the most common white cells of the blood (48.27%). The number of leucocytes in this study was $3.55 \times 10^3/\text{mm}^3$, and granulocytes corresponded to 50.53% of the white cells. Mature monocytes were not observed in the peripheral blood of *P. orbignyanus*. Thrombocytes were the smallest cells of the blood. More studies on the hematological parameters need to be developed to help establish reference values for this candidate species to aquaculture.

1781

1782 **Keywords:** *Paralichthys orbignyanus*; blood cells; morphology

1783

1784 **1. Introduction**

1785

1786 The Brazilian flounder *Paralichthys orbignyanus* (Valenciennes, 1839) belongs
1787 to the family Paralichthyidae (Pleuronectiformes) and is distributed from Rio de Janeiro,
1788 Brazil, to Mar del Plata, Argentina (Figueiredo and Menezes, 2000) and is the largest
1789 flatfish species in southern Brazil. Several studies have been conducted on the biology
1790 and the viability of the species for aquaculture, due to its commercial value and potential
1791 for cultivation. Well-defined protocols for reproduction and larviculture in captivity have
1792 been established (Cerqueira, 2005; Bianchini et al., 2010). This species shows many
1793 biological aspects that are favorable for aquaculture: it is a euryhaline fish, is tolerant to
1794 high densities, accepts inert feed well. Data are still lacking that connect necessary basic
1795 biological knowledge to its ideal culture, as no studies were found related to
1796 hematological aspects.

1797 The introduction of a new species to aquaculture can be successful if there is a
1798 detailed knowledge of the physiology of the species, among other things (Valdebenito et
1799 al., 2011). Fish possess a circulatory system filled with blood, a feature shared by all
1800 vertebrates which provides a homeostatically controlled internal environment (Fänge,
1801 1994). Knowledge of hematological and immunological characteristics of the fish can
1802 provide useful information and contribute to the evaluation of resistance against
1803 infectious diseases and assessment of the physiological status of the fish (Fazio et al.,
1804 2013). Blood indices provide reliable information on metabolic disorders, deficiencies
1805 and chronic stress status before they are present in a clinical setting (Satheeshkumar et

1806 al., 2011). However, the literature on the hematatology of marine and estuarine species is
1807 still scarce (Seriani et al., 2010). This knowledge of the hematological characteristics of
1808 a cultured fish species is an important tool for aquaculture. Hematological tests are easily
1809 available and a sensible tool to evaluate the status of an organism, although they are not
1810 very specific. A non-lethal and rapid method to monitor the health status of fish in relation
1811 to environmental conditions is a request for successful farming (Fazio et al., 2013).

1812 This study aimed to obtain preliminary information about the hematatology of *P.*
1813 *orbignyanus*, describing the morphological features of the blood cells under the light
1814 microscopy. This might provide useful information for other researchers to diagnose and
1815 monitor disease in this species, as well as the use of biomarkers associated with stressor
1816 agents.

1817

1818 **2. Materials and Methods**

1819

1820 Fish were maintained in a recirculating water system comprised of 3 tanks (300 L
1821 each), a circulation pump (1/3 HP), sand filter, UV sterilizer, protein skimmer for
1822 processing/removal of dissolved organics and small suspended solids, and a diffusion
1823 aeration/degassing system. The water system provided the maximum of 10% water
1824 exchange each day and with the biofilter maintain toxic nitrogen compounds in low
1825 concentrations. Density was maintained at 10 fish per tank with a 14h Light:10h Dark
1826 photoperiod. Fish were fed 2 times a day with commercial diet (CP: 50%).

1827 Nine female fish (238.45 ± 0.91 g; 11.95 ± 1.7 cm) were randomly collected and
1828 anesthetized with 50 ppm benzocaine. Peripheral blood was collected by puncture of
1829 caudal vein with a 26-gauge needle coated with heparin and attached to a 1.0 mL syringe.
1830 Blood smears (two per fish) were air dried and stained (May-Grünwald-Giemsa method).
1831 Blood cells were examined with a compound light microscope Zeiss Primo Star
1832 connected to a AxioCam ERc 5s (Zeiss) digital camera and characterized according to
1833 Conroy (1998). Cells were counted with a SYSMEX SF 3000 hematological analyzer
1834 following Rodero et al. (2003). Images were analysed with AxioVision 4.8.2.0 software
1835 (Carl Weiss MicroImaging GmbH).

1836

1837 **3. Results**

1838

1839 The following cell types were identified in the peripheral blood of Brazilian
1840 flounder *P. orbignyanus* adults: erythrocytes, granulocytes, lymphocytes, thrombocytes
1841 and blast cells (Fig. 1). The types of cells and their sizes are shown in Table 1.

1842

1843 **3.1. Erythrocytic series**

1844

1845 Proerythroblasts: Proerythroblasts are the earliest erythrocyte precursors,
1846 preceding the polychromatophilic erythroblasts (Fig. 2D, 2E). These blast cells are
1847 spherical and have a large round nucleus with prominent chromatin material and frequent
1848 nucleoli.

1849 Polychromatophilic erythroblasts: These cells are round shaped with a central
1850 nucleus characterized by compact and basophilic chromatin.

1851 Erythrocytes: Erythrocytes are elliptical and biconvex, and the central nucleus is
1852 also elliptical and surrounded by a slightly eosinophilic homogeneous cytoplasm (Fig.
1853 2A). These nucleated elements are the fully matured of the erythrocytic series. The
1854 number of erythrocytes in the peripheral blood of *P. orbignyanus* was $5.14 \times 10^6/\text{mm}^3$
1855 and the average size of these cells was $14.20 \pm 1.77 \mu\text{m}$, the largest mature cells of the
1856 blood.

1857

1858 **3.2. Leucocytes**

1859

1860 **3.2.1. Granulocytic series**

1861

1862 In this study, mature granulocytes (polymorphonuclear) were basophilic and
1863 eosinophilic granular cells, observed as large and commonly irregular cells. Their nucleus
1864 can be horseshoe-shaped, eccentric, round and sometimes bilobed and their cytoplasm is
1865 full of granules (Fig. 2C). The mean diameter of these cells in *P. orbignyanus* was 11.23
1866 $\pm 3.61 \mu\text{m}$.

1867 Other cell types of the granulocytic series could be observed: granuloblasts,
1868 progranulocytes and metagranulocytes, in order of development (Fig. 2E, 2F, 2G). A
1869 reduction in the diameter of these cells according to their developmental stage was
1870 observed. The granuloblast is spheroid to ovoid, with a central to slightly eccentric
1871 nucleus and an average diameter of $23.47 \pm 1.84 \mu\text{m}$. Progranulocytes correspond to

1872 mammalian promyelocytes and are spherical to ovoid cells, with an average diameter of
1873 $11.71 \pm 1.90 \mu\text{m}$. Metagranulocytes presented an average diameter of $14.28 \pm 2.13 \mu\text{m}$.

1874

1875 **3.2.2. Agranulocytic series**

1876

1877 Lymphocytes: These are basophilic round cells that possess a large and spherical
1878 central nucleus occupying most of the cell volume. In this study, lymphocytes had an
1879 average diameter of $10.50 \pm 2.69 \mu\text{m}$ (Fig. 2B). Lymphoblasts, similar to the
1880 proerythroblasts, were also observed in the peripheral blood of *P. orbignyanus*, with an
1881 average diameter of $15.02 \pm 1.72 \mu\text{m}$.

1882 Monocytes: Mature monocytes were not observed in this study. However,
1883 monoblasts, present only in a few samples, and promonocytes, which were the largest
1884 cells observed in the blood of *P. orbignyanus*, could be observed, with an average
1885 diameter of $14.81 \pm 1.63 \mu\text{m}$ and $22.95 \pm 1.29 \mu\text{m}$, respectively.

1886

1887 **3.3. Thrombocytic series**

1888

1889 Thrombocytes: These cells were present in different morphologies, normally oval
1890 or spindle-shaped cells with a central nucleus. They appear as single cells but also occur
1891 in clusters due to clotting of blood samples. The mean diameter of these cells was $4.84 \pm$
1892 $0.97 \mu\text{m}$, and they were the smallest cells present in the blood of *P. orbignyanus*.

1893

1894 **4. Discussion**

1895

1896 Fish blood is a specialized circulating tissue composed of cells suspended in a
1897 fluid intercellular substance (plasma), and it is also a mirror that reflects all the vital
1898 processes in the organisms. The main lines of blood cells in fishes are erythrocytes (red
1899 blood cells – RBC), leucocytes (white blood cells – WBC) and thrombocytes (Ranzani-
1900 Paiva et al., 2003; Genten et al., 2009). The blood of Brazilian flounder adults basically
1901 follows the hematological pattern of other vertebrates. The main cellular components of
1902 the peripheral blood of *P. orbignyanus* consist of erythrocytes, lymphocytes, granulocytes,
1903 monocytes and thrombocytes. Occasionally, immature stages are also observed, though
1904 they do not necessarily indicate a blood dysfunction (Watson et al., 1963).

1905 Erythrocytes are the dominant cell type in the blood of the vast majority of fish
1906 species, constituting 98-99% of the blood cells. These cells are nucleated and their sizes
1907 may vary with the amount of nuclear DNA or the genome size. The function of the red
1908 cells is to transport respiratory gases, and their concentration is related to the habitat and
1909 locomotion type of the different fish species (Fänge, 1994; Vázquez and Guerrero, 2007).

1910 The morphology of mature erythrocytes observed in *P. orbignyanus* is coincident
1911 with the morphological descriptions reported for teleosts by different authors. However,
1912 the erythrocytes in the peripheral blood of *P. orbignyanus* were larger than erythrocytes
1913 of most fish species reported in the literature (Watson et al., 1963; Hartman and Lessler,
1914 1964; Vázquez and Guerrero, 2007; Tavares-Dias et al., 2008; Nikolov and Boyadzieva-
1915 Doichinova, 2010; Valdebenito et al., 2011). Hartman and Lessler (1964) reported larger
1916 erythrocytes than those in *P. orbignyanus*, in the teleost species *Opsanus tau* (14.9 ± 2
1917 μm).

1918 The erythrocyte is the most important carrier of oxygen and carbon dioxide. The
1919 size and shape of RBC indicate the surface available for the exchange of these gases in
1920 respiratory functions (Hartman and Lessler 1964). A small cell has a greater rate of
1921 exchange than a large cell. The surface/volume ratio influences all the processes involving
1922 plasma membrane (Tavares-Dias et al. 2008). One can assume that the diameter of the
1923 smallest capillaries must be no less than the smaller diameter of the erythrocyte, as stated
1924 by Hartman and Lessler (1964). Mammal erythrocytes are extremely deformable and pass
1925 easily through the smallest blood capillaries by folding upon themselves, which is
1926 allowed because they lack nucleus. Fish erythrocytes, however, are nucleated cells and
1927 probably lack this capacity of deforming themselves to pass through the capillaries. Thus,
1928 adults of *P. orbignyanus* have a less active behavior in comparison with other teleost fish
1929 since the large erythrocytes are less efficient for the transport of oxygen. Lower oxygen
1930 carrying capacity presumably reflect a greater adaptation to survive in environments with
1931 low levels of oxygen, as well as a higher metabolic activity.

1932 The number of erythrocytes in *P. orbignyanus* is higher than in other species of
1933 teleost fish ($5.14 \times 10^6/\text{mm}^3$). This happens probably to improve their performance by
1934 increasing the number of erythrocytes and possibly the concentration of hemoglobin in
1935 the peripheral blood, as recorded by Tavares-Dias et al. (2008) for the omnivore teleost
1936 fish *Prochilodus lineatus*. High erythrocyte number has been associated with fast
1937 movement, predaceous nature and high activity in environments such as intensive estuary
1938 systems (Satheeshkumar et al., 2011).

1939 In adults of *P. orbignyanus* the elements of the erythrocyte line corresponded to
1940 proerythroblasts, polychromatophilic erythroblasts and erythrocytes. These cells could
1941 participate in the transport of oxygen in a less efficient way, as immature erythrocytes are
1942 released into the blood undergoing their final maturation within the circulation and the
1943 synthesis of hemoglobin takes place during the maturation of the erythrocyte cell (Fänge,
1944 1994; Valdebenito et al., 2011). Primary red blood cells indices may be highly variable
1945 and dependent on the fish species. Previous studies have also correlated the number of
1946 erythrocytes to weight, sex, age, season, feeding behaviour and habitat (Santos et al.,
1947 2009; Satheeshkumar et al., 2011; Valdebenito et al., 2011; Fazio et al., 2013).

1948 It is known that the classification and nomenclature of leucocytes may be
1949 controversial and confusing due to their staining properties under light microscopy and
1950 methods used in mammalian hematology that do not give good results when applied to
1951 fish blood smears (Genten et al., 2009). Two types of fish leucocytes can be distinguished
1952 in peripheral blood: agranulocytes, with no granules (lysosomes) in the cytoplasm and
1953 unlobed nucleus; and granulocytes, which contain granules and lobed nucleus. Two types
1954 of agranulocytes can be distinguished: lymphocytes and monocytes (Genten et al., 2009).

1955 In this study, lymphocytes, granulocytes and blast cells could be distinguished.
1956 The number of leucocytes in this study was $3.55 \times 10^3/\text{mm}^3$, which is less than the number
1957 reported for other teleost species in the literature (Watson et al., 1963; Kavamoto et al.,
1958 1983; Ueda et al., 1997; Vázquez and Guerrero, 2007; Tavares-Dias et al., 2008; Filiciotto
1959 et al., 2012; Fazio et al., 2013). However, it is known that the majority of leucocytes occur
1960 in the tissues rather than in the blood, i.e., dermis, intestinal tissue, gills, natatory bladder,
1961 hematopoietic tissue, nasal epithelium, heart and inflammed tissue (Fänge, 1994;
1962 Valdebenito et al., 2011).

1963 The differential counts of leucocytes showed that granulocytes correspond to
1964 50.53% of the white blood cells, though lymphocytes are the most common white cells
1965 of the blood (48.27%). Lymphocytes usually constitute approximately half of the
1966 leucocytes in the blood of teleosts. Less lymphocytes were observed in the peripheral
1967 blood of *P. orbignyanus* when compared to the other species studied, except for
1968 *Oreochromis niloticus* (43.42%) (Ueda et al., 1997) and *Brycon amazonicus* (38.9%)
1969 (Tavares-Dias et al., 2008). However, these cells are also larger than lymphocytes of other
1970 fish reported in the literature (Watson et al., 1963; Vázquez and Guerrero, 2007; Tavares-
1971 Dias et al., 2008; Valdebenito et al., 2011).

1972 Monocytes constitute a minor fraction of the leucocytes and some authors have
1973 been unable to find them in their studies and even deny their existence on fish blood
1974 (Watson et al., 1964; Ueda et al., 2001; Vázquez and Guerrero, 2007; Genten et al., 2009).
1975 These cells are phagocytic and, comparably to the monocytes of higher vertebrates, they
1976 may belong to the same cell line as the macrophages of the tissues (Fänge, 1994; Esteban
1977 et al., 2000). Mature monocytes were not observed in the peripheral blood of *P.*
1978 *orbignyanus*. However, monoblasts and promonocytes were present in the blood,
1979 corresponding to 1.20% of the leucocytes. Monocytes frequently correspond to the largest
1980 blood cells, and promonocytes were the largest cells in the peripheral blood of *P.*
1981 *orbignyanus*. Valdebenito et al. (2011) reported that the concentration of monocytes in
1982 the blood tissue may depleted by bacterial diseases such as BKD and vibriosis and by
1983 consumption of diets without vitamin E, though these diseases were not observed in the
1984 fish used for this study.

1985 Granulocytes may be of three types in fishes: neutrophils, eosinophils and
1986 basophils. A major part of the granulocytes of teleosts resemble mammalian
1987 polymorphonucleated or neutrophilic granulocytes (Fänge, 1994). Most authors report
1988 that neutrophils are the most frequent type of granulocyte, whereas the occurrence of
1989 eosinophils, and in particular basophils, is often questioned (Vázquez and Guerrero,
1990 2007). In this study, granulocytes were the larger mature cells in the blood after
1991 erythrocytes, and larger than granulocytes from other species of teleoststhe mean size of
1992 all granulocyte types was only smaller than erythrocytes, and larger than granulocytes
1993 from other species of teleost fishes (Watson et al., 1963; Vázquez and Guerrero, 2007;
1994 Tavares-Dias et al., 2008; Valdebenito et al., 2011), except for *Carassius auratus*
1995 (Watson et al., 1963). Granulocytes and monocytes are phagocytically active and
1996 participate in cellular defence against microbes and parasites (Fänge, 1994).

1997 Thrombocytes have been described as the most abundant cells after erythrocytes,
1998 though their number can be extremely variable due to clotting. Some authors included
1999 thrombocytes within leucocytes, however this is a different lineage of blood cell that takes
2000 part in blood clotting and may form a protective barrier against foreign agents and even
2001 remove circulating cell fragments by phagocytosis (Genten et al., 2009). Some authors
2002 reported that it is difficult to distinguish thrombocytes from lymphocytes (Tavares-Dias,
2003 2006). However, in this study, the thrombocytes were the smallest cells of the blood and
2004 much smaller than lymphocytes and thrombocytes of other fish species (Watson et al.,
2005 1963; Vázquez and Guerrero, 2007; Tavares-Dias et al., 2008; Valdebenito et al., 2011).

2006 It is known that the study of hematological parameters and morphological
2007 characteristics of fish blood cells is important for aquaculture as a tool to monitor
2008 physiological and pathological changes in fishes. However, Vázquez and Guerrero (2007)
2009 cite that blood sampling, laboratory techniques, seasonal variations, size, genetic
2010 properties, sex, population density, lack of food supply, environmental stress and
2011 transportation can affect hematological data. Such factors make it difficult to define
2012 normal values independent of variations in the environment (Lie et al., 1990). Care must
2013 be taken when establishing reference intervals and making comparisons, which is difficult
2014 also due to the numerous problems derived from the nomenclature referred to higher
2015 vertebrates and applied to fish (Esteban et al., 2000). The ranges of normal values of the
2016 key biochemical parameters are still undefined for different species in different
2017 aquaculture conditions (Satheeshkumar et al., 2011). Moreover, Satheeshkumar et al.
2018 (2012) stated that there are no “normal” values because of the responsiveness of the blood
2019 vascular system to external stimuli.

2020 Hematological examinations must establish the baseline data for the fish in a
2021 specific situation and monitor the population for changes in the hemogram. Those authors
2022 also suggest the introduction of regular checks of the blood profiles of fish, as this
2023 procedures do not need to kill the fish and can be applied repeatedly to the same
2024 individuals. Fazio et al. (2013) reported no differences between haematological
2025 parameters evaluated with manual and authomatic methods. For these reasons, more
2026 studies on the hematological parameters of *P. orbignyanus* will be carried out in order to
2027 establish reference values and contribute to the evaluation of resistance against infectious
2028 diseases and to the increase of survival rates and reduction of cultivation costs.

2029 In this study, morphological features were analyzed. However, a combination of
2030 quantitative and morphological methods is needed to provide more accurate data on the
2031 characterization of fish blood cells of *P. orbignyanus*. The results of this study contribute
2032 to the knowledge of the characteristics of blood cells of *P. orbignyanus* under normal
2033 conditions and may be helpful as a tool to monitor the health status of this and other
2034 flatfish species and to grant early detection of clinical pathology. Therefore, establishing
2035 a baseline of information, as this work contributes to, on fish blood profile as a monitoring
2036 tool for aquaculture systems may improve the welfare and the pathologic diagnosis (Fazio
2037 et al. 2013).

2038

2039 **Acknowledgments**

- 2040
- 2041 L. Romano and L.A. Sampaio received productivity and research fellowships
- 2042 from the Brazilian Council of Research, CNPq (Process number PQ 301002/2012-6 and
- 2043 308014/2009-3).
- 2044
- 2045 **Literature Cited**
- 2046
- 2047 Bianchini A, Robaldo RB, Sampaio LA. 2010. Cultivo do linguado *Paralichthys orbignyanus*. In: Baldisserotto B, Gomes LC, editors. Espécies nativas para piscicultura no Brasil. 2nd ed. UFSM: Santa Maria, RS.
- 2048
- 2049
- 2050 Cerqueira VR. 2005. Egg development of *Paralichthys orbignyanus* (Valenciennes, 1839). *Braz Arch Biol Technol* 48(3):459-465.
- 2051
- 2052 Conroy DA. 1998. Manual de métodos y técnicas de laboratorio de uso común en la hematología piscaria. Pharmafish: Maracay, Venezuela. p 1-22.
- 2053
- 2054 Esteban MA, Muñoz J, Meseguer J. 2000. Blood cells of sea bass (*Dicentrarchus labrax* L.). Flow cytometric and microscopic studies. *Anat Rec* 258:80-89.
- 2055
- 2056 Fänge R. 1994. Blood cells, haemopoiesis and lymphomyeloid tissues in fish. *Fish Shellfish Immunol* 4:405-411.
- 2057
- 2058 Fazio F, Marafioti S, Filiciotto F, Buscaino G, Panzera M, Faggio C. 2013. Blood hemogram profiles of farmed onshore and offshore gilthead sea bream (*Sparus aurata*) from Sicily, Italy. *Turkish J Fisheries Aquat Sci* 13:415-422.
- 2059
- 2060
- 2061 Figueiredo JL, Menezes NA. 2000. Manual de peixes marinhos do Sudeste do Brasil. Volume VI. São Paulo: Museu de Zoologia, USP.
- 2062
- 2063 Filiciotto F, Fazio F, Marafioti S, Buscaino G, Maccarrone V, Faggio C. 2012. Assessment of haematological parameters range values using na automatic method in European sea bass (*Dicentrarchus labrax* L.). *Natura Rerum* 1:29-36.
- 2064
- 2065
- 2066 Genten F, Terwinghe E, Danguy A. 2009. Atlas of fish histology. USA: Science Publishers.
- 2067
- 2068 Hartman FA, Lessler MA. 1964. Erythrocyte measurements in fishes, amphibia and reptiles. *Biol Bull* 126(1):83-88.
- 2069
- 2070 Kavamoto ET, Ranzani-Paiva MJT, Tokumaru M. 1983. Estudos hematológicos em “bagre” *Rhamdia hilarii* (Val, 1840), teleósteo no estádio de desenvolvimento gonadal maduro. *B Inst Pesca*, 10 (único):53-60.
- 2071
- 2072

- 2073 Lie Ø, Lied E, Lambertsen G. 1990. Haematological values in cod (*Gadus morhua*). Fis
2074 K Dir Skr, Ser Eng. Vol III(1):11-17.
- 2075 Nikolov B, Boyadzieva-Doichinova D. 2010. Parameters of the red blood cell count in
2076 three species of carp fishes. Bulgarian J Agric Sci 16(3):307-310.
- 2077 Ranzani-Paiva MJT, Rodrigues EL, Veiga ML, Eiras AC, Campos BES. 2003.
2078 Differential leucocytes counts in “dourado” *Salminus maxillosus* Valenciennes
2079 1840, from the Mogi-Guaçu River, Pirassununga, SP. Braz J Biol 63(3):517-525.
- 2080 Rodero A, Martínez AM, Marquin JL. 2003. Evaluación del autoanalizador hematológico
2081 SYSMEX SF 3000 en mamíferos, aves, anfibios y peces. Rev Argentina Bioq
2082 69:231-237.
- 2083 Santos AA, Egami MI, Ranzani-Paiva MJT, Juliano Y. 2009. Hematological parameters
2084 and phagocytic activity in fat snook (*Centropomus parallelus*): Seasonal variation,
2085 sex and gonadal maturation. Aquac 296:359-366.
- 2086 Satheeshkumar P, Ananthan G, Kumar DS, Jagadeesan L. 2011. Haematology and
2087 biochemical parameters of different feeding behaviour of teleost fishes from Vellar
2088 estuary, India. Comp Clin Pathol 21(6):1187-1191.
- 2089 Satheeshkumar P, Ananthan G, Senthilkumar D, Khan AB, Jeevanantham R. 2012.
2090 Comparative investigation on haematological and biochemical studies on wild
2091 marine teleost fishes from Vellar estuary, southeast coast of India. Comp Clin
2092 Pathol 21(3):275-281.
- 2093 Seriani R, Moreira LB, Abessa DMS, Abiyamara LD, Carvalho NSB, Maranho LA,
2094 Kirschbaum AA, Ranzani-Paiva MJT. 2010. Hematological analysis of
2095 *Micropogonias furnieri*, Desmarest, 1823, Scianidae, from two estuaries of Baixada
2096 Santista, São Paulo, Brazil. Braz J Oceanography, 58 (special issue IV SOB):87-92.
- 2097 Tavares-Dias M, Moraes FR, Imoto ME. 2008. Hematological parameters in two
2098 neotropical freshwater teleost, *Leporinus macrocephalus* (Anostomidae) and
2099 *Prochilodus lineatus* (Prochilodontidae). Biosci J 24(3):96-101.
- 2100 Ueda IK, Egami MI, Sasso WS, Matsushima ER. 1997. Estudos hematológicos em
2101 *Oreochromis niloticus* (Linnaeus, 1758) (Cichlidae, Teleostei) - Parte I. Braz J Vet
2102 Res Anim Sci 34(5):270-275.
- 2103 Ueda IK, Egami MI, Sasso WS, Matsushima ER. 2001. Aspectos citoquímicos das células
2104 do sangue periférico de *Oreochromis (Tilapia) niloticus* (Linnaeus, 1758)
2105 (Cichlidae, Teleostei) – Parte II. Braz J Vet Res Anim Sci 38(6):273-277.

2106 Valdebenito I, Busse K, Jaramillo N, Hernández A. 2011. Blood cytology of the common
2107 jollytail (*Galaxias maculatus*) (Jenyns, 1842) (Osmeriformes: Glaciidae) at
2108 postlarval and adult stages. Arch Med Vet 43:233-239.
2109 Vázquez GR, Guerrero GA. 2007. Characterization of blood cells and hematological
2110 parameters in *Cichlasoma dimerus* (Teleostei: Perciformes). Tissue Cell 39:151-
2111 160.
2112 Watson LJ, Shechmeister IL, Jackson LL. 1963. The hematology of Goldfish, *Carassius*
2113 *auratus*. Cytol 28:118.

2114

2115

2116

2117 Table 1. Cell size of the different cells found in the peripheral blood of adult *Paralichthys*
2118 *orbignyanus*.

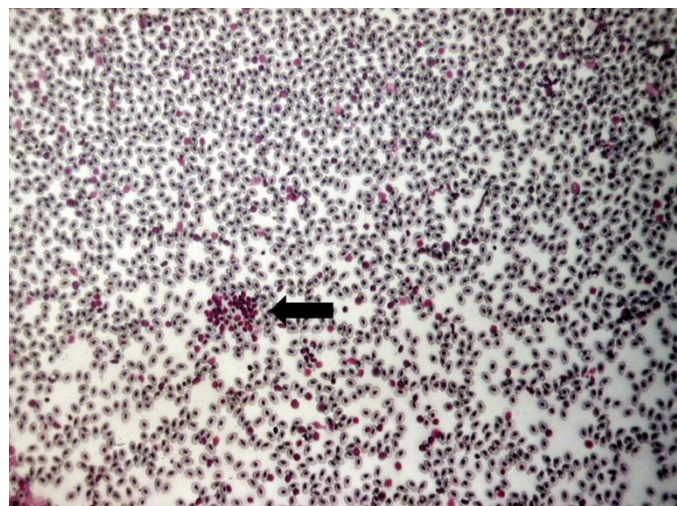
	Cell type	Diameter (μm) (mean ± S.D.)
Erythrocytic series	Polychromatophilic erythroblast	13.18 ± 1.23
	Erythrocyte	14.20 ± 1.77
Granulocytic series	Granuloblast	23.47 ± 1.84
	Progranulocyte	11.71 ± 1.90
	Metagranulocyte	14.28 ± 2.13
	Polymorphonuclear granulocyte	11.23 ± 3.61
Monocytic series	Monoblast	14.81 ± 1.63
	Promonocyte	22.95 ± 1.29
Lymphocytic series	Lymphoblast	15.02 ± 1.72
	Lymphocyte	10.50 ± 2.69
Thrombocytic series	Thrombocyte	4.84 ± 0.97

2119

2120

2121

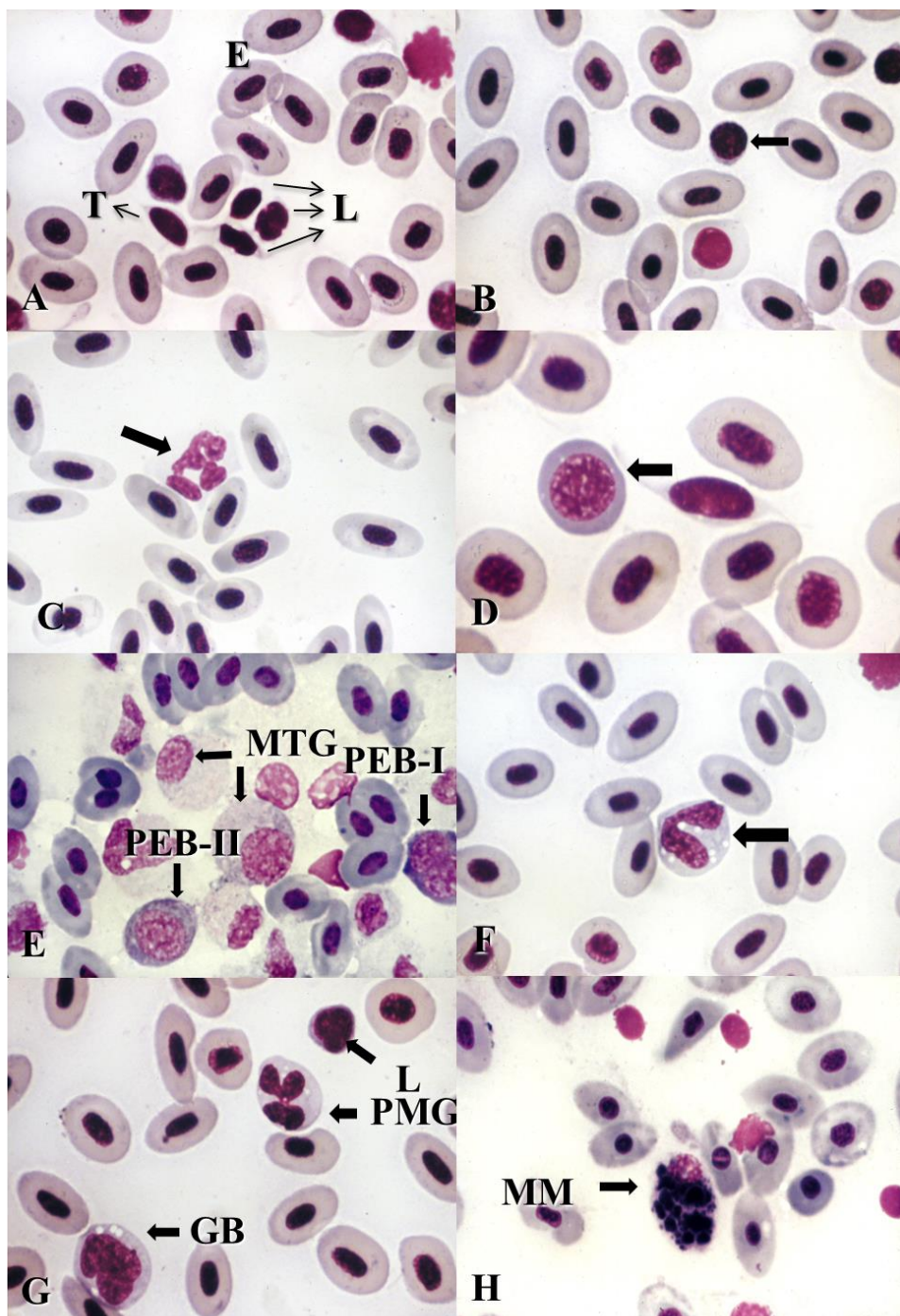
2122



2123 Figure 1. Peripheral blood cells in adults of Brazilian flounder, *Paralichthys orbignyanus*
2124 stained with May-Grünwald-Giemsa. All the cells are nucleated and the arrow shows
2125 white blood cells, or leucocytes. 400x.

2126

2127



2128

2129 Figure 2. Micrographs of the cells in the peripheral blood of *Paralichthys orbignyanus*
 2130 stained with the May-Grünwald-Giemsa technique. 400x. A. Erythrocytes (E),
 2131 lymphocytes (L) and thrombocyte (T). B. Lymphocyte. C. Granulocyte. D.
 2132 Proerythroblast II. E. Metagranulocyte (MTG), proerythroblast I (PEB-I) and II (PEB-II).
 2133 F. Programulocyte. G. Lymphocyte (L), polymorphonuclear granulocyte (PMG) and
 2134 granuloblast (GB). H. Melanomacrophage (MM).

2135

2136 **DISCUSSÃO GERAL**

2137

2138 A aquicultura é o setor de produção de alimentos de mais rápido crescimento no
2139 mundo (FAO 2012) e provê um suplemento significativo e substituto para peixes
2140 selvagens. Entretanto, as doenças tornaram-se uma preocupação primária na aquicultura
2141 e são responsáveis por severos impactos tanto no desenvolvimento econômico quanto
2142 social em muitos países (Roberts 2012). Muitos fatores contribuiram para os problemas
2143 de sanidade atualmente enfrentados pela aquicultura. Além da emergência de novas
2144 doenças, e do seu potencial estabelecimento em novas áreas e populações selvagens, o
2145 uso irresponsável de desinfetantes químicos e antibióticos também é cada vez mais
2146 reconhecido como tendo potenciais impactos ambientais. Entretanto, a redução do uso de
2147 antibióticos é possível através da produção e uso de vacinas para o controle de doenças
2148 virais e bacterianas (Stoskopf 1993).

2149 As vacinas são ferramenta de grande interesse para o controle de doenças de
2150 etiologia infecciosa e sobretudo das que são endêmicas e pandêmicas (OIE 2009; OIE
2151 2012). Para que haja sucesso na vacinação, é importante estimar a idade correta em que
2152 se deve vacinar. Se os peixes são vacinados o quanto antes possível no cultivo, a
2153 necessidade para drogas antibióticas é reduzida e a sobrevivência aumenta (Covello et al.
2154 2013). Entretanto, se o sistema imune é estimulado quando os peixes são muito jovens,
2155 antes que esteja desenvolvido, a tolerância pode ocorrer, com diminuição da resposta
2156 secundária subsequente, e a vacina perde sua eficácia. Assim, a vacinação precoce não é
2157 aconselhável (Padrós & Crespo 1996; Øvergård et al. 2011). Antes que a imunidade
2158 adquirida esteja estabelecida, a possibilidade de melhorar os mecanismos de defesa no
2159 linguado *P. orbignyanus* através de imunoestimulantes deve ser investigada. A
2160 investigação da evolução do sistema imune, o desenvolvimento de vacinas, e a seleção de
2161 linhagens resistentes a doenças ainda são limitados pela falta de conhecimento suficiente
2162 sobre a imunidade de peixes (Zhu et al. 2013).

2163 As larvas de *P. orbignyanus* ecodem com um comprimento total de 2 mm, olhos
2164 não pigmentados e trato digestório fechado, além de um saco vitelínico e uma gota de
2165 óleo, e sua sobrevivência depende apenas das reservas endógenas. Aos 3 dias após a
2166 eclosão (dae) (23°C), as larvas começam a se alimentar exogenamente. Contudo, este é
2167 um período crítico no desenvolvimento das larvas, pois há uma redução na taxa de
2168 crescimento, o que sugere que as larvas possam não assimilar eficientemente o alimento
2169 ingerido e/ou a presa não possua um perfil nutricional adequado, tornando este um dos

2170 períodos críticos do desenvolvimento de *P. orbignyanus*, podendo ocorrer altas taxas de
2171 mortalidade (Bianchini et al. 2010).

2172 Outro período crítico para as larvas de *P. orbignyanus* é a metamorfose, que ocorre
2173 entre 15 e 30 dae, e é o momento em que elas mudam seu hábito pelágico para uma vida
2174 bentônica, com a evidente migração do olho direito para o lado esquerdo do corpo e
2175 subsequente assentamento. Após a metamorfose, os juvenis do linguado são levados à
2176 transição alimentar do alimento vivo para a dieta seca, ainda que o momento adequado
2177 para esta transição ainda não tenha sido demonstrado (Bianchini et al. 2010). Portanto,
2178 estes dois momentos ainda são bastante delicados no cultivo, o que é confirmado pela
2179 taxa de sobrevivência de larvas de *P. orbignyanus* com um mês após a eclosão de 10 a
2180 15% quando provenientes de desovas induzidas (Sampaio et al. 2008). Para esta espécie,
2181 a exposição a antígenos do ambiente ocorre muito cedo no desenvolvimento para o
2182 sistema imune adaptativo estar funcional, assim as larvas precisam apoiar-se apenas na
2183 resposta não específica e na transferência materna de anticorpos (Patel et al. 2009).

2184 O desenvolvimento de órgãos imunes em peixes marinhos depende de inúmeros
2185 fatores, incluindo a temperatura da água, tamanho dos ovos e duração do período
2186 vitelínico (Corripi-Miyar et al. 2007). O estágio embrionário do linguado é curto quando
2187 comparado com outras espécies, de modo que os sistemas ainda não estão completamente
2188 desenvolvidos no momento da eclosão. A maioria dos órgãos, incluindo os relacionados
2189 ao sistema imune, começa a se desenvolver durante o período entre a primeira
2190 alimentação e o fim da metamorfose (4-20 dae).

2191 Os órgãos linfóides do linguado apareceram na seguinte sequência: rim (1 dae),
2192 timo (5 dae) e baço (10 dae), semelhante à maioria das espécies de teleósteos marinhos
2193 registrados na literatura (Chantanachookhin et al. 1991; Josefsson & Tatner 1993; Padrós
2194 & Crespo 1996; Watts et al. 2003). A maturação do timo e do rim pode estar associada
2195 com o tempo da primeira alimentação, o que também pode ser a primeira exposição a
2196 potenciais patógenos (Chantanachookhin et al. 1991). Em termos de desenvolvimento
2197 linfóide, o timo tornou-se linfóide antes do rim, ainda que mais pesquisas estejam sendo
2198 desenvolvidas com imunohistoquímica e expressão gênica para efetivamente determinar
2199 quando os linfócitos tímicos tornam-se imunocompetentes. A imunidade específica
2200 humoral é marcada pela presença de células T e B maduras e células apresentadoras de
2201 antígenos. O estudo histológico é uma análise indireta pois o aparecimento não
2202 necessariamente é correlacionado com a maturidade (Zapata et al. 1997).

2203 O rim anterior é um importante órgão linfóide e hemopoietico em peixes e
2204 possivelmente possui uma função fagocítica antes que a imunocompetência seja adquirida
2205 (Chantanachookhin et al. 1991). Os centros melanomacrocáficos e os linfócitos em
2206 associação com os vasos sanguíneos foram observados em todos os juvenis examinados,
2207 sugerindo um sistema imune completamente operacional aos 50 dae (Press & Evensen
2208 1999). É provável que o timo seja o órgão linfóide primário para células T e o rim anterior
2209 seja o órgão linfóide primário para células B, como sugerido para a maioria das outras
2210 espécies (Grontvedt & Espelid 2003).

2211 Neste estudo, os marcadores imunes RAG1, CD3, CD4-2 e IL-1b nos estágios
2212 iniciais do desenvolvimento de *P. orbignyanus* foram analisados. Os dados obtidos neste
2213 estudo são semelhantes aos padrões de expressão observados em vertebrados superiores
2214 e em outras espécies de peixes (Huttenhuis et al. 2005; Corripi-Miyar et al. 2007;
2215 Øvergård et al. 2011; Covello et al. 2013). Através das sequências obtidas com as PCRs
2216 realizadas a partir do DNA genômico, os quatro genes puderam ser identificados, com
2217 uma identidade variando de 71 a 100% quando comparados com as mesmas regiões dos
2218 genes do linguado *P. olivaceus*.

2219 A expressão de RAG1 significativamente aumentada aos 10 dae está relacionada
2220 com a detecção histológica do timo primordial aos 5 dae, mostrando que a partir deste
2221 momento, a recombinação V(D)J já começou. Este resultado também pode ser
2222 correlacionado com o aumento posterior da expressão dos transcritos de CD3 e CD4-2
2223 aos 30 dae, sugerindo que há linfócitos T maduros neste estágio do desenvolvimento.
2224 Mao et al. (2011) sugerem que mortalidades massivas possam estar relacionadas a
2225 disordens no processo da recombinação V(D)J, pois a deficiência em RAG1 e RAG2 leva
2226 ao completo bloqueio do desenvolvimento das células B e T. Os níveis de IgM não foram
2227 analizados neste estudo, todavia pode-se sugerir que a diminuição dos níveis aos 45 dae
2228 pode estar relacionada também com um aumento nos níveis de IgM e maturidade das
2229 células B nos juvenis de *P. orbignyanus*.

2230 Os padrões de expressão do CD3 e CD4-2 foram semelhantes neste estudo, embora
2231 os níveis de CD3 tenham sido maiores que os de CD4-2, o que foi esperado, pois todos
2232 os linfócitos T carregam o correceptor CD3 na membrana, enquanto que somente as
2233 células T auxiliares possuem os correceptores CD4/CD4-2 nas suas superfícies. O
2234 alimento vivo com baixos níveis de DHA/EPA, baixa digestibilidade da *Artemia* sp. e
2235 mudanças na sua composição lipídica poderiam influenciar os níveis de mRNA dos
2236 marcadores imunes, junto com outros fatores atuando durante a metamorfose dos

2237 linguados. Neste estudo, RAG1 e IL-1b declinaram aos 45 e 60 dae, respectivamente.
2238 Este declínio poderia estar relacionado com as condições nutricionais dos juvenis de *P.*
2239 *orbignyanus* após um período longo de alimentação com alimento vivo e transição
2240 alimentar.

2241 O sangue de peixes é um espelho que reflete todos os processos vitais nos
2242 organismos. O sangue dos adultos de linguado basicamente segue o padrão hematológico
2243 de outros vertebrados. Os componentes celulares principais observados no sangue
2244 periférico de *P. orbignyanus* foram os eritrócitos, leucócitos (linfócitos, monócitos e
2245 granulócitos) e trombócitos. Ocasionalmente, estágios imaturos também puderam ser
2246 observados, não necessariamente indicando uma disfunção sanguínea.

2247 A função das células vermelhas é transportar gases respiratórios, e a sua
2248 concentração é relacionada ao habitat e o tipo de locomoção das diferentes espécies de
2249 peixes (Fänge 1994; Vázquez & Guerrero 2007). O eritrócito é o mais importante
2250 carregador de oxigênio e dióxido de carbono. O tamanho e forma do eritrócito indicam a
2251 superfície disponível para a troca destes gases nas funções respiratórias (Hartmann and
2252 Lessler 1964). Uma célula pequena possui uma maior superfície de troca que uma célula
2253 grande. A relação superfície/volume influencia todos os processos envolvendo a
2254 membrana plasmática (Tavares-Dias et al. 2008). Assim, pode-se sugerir que os adultos
2255 de *P. orbignyanus* possuem um comportamento menos ativo em comparação com outros
2256 peixes teleósteos, pois possuem eritrócitos maiores, presumivelmente menos eficientes
2257 para o transporte de oxigênio. Entretanto, a baixa capacidade de carreamento de oxigênio
2258 também pode refletir uma maior adaptação para sobreviver em ambientes com baixos
2259 níveis de oxigênio e de fundo.

2260 O número de eritrócitos em *P. orbignyanus* é mais alto que em outras espécies de
2261 teleósteos ($5.14 \times 10^6/\text{mm}^3$). Isto acontece provavelmente para melhorar a sua
2262 performance pelo aumento do número de eritrócitos e possivelmente a concentração de
2263 hemoglobina no sangue periférico (Tavares-Dias et al. 2008). Alto número de eritrócitos
2264 tem sido associado com movimento rápido, natureza predadora e alta atividade em
2265 ambientes como sistemas estuarinos intensivos (Satheeshkumar et al. 2011).

2266 Sabe-se que o estudo dos parâmetros hematológicos e características morfológicas
2267 das células sanguíneas de peixes é importante para a aquicultura como uma ferramenta
2268 para monitorar mudanças fisiológicas e patológicas nos peixes. Entretanto, Vázquez &
2269 Guerrero (2007) citam que a coleta do sangue, técnicas de laboratório, variações sazonais,
2270 tamanho, propriedades genéticas, sexo, densidade populacional, falta de alimento,

estresse ambiental e transporte podem afetar os dados hematológicos. Cuidado deve ser tomado quando se estabelecem intervalos de referência e são feitas comparações (Esteban et al. 2000). Satheeshkumar et al. (2011) sugerem a introdução de checagens regulares dos perfis sanguíneos dos peixes, pois estes procedimentos não necessitam matar o peixe e podem ser aplicados repetidamente para os mesmos inividuos. Mais estudos sobre os parâmetros hematológicos de *P. orbignyanus* serão realizados para obter resultados mais completos e possivelmente estabelecer valores de referência para os perfis sanguíneos do linguado. Com esta informação básica sobre o sangue do linguado, valiosa para a determinação dos parâmetros sanguíneos e também uma importante ferramenta hematológica para o diagnóstico de patologias clínicas.

Os dados obtidos neste trabalho oferecem um conhecimento essencial sobre a biologia do linguado *P. orbignyanus*, e podem ser aplicados na aquicultura de modo a obter uma melhora na reprodução, larvicultura e cultivo desta espécie. Genes relacionados ao sistema imune de *P. orbignyanus* foram isolados, identificados e sequenciados, tornando-se informação essencial para análises de expressão gênica. Estes dados possibilitam não somente um maior conhecimento biológico sobre esta espécie e seu desenvolvimento, como também possibilita comparações filogenéticas com outras espécies de linguados e de peixes, possibilitando um melhor entendimento do funcionamento do sistema imune em peixes e também em vertebrados em geral. Além disso, o perfil normal das células sanguíneas, além da histologia normal dos órgãos linfóides, oferece uma ferramenta para avaliação da condição dos reprodutores, pois condições patológicas geralmente refletem-se na composição celular do sangue.

Sabe-se que moléculas com funções imunológicas podem ser transferidas maternalmente através do vitelo presente nos oócitos e posteriormente nas larvas recém-eclodidas. A transferência materna destes componentes é extremamente importante para a sobrevivência das larvas, especialmente em espécies cujas larvas eclodem com sistemas rudimentares e passam por um período exclusivamente vitelínico antes de alimentarem-se exogenamente, como o linguado *P. orbignyanus*. Após selecionados reprodutores saudáveis, com perfis normais de células sanguíneas, os oócitos podem ser analisados quantitativamente para a verificação da expressão gênica destas moléculas relacionadas ao sistema imune. Os genes sequenciados neste estudo servirão como ferramenta essencial para estas análises, possibilitando a seleção de oócitos para fertilização *in vitro* que contenham uma maior expressão, por exemplo de IL-1 β , molécula extremamente importante do sistema inato.

2305 Após a fertilização *in vitro* utilizando os oócitos selecionados, poderão ser
2306 realizadas análises histológicas dos órgãos linfóides e de expressão de genes imunes
2307 durante a larvicultura, o que possibilita identificar se o sistema imune de larvas e juvenis
2308 está se desenvolvendo normalmente, verificar em que momento podem apresentar
2309 memória imunológica, analisar se o uso de imunoestimulantes e vacinação durante os
2310 estágios iniciais do desenvolvimento é eficiente ou não, além de possibilitar a seleção de
2311 indivíduos com uma melhor condição imune para cultivo, engorda e utilização em novos
2312 experimentos. Este conhecimento é extremamente útil para reduzir as taxas de
2313 mortalidade durante os estágios iniciais do desenvolvimento do linguado e melhorar as
2314 taxas de sobrevivência e crescimento durante o cultivo e engorda, além de proporcionar
2315 a seleção de reprodutores saudáveis para novas fertilizações. Assim, novos estudos neste
2316 sentido são encorajados para que o cultivo do linguado seja possível na região sul do
2317 Brasil, já que esta espécie possui uma grande importância econômica e elevado valor
2318 comercial.

2319

2320

2321 **CONCLUSÃO GERAL**

2322
2323 - Os órgãos linfóides de *Paralichthys orbignyanus* apareceram na seguinte
2324 sequência: rim (1 dae), timo (5 dae) e baço (10 dae), com células maduras e tecido
2325 linfohematopoiético observados após 25 dae;

2326 - As proteínas RAG1 aumentaram aos 10 dae, seguindo a detecção do timo aos 5
2327 dae, e precedendo o aumento nos níveis de mRNA de CD3 e CD4-2 aos 40 dae, sugerindo
2328 que a recombinação V(D)J está acontecendo e os linfócitos T, especialmente as células T
2329 auxiliares, estão aptas a reconhecer os抗ígenos e alavancar a resposta imune inata e
2330 adaptativa.

2331 - Os níveis da citocina IL-1 β aumentaram significativamente aos 30 dae, indicando
2332 que os juvenis com essa idade possuem a capacidade de responder às infecções com um
2333 estado pró-inflamatório.

2334 - Os tipos celulares detectados no sangue de adultos do linguado foram eritrócitos,
2335 linfócitos, granulócitos e trombócitos, bem como estágios imaturos destas linhagens
2336 celulares

2337 - A análise morfológica das células sanguíneas do linguado, especialmente dos
2338 eritrócitos, indica que esta espécie possui um hábito menos ativo que outras espécies, e
2339 está adaptada a ambientes estuarinos e bentônicos.

2340

2341

- 2342 **REFERÊNCIAS BIBLIOGRÁFICAS**
- 2343
- 2344 BIANCHINI, A, RB ROBALDO & LA SAMPAIO. 2010. Cultivo do linguado
2345 (*Paralichthys orbignyanus*). In: B BALDISSEROTTO & LC GOMES (eds.).
2346 Espécies nativas para piscicultura no Brasil. 2 ed. UFSM, Santa Maria.
- 2347 CHANTANACHOOKHIN, C, T SEIKAI & M TANAKA. 1991. Comparative study of
2348 the ontogeny of the lymphoid organs in three species of marine fish. Aquac., 99:
2349 143-155.
- 2350 CORRIPIO-MIYAR, Y, S BIRD, JW TREASURER & CJ SECOMBES. 2007. RAG-1
2351 and IgM genes, markers for early development of the immune system in the gadoid
2352 haddock, *Melanogrammus aeglefinus*, L. Fish Shellfish Immunol., 23: 71-85.
- 2353 COVELLO, JM, S BIRD, RN MORRISON, AR BRIDLE, SC BATTAGLENE, CJ
2354 SECOMBES & BF NOWAK. 2013. Isolation of RAG-1 and IgM transcripts from
2355 the striped trumper (*Latris lineata*), and their expression as markers for
2356 developmental of the adaptive immune response. Fish Shellfish Immunol., 34: 778-
2357 788.
- 2358 ESTEBAN, MA, J MUÑOZ & J MESEGUER. 2000. Blood cells of sea bass
2359 (*Dicentrarchus labrax* L.). Flow cytometric and microscopic studies. Anat. Rec.,
2360 258: 80-89.
- 2361 FÄNGE, R. 1994. Blood cells, haemopoiesis and lymphomyeloid tissues in fish. Fish
2362 Shellfish Immunol., 4: 405-411.
- 2363 GRØNTVEDT, RN & S ESPELID. 2003. Immunoglobulin producing cells in the spotted
2364 wolffish (*Anarhichas minor* Olafsen): localization in adults. Dev. Comp. Immunol.,
2365 27: 569-578.
- 2366 HARTMAN, FA & MA LESSLER. 1964. Erythrocyte measurements in fishes, amphibia
2367 and reptiles. Biol. Bull., 126(1): 83-88.
- 2368 HUTTENHUIS, HBT, MO HUISING, T VAN DER MEULEN, CN VAN
2369 OOSTERHOUD, NA SÁNCHEZ, AJ TAVERNE-THIELE, HWJ STROBAND &
2370 JHWM ROMBOUT. 2005. Rag expression identifies B and T cell lymphopoitetic
2371 tissues during the development of common carp (*Cyprinus carpio*). Dev. Comp.
2372 Immunol., 29: 1033-1047.
- 2373 JOSEFSSON, S & MF TATNER. 1993. Histogenesis of the lymphoid organs in sea
2374 bream (*Sparus aurata* L.). Fish Shellfish Immunol., 3: 35-49.

- 2375 PADRÓS, F & S CRESPO. 1996. Ontogeny of lymphoid organs in the turbot
2376 *Scophthalmus maximus*: a light and electron microscope study. Aquac., 144: 1-16.
- 2377 ØVERGÅRD, A-C, IU FIKSDAL, AH NERLAND & S PATEL. 2011. Expression of T-
2378 cell markers during Atlantic halibut (*Hippoglossus hippoglossus* L.) ontogenesis.
2379 Dev. Comp. Immunol., 35: 203-213.
- 2380 PATEL, S, A-C ØVERGÅRD & AH NERLAND. 2009. A CD4 homologue in Atlantic
2381 halibut (*Hippoglossus hippoglossus*): molecular cloning and characterization. Fish
2382 Shellfish Immunol., 26: 377-384.
- 2383 PRESS, C & O EVENSEN. 1999. The morphology of the immune system in teleost fishes.
2384 Fish Shellfish Immunol., 9: 309-318.
- 2385 ROBERTS, RJ. 2012. Fish Pathology. 4th ed. Wiley
- 2386 ROMBOUT, JHWM, HBT HUTTENHUIS, S PICCHIETTI & G SCAPIGLIATI. 2005.
2387 Phylogeny and ontogeny of fish leucocytes. Fish Shellfish Immunol. 19: 441-455.
- 2388 SAMPAIO, LA, RB ROBALDO & A BIANCHINI. 2008. Hormone-induced ovulation,
2389 natural spawning and larviculture of Brazilian flounder *Paralichthys orbignyanus*
2390 (Valenciennes, 1839). Aquac. Res., 39: 712-717.
- 2391 SATHEESHKUMAR, P, G ANANTHAN, DS KUMAR & L JAGADEESAN. 2011.
2392 Haematology and biochemical parameters of different feeding behaviour of teleost
2393 fishes from Vellar estuary, India. Comp. Clin. Pathol., 21(6): 1187-1191.
- 2394 STOSKOPF, MK. 1993 Fish Medicine, Saunders Press: London, pp. 490- 491.
- 2395 TAVARES-DIAS, M, FR MORAES & ME IMOTO. 2008. Hematological parameters in
2396 two neotropical freshwater teleost, *Leporinus macrocephalus* (Anostomidae) and
2397 *Prochilodus lineatus* (Prochilodontidae). Biosci. J., 24(3): 96-101.
- 2398 VÁZQUEZ, GR & GA GUERRERO. 2007. Characterization of blood cells and
2399 hematological parameters in *Cichlasoma dimerus* (Teleostei: Perciformes). Tissue
2400 Cell, 39:151-160.
- 2401 WATTS, M, K KATO, BL MUNDAY & CM BURKE. 2003. Ontogeny of immune
2402 system organs in northern bluefin tuna (*Thunnus orientalis*, Temminck nd Schlegel
2403 1844). Aquac. Res., 34: 13-21.
- 2404 WORLD ORGANISATION FOR ANIMAL HEALTH (OIE). 2009. OIE Guide for
2405 Aquatic Animal Health Surveillance. OIE, Paris, France.
- 2406 WORLD ORGANISATION FOR ANIMAL HEALTH (OIE). 2012. Chapter 1.4.
2407 Aquatic animal health surveillance. In: Aquatic Animal Health Code, 15th edition.
2408 OIE, Paris, France.

- 2409 ZAPATA, A, B DIEZ, T CEJALVO, C GUTIÉRREZ-DE FRÍAS & A CORTÉS. 2006.
- 2410 Ontogeny of the immune system of fish. *Fish Shellfish Immunol.*, 20: 126-136.
- 2411 ZHU, L, L NIE, G ZHU, L XIANG & J-Z SHAO. 2013. Advances in research of fish
- 2412 immune-relevant genes: A comparative overview of innate and adaptive immunity
- 2413 in teleosts. *Dev. Comp. Immunol.*, 39: 39-62.